

**STUDI KARAKTERISASI BATUAN DI SEKITAR SUMBER
AIR PANAS DESA GALUNG KABUPATEN BARRU DENGAN
MENGUNAKAN METODE X-RAY DIFFRACTION (XRD)**



SKRIPSI

Diajukan Sebagai Salah Satu Syarat Untuk Meraih Gelar Sarjana
Jurusan Fisika pada Fakultas Sains dan Teknologi
UIN Alauddin Makassar

Oleh :

UNIVERSITAS ISLAM NEGERI
NURANSIL
NIM. 60400114001
ALAUDDIN
M A K A S S A R

**FAKULTAS SAINS DAN TEKNOLOGI
UIN ALAUDDIN MAKASSAR
2018**

SURAT PERNYATAAN KEASLIAN SKRIPSI

Mahasiswa yang bertanda tangan di bawah ini:

Nama : Nuransil
NIM : 60400114001
Tempat/Tgl.Lahir : Tanuntung, 01 Juli 1996
Jur/Prodi/Konsentrasi : Fisika
Fakultas/Program : Sains dan Teknologi
Alamat : Jln. Mustafa Dg Bunga 2
Judul : Studi Karakterisasi Batuan di Sekitar Sumber Air Panas
Desa Galung Kabupaten Barru Menggunakan Metode X-
Ray Diffraction (XRD).

Menyatakan dengan sesungguhnya dan penuh kesadaran bahwa skripsi ini benar adalah karya sendiri. Jika kemudian hari terbukti bahwa skripsi ini merupakan duplikat, tiruan, atau dibuat oleh orang lain, sebagian atau seluruhnya, maka skripsi dan gelar yang diperoleh karenanya batal demi hukum.

Makassar, 27 Agustus 2018

Penyusun,

NURANSIL
NIM: 60400114001

PENGESAHAN SKRIPSI

Skripsi yang berjudul “Studi Karakterisasi Batuan di Sekitar Sumber Air Panas Desa Galung Kabupaten Barru Menggunakan X-Ray Diffraction (XRD)”, yang disusun oleh saudari **Nuransil**, NIM: 60400114001 mahasiswa Jurusan Fisika pada Fakultas Sains dan Teknologi UIN Alauddin Makassar, telah diuji dan dipertahankan dalam munaqasyah yang diselenggarakan pada hari **Senin, 20 Agustus 2018 M**, bertepatan dengan 7 Dzulhijjah 1439 H, dinyatakan telah dapat diterima sebagai salah satu syarat untuk memperoleh gelar Sarjana dalam Ilmu Sains dan Teknologi, Jurusan Fisika (dengan beberapa perbaikan).

Makassar, 20 Agustus 2018 M
7 Dzulhijjah 1439 H

DEWAN PENGUJI

| | | |
|---------------|-------------------------------|---------|
| Ketua | : Dr. Hj. Wasilah, S.T., M.T. | (.....) |
| Sekretaris | : Iswadi, S.Pd., M.Si. | (.....) |
| Munaqisy I | : Hernawati, S.Pd., M.Pfis. | (.....) |
| Munaqisy II | : Prof. Dr.H. Arifuddin, M.Ag | (.....) |
| Pembimbing I | : Muh. Said. L., S.Si., M.Pd. | (.....) |
| Pembimbing II | : Sahara, S.Si., M.Sc., Ph.D. | (.....) |

Diketahui oleh:

Dekan Fakultas Sains dan Teknologi
UIN Alauddin Makassar

Prof. Dr. H. Arifuddin, M.Ag.
NIP: 19691205 199303 1001

KATA PENGANTAR



Puji dan syukur penulis panjatkan kehadirat Allah swt. atas cinta kasihnya yang selalu tercurah pada kita semua, atas rahmatNya sehingga kita masih bisa menapaki setiap episode hidup yang telah ditetapkanNya. Shalawat dan salam senantiasa kita panjatkan kepada kekasih Allah swt. baginda Muhammad saw. Manusia paling sempurna yang telah menanamkan cinta di hati kita semua, manusia yang membuat kita menangis ketika membaca kisahnya. Manusia yang datang kepadaku dan kepada kita semua dengan senyum yang paling sempurna.

Alhamdulillah berkat petunjuk dan kemudahanNya penulis akhirnya dapat menyelesaikan tugas akhir ini dengan judul “Studi Karakterisasi Batuan di Sekitar Sumber Air Panas Desa Galung Kabupaten Barru Menggunakan Metode X-Ray Diffraction (XRD)” sebagai salah satu syarat untuk meraih gelar sarjana sains Jurusan Fisika Fakultas Sains dan Teknologi Universitas Islam Negeri (UIN) Alauddin Makassar.

Penulis menghaturkan rasa hormat kepada kedua orang tuaku Ayahanda **Amsar. P** dan Ibunda **Nursiah.D.** Terima kasih karena telah memberikan kasih sayang tiada henti dan cintanya serta doa-doanya untuk keberhasilan penulis.

Penyusunan tugas akhir (skripsi) ini tidak lepas dari dukungan dan bantuan yang datang dari berbagai pihak yang sudah pasti sangat berarti, untuk itu dengan segala kerendahan hati saya mengucapkan terimakasih kepada:

1. Bapak **Prof. Dr. Musafir Pabbari, M.Si.**, selaku Rektor Universitas Islam Negeri (UIN) Alauddin Makassar beserta para Wakil Rektor.

2. Bapak **Prof. Dr. H. Arifuddin, M.Ag.**, selaku Dekan Fakultas Sains Teknologi Universitas Islam Negeri (UIN) Alauddin Makassar dan selaku penguji II beserta Wakil Dekan.
3. Ibunda **Sahara, S.Si., M.Sc., Ph.D**, selaku Ketua Jurusan Fisika, Fakultas Sains dan Teknologi UIN Alauddin Makassar dan sekaligus sebagai pembimbing II.
4. Bapak **Ihsan, S.Pd., M.Si**, selaku Sekertaris Jurusan Fisika Fakultas Sains dan Teknologi UIN Alauddin Makassar.
5. Bapak **Muh. Said. L., S.Si., M.Pd.**, selaku Pembimbing I yang telah mencurahkan ilmu dan waktu untuk penulis serta mendengarkan segala keluhan penulis dengan penuh kesabaran, sehingga penulis dapat menyelesaikan skripsi ini.
6. Ibunda **Hernawati, S.Pd., M.Pfis.**, selaku Penguji I yang telah memberikan kritikan dan saran yang membangun untuk perbaikan skripsi ini.
7. Bapak Ibu Dosen Jurusan Fisika yang selama ini berkontribusi banyak dalam penyelesaian tugas akhir penulis.
8. Kakak dan adik tercinta yang saat ini juga tengah menyusun tugas akhirnya **Rini Salmi** dan **Aswang Nur**, yang telah mengajarku bermimpi dan bekerja keras, terima kasih untuk dukungan, semangat, cinta dan kebersamaan dengan keluarga yang selama ini diberikan
9. Keluarga besarku yang selalu mendoakan dan menyemangati penulis.
10. Saudara seperjuanganku dari SMP sampai sekarang **Suryanita** yang sementara dalam proses penyusunan skripsi juga. Yang selalu ada disaat suka duka dalam proses penyelesaian tugas akhir ini.

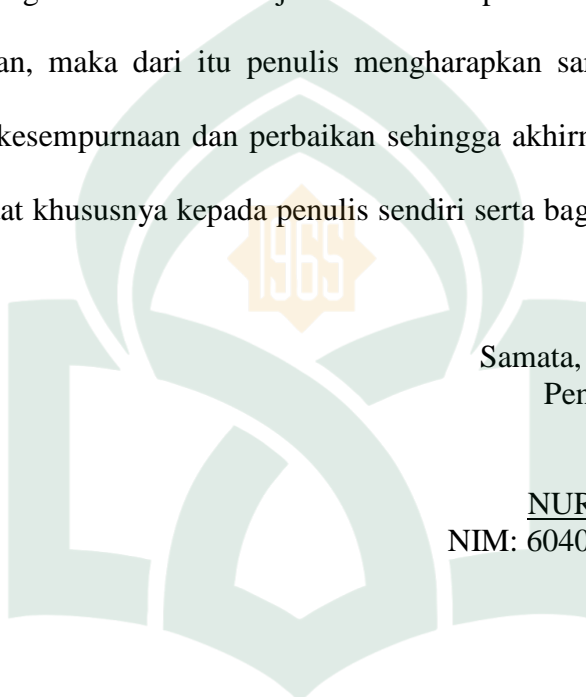
11. Teman seperjuangan dalam penelitian yang mengarungi sungai yang deras **Nurul Amalia, Riska Oktaviani, Nurlaela, Nur Sami Fajriani, Arwin Darwis, Muh.Ashar** dan Kakanda **Killa**
12. Saudara seperjuangan di tanah bugis yang selalu menyemagatiku **Ilham, Zhul, Zainal, Nurasita, Dewi, Rahmi, Nurjannah, Wahdah** dan **Muh. Rizal**
13. Keluarga besar kakak **Nurmasita** dan segenap keluarga **Gattareng Squad** terima kasih untuk yang selalu mendengar keluh kesahku dan membantu penulis untuk melakukan penelitian. Dan terima kasih juga untuk kakanda **Kahar** yang selalu membantu penulis.
14. Teman-teman seperjuangan **Waode Mutmainnah, Ika Desianti, Meildasary, Nurhalimah, Rizky Aulia, Hariani, Astuti, Irnawati, Sasa Harkiah** dan semua teman-teman angkatan **2014**.
15. Terima kasih kepada angkatan **2005, 2006, 2007, 2008, 2009, 2010, 2011, 2012, 2013**.
16. Terima kasih juga kepada angkatan **2015, 2016, 2017** yang telah membantu dalam penyelesaian tugas akhir ini.
17. Pemerintah Desa dan warga desa **Galung** yang telah membantu dalam proses penelitian di lapangan yang telah meminjamkan peralatan.
18. Terima kasih kakak **Lisma** dan Pak **Yani** selaku laboran Kimia Dasar dan Kimia Anorganik yang telah membantu penulis dalam menyelesaikan tugas akhir.
19. Aparat pemerintah yang telah mengizinkan penulis melakukan penelitian.
20. Terkhusus buat kakak **Heriyanto, S.Si.**, sebagai asisten laboratorium yang telah banyak membantu penulis dalam proses penyelesaian tugas akhir

21. Kepada semua pihak yang tidak sempat penulis tuliskan satu persatu dan telah memberikan kontribusi secara langsung maupun tidak langsung dalam penyelesaian studi, penulis mengucapkan banyak terima kasih atas bantuannya.

Semoga Allah Swt memberikan balasan yang berlipat ganda kepada semuanya. Penulis menyadari tugas akhir ini masih jauh dari kesempurnaan dan tidak luput dari berbagai kekurangan, maka dari itu penulis mengharapkan saran dan kritik yang membangun demi kesempurnaan dan perbaikan sehingga akhirnya skripsi ini dapat memberikan manfaat khususnya kepada penulis sendiri serta bagi bidang pendidikan dan masyarakat.

Samata, Juli 2017
Penulis,

NURANSIL
NIM: 60400114001



UNIVERSITAS ISLAM NEGERI
ALAUDDIN
M A K A S S A R

DAFTAR ISI

| | |
|--|-------------|
| JUDUL | |
| PERNYATAAN KEASLIAN SKRIPSI | ii |
| LEMBAR PENGESAHAN | iii |
| KATA PENGANTAR | iv |
| DAFTAR ISI | v |
| DAFTAR GAMBAR | vi |
| DAFTAR TABEL | vii |
| DAFTAR GRAFIK | viii |
| DAFTAR LAMPIRAN | ix |
| ABSTRAK | x |
| ABSTRACT | xi |
| BAB I PENDAHULUAN | |
| 1.1 Latar Belakang..... | 1 |
| 1.2 Rumusan Masalah..... | 5 |
| 1.3 Tujuan Penulisan..... | 6 |
| 1.4 Ruang Lingkup Penelitian..... | 6 |
| 1.5 Manfaat Penelitian..... | 7 |
| BAB II TINJAUAN TEORITIS | |
| 2.1 Mineral Batuan..... | 8 |
| 2.2 Cara Mengenal Suatu Mineral..... | 18 |
| 2.3 Pengertian Panas Bumi..... | 25 |
| 2.4 Energi Panas Bumi..... | 26 |
| 2.5 Sistem Hidrotermal..... | 29 |
| 2.7 Difraksi Sinar-X..... | 31 |
| 2.8 Stuktur Kristal..... | 33 |
| 2.9 Geologi Dasar Penelitian..... | 38 |
| BAB III METODE PENELITIAN | |
| 3.1 Waktu dan Tempat..... | 42 |
| 3.2 Alat dan Bahan..... | 43 |

| | |
|---|-----------|
| 3.3 Prosedur Kerja..... | 44 |
| 3.4 Bagan Alir..... | 47 |
| BAB IV HASIL PENELITIAN DAN PEMBAHASAN | |
| 4.1 Hasil Penelitian..... | 48 |
| 4.1.1 Stuktur Kristal..... | 50 |
| 4.1. 2 Kandungan Mineral..... | 58 |
| 4.2 Pembahasan..... | 66 |
| BAB V PENUTUP | |
| 5.1 Kesimpulan | 70 |
| 5.2 Saran..... | 70 |
| DAFTAR PUSTAKA..... | 71 |
| LAMPIRAN- LAMPIRAN..... | L1 |
| RIWAYAT HIDUP..... | |

DAFTAR GAMBAR

| No. | Keterangan Gambar | Halaman |
|------------|----------------------------------|----------------|
| 2.1 | Dasar Klasifikasi Batuan | 10 |
| 2.2 | Gambar Batuan Beku | 11 |
| 2.3 | Gambar Batuan Sedimen | 15 |
| 2.4 | Gambar Batuan Metamorf | 16 |
| 2.5 | Gambar Air Panas | 30 |
| 2.6 | Gambar <i>X-Ray Diffraction</i> | 32 |
| 2.7 | Sistem <i>Triclinic</i> | 34 |
| 2.8 | Sistem <i>Monoclinic</i> | 34 |
| 2.9 | Sistem <i>Orthorhombic</i> | 35 |
| 2.10 | Sistem <i>Tetragonal</i> | 35 |
| 2.11 | Sistem <i>Cubic</i> | 36 |
| 2.12 | Sistem <i>Hexagonal</i> | 36 |
| 2.13 | Peta Geologi Barru | 38 |
| 3.1 | Peta Lokasi | 42 |
| 3.2 | Gambar Contoh Grafik Diftatogram | 45 |
| 4.1 | Contoh Sampel | 49 |
| 4.2 | Grafik Diftatogram Sampel 1 | 50 |
| 4.3 | Grafik Diftatogram Sampel 2 | 51 |
| 4.4 | Grafik Diftatogram Sampel 3 | 52 |
| 4.5 | Grafik Diftatogram Sampel 4 | 53 |
| 4.6 | Grafik Diftatogram Sampel 5 | 54 |
| 4.7 | Grafik Diftatogram Sampel 6 | 55 |
| 4.8 | Grafik Diftatogram Sampel 7 | 56 |
| 4.9 | Grafik Diftatogram Sampel 8 | 57 |

DAFTAR TABEL

| No. | Keterangan Tabel | Halaman |
|------------|--|----------------|
| 3.1 | Tabel Pengukuran Suhu Lingkungan | 43 |
| 4.1 | Tabel Hasil Pengukuran Suhu Lingkungan | 50 |



DAFTAR GRAFIK

| No. | Keterangan Grafik | Halaman |
|------------|--------------------------|----------------|
| 4.1 | Grafik Sampel 1 | 58 |
| 4.2 | Grafik Sampel 2 | 59 |
| 4.3 | Grafik Sampel 3 | 60 |
| 4.4 | Grafik Sampel 4 | 61 |
| 4.5 | Grafik Sampel 5 | 62 |
| 4.6 | Grafik Sampel 6 | 63 |
| 4.7 | Grafik Sampel 7 | 64 |
| 4.8 | Grafik Sampel 8 | 65 |



DAFTAR LAMPIRAN

| No. | Keterangan Lampiran | Halaman |
|------------|--|----------------|
| 1 | Lampiran Hasil Penelitian | L |
| 2 | Peta Lokasi Penelitian, Peta Titik Pengambilan Sampel | L |
| 3 | Dokumentasi Penelitian | L |
| 4 | Dokumentasi Peparasi Sampel | L |
| 5 | Dokumentasi Analisis XRD | L |
| 6 | Persuratan Penelitian | L |
| 7 | Persuratan SK | L |



ABSTRAK

NAMA : Nuransil
NIM : 60400114001
JUDUL SKRIPSI : STUDI KARAKTERISASI BATUAN DI SEKITAR SUMBER AIR PANAS DESA GALUNG KABUPATEN BARRU DENGAN METODE *X-RAY DIFFRACTION (XRD)*

Penelitian yang bertujuan mengetahui stuktur kristal dan kandungan mineral batuan dengan sampel batuan diambil 8 titik. Kedelapan sampel dengan kedalaman titik I dengan kordinat 4°22'40,04" LS-119°43'2,7" BT: 50 cm, titik II dengan kordinat 4°22'40,5" LS-119°43'1,54" BT: 50 cm, titik III dengan kordinat 4°22'40,39" LS-119°43'2,940" BT: 50 cm, titik IV dengan kordinat 4°22'40,954" LS-119°43'2,326" BT: 50 cm, titik V dengan kordinat 4°22'41,414" LS-119°43'1,946" BT: 50 cm, titik VI dengan kordinat 4°22'40,7" LS-119°43'1,4" BT: 10 cm, titik VII dengan kordinat 4°22'39" LS-119°43'1,4" BT: 50 cm dan titik VIII dengan kordinat 4°22'39,75" LS-119°43'2,290" BT: 50 cm. Kemudian teknik akuisi data berdasarkan hasil uji *XRD* untuk mengetahui stuktur kristal dan kandungan mineral. Hasil analisis *XRD* kandungan mineral yaitu *sulfur*, *kalium karbon dioksida*, *besi oksida*, *silica oksida*, *difosfor oksida*, *aluminium oksida*, *magnesium oksida*, *chlorine*, *karbon dioksida* dan *mangan*. Mineral yang sering muncul yaitu *sulfur (S)*, *Kalium Karbon Trioksida (CaCO₃)* dan *Besi Oksida (FeO)* dan stuktur kristal batuan adalah *monoclinic*, *orthorhombic* dan *cubic* dengan ukuran yang bervariasi.

Kata Kunci: *Batuan, geotermal, XRD, struktur kristal, kandungan mineral*

ABSTRACT

Name : Nuransil
NIM : 60400114001
Thesis Title : STUDY OF CHARACTERIZATION OF ROCKS AROUND THE HOT WATER RESOURCE DESIGN OF BARRU DISTRICT WITH METHOD X-RAY DIFFRACTION (XRD)

Research which aim to know crystal structure and rock mineral content with rock sampel taken 8 sampel dot. Eight points with depth of Kedelapan sampel dengan kedalaman titik I with kordinat $4^{\circ}22'40,04''$ LS- $119^{\circ}43'2,7''$ BT: 50 cm, titik II with kordinat $4^{\circ}22'40,5''$ LS- $119^{\circ}43'1,54''$ BT: 50 cm, titik III with kordinat $4^{\circ}22'40,39''$ LS- $119^{\circ}43'2,940''$ BT: 50 cm, titik IV with kordinat $4^{\circ}22'40,954''$ LS- $119^{\circ}43'2,326''$ BT: 50 cm, titik V with kordinat $4^{\circ}22'41,414''$ LS- $119^{\circ}43'1,946''$ BT: 50 cm, titik VI with kordinat $4^{\circ}22'40,7''$ LS- $119^{\circ}43'1,4''$ BT: 10 cm, titik VII dengan kordinat $4^{\circ}22'39''$ LS- $119^{\circ}43'1,4''$ BT: 50 cm dan titik VIII with kordinat $4^{\circ}22'39,75''$ LS- $119^{\circ}43'2,290''$ BT: 50 cm. Then the data acquisition technique based on XRD test results to know the crystal structure and mineral content. Results of XRD analysis of mineral content *are sulphur, dioxide carbon potassium, iron oxide, oxide silica, oxide phosphorus, aluminium oxide, magnesia, chlorine, dioxide carbon and manganese*. Commonly emerging minerals are *sulfur (S), Potassium Carbon Trioxide (CaCO₃), and Iron Oxide (FeO)* and rock crystalline structures are monoclinic, orthorhombic and cubic with varying sizes.

Keywords: *Rocks, geothermal, XRD, crystal structure, mineral content*

BAB I

PENDAHULUAN

1.1. Latar Belakang

Kekayaan alam di Indonesia berupa sumber daya alam (mineral) yang cukup melimpah. Sumber daya mineral yang melimpah antara lain: emas, tembaga, platina, nikel, timah, batu bara, migas dan panas bumi. Saat ini yang menjadi perhatian para peneliti mengarah pada energi alternatif salah satu di antaranya energi panas bumi. Secara istilah, geothermal dapat diartikan sebagai energi panas yang tersimpan dalam batuan di bawah permukaan bumi dan fluida yang terkandung didalamnya yang dapat ditemukan di kawasan jalur vulkanis (Dikin, 2014).

Panas bumi merupakan sisa panas yang dari reaksi nuklir yang pernah terjadi pada awal terbentuknya alam semesta. Panas bumi juga merupakan salah satu energi terbaru yang dimanfaatkan dalam kehidupan manusia yang dapat dijadikan sumber pembangkit listrik. Pada dasarnya sistem panas bumi merupakan suatu daur hidrologi air (air tanah dan hujan) yang dalam perjalanannya berhubungan dengan sumber panas (*heat source*) bertemperatur tinggi, sehingga terbentuk air panas yang dapat terperangkap dalam batuan yang mempunyai permeabilitas tinggi. Uap air dan air panas tersebut akan muncul ke permukaan (Dikin, 2014).

Mata air panas yang muncul ke permukaan mengindikasikan bahwa adanya suatu sistem panas bumi yang terbentuk di bawah permukaan bumi yang diakibatkan oleh adanya aktifitas geologi, seperti vulkanisme dan tektonisme yang

kemudian muncul di permukaan sebagai mata air panas. Berbagai cara dapat dilakukan untuk mengetahui karakteristik batuan dengan menggunakan *X-Ray Diffraction* (XRD). Untuk dapat mengetahui kandungan (unsur elemen) penyusun di sekitar sumber air panas *X-Ray Diffraction* (XRD). Merupakan metode karkterisasi yang dapat memberikan informasi tentang susunan atom, molekul atau ion dalam bentuk padat/kristal (Rahmatul.dkk, 2014)

Batuan adalah kumpulan dari mineral–mineral yang sudah dalam keadaan membeku/keras. Batuan adalah salah satu elemen kulit bumi yang menyediakan mineral–mineral anorganik melalui pelapukan yang selanjutnya menghasilkan tanah. Batuan dikelompokkan menjadi tiga yaitu batuan beku, sedimen dan batuan metamorf. Batuan sedimen merupakan batuan yang mengalami yang mengalami pelapukan dari batuan beku kemudian batuan metamorf adalah batuan yang terbentuk dari batuan asal yang mengalami perubahan temperatur, tekanan. Sedangkan batuan beku adalah batuan yang asal. Batuan beku terbagi menjadi beberapa batuan salah satunya yaitu batuan obsidian.

Ayat yang berhubungan dengan batuan adalah QS Al-Fathir/ 35: 27

أَلَمْ تَرَ أَنَّ اللَّهَ أَنْزَلَ مِنَ السَّمَاءِ مَاءً فَأَخْرَجْنَا بِهِ ثَمَرَاتٍ مُّخْتَلِفًا أَلْوَانُهَا وَمِنَ الْجِبَالِ جُدَدٌ بَيَضٌ
وَحُمْرٌ مُّخْتَلِفٌ أَلْوَانُهَا وَعَرَابِيٌّ سُودٌ

Terjemahan-Nya:

“Tidakkah engkau melihat bahwa Allah menurunkan air dan langit lalu dengan air itu kami hasilkan buah–buahan yang beraneka macam jenisnya. Dan di antara gunung–gunung itu ada garis–garis putih dan merah beraneka macam warnanya dan ada (pula) yang hitam pekat”(Kementerian RI: 2016).

Tafsir Al-Misbah (2002) adalah (tidakkah kamu melihat) mengetahui (bahwasanya Allah menurunkan hujan dari langit lalu kami hasilkan) di dalam ungkapan ayat ini terkandung Iltifat dari dhamir Gaib (dengan hujan itu buah-

buahan yang beraneka ragam jenisnya) ada yang berwarna hijau, merah kuning dan warna-warna lainnya. (Dan di antara gunung-gunung itu ada garis-garis) Judadu adalah bentuk jamak dari lafal Juddatun, artinya jalan yang terdapat di gunung dan lainnya (putih, merah) dan kuning (yang beraneka macam warnanya) ada yang tua dan ada yang muda (dan ada pula yang hitam pekat) di'athafkan kepada lafal Judadun, artinya ialah batu-batu yang besar yang hitam pekat warnanya. Dikatakan Aswadu Gharbibu, hitam pekat: tetapi sangat sedikit dikatakan Gharablibu Aswadu.

Ayat ini menjelaskan tentang batu-batu hitam pekat dimana batu yang hitam pekat merupakan salah satu ciri dari batuan beku yang memiliki ciri warna hitam pekat. Merupakan batuan obsidian jenis batuan yang terbentuk yang terperangkat diambil dari mineral-mineral yang terperangkat dalam lava cairan gunung merapi. Batuan ini terbentuk karena adanya perbedaan suhu antara kondisi di dalam perut bumi dan di luar permukaan.

Kabupaten Barru adalah salah satu kabupaten yang memiliki potensi panas bumi yang memiliki nomor titik 219 dengan sumber daya spekulatif yaitu 25. Potensi panas buminya diperkirakan tidak berada dalam kawasan hutan konservasi, hutan lindung atau pun hutan produksi. Dengan perkiraan temperatur bawah permukaan adalah 70° dengan manifestasi air panas/hangat berada pada kondisi bikarbonat dan sulfat (ESDM RI, 2017: 467)

Secara geomorfologis Kabupaten Barru terletak di Pantai Barat Sulawesi Selatan, berjarak sekitar 100 km arah utara Kota Makassar. Secara geografis terletak pada koordinat 4°05'49" LS - 4°47'35"LS dan 119°35'00"BT-

119°49'16"BT. Di sebelah Utara kabupaten Barru berbatasan kota Pare-Pare dan kabupaten Sidrap, sebelah Timur berbatasan kabupaten Soppeng dan Kabupaten Bone, sebelah Selatan berbatasan kabupaten Pangkep dan sebelah Barat berbatasan Selat Makassar. Luas wilayah kabupaten Barru seluas 1.174,72 km², terbagi dalam 7 kecamatan salah satunya adalah kecamatan Barru yang terdapat 5 desa dan 5 kelurahan (Pemerintah Kabupaten Barru, 2013).

Kabupaten Barru merupakan salah satu kabupaten yang memiliki potensi panas bumi. Salah satunya desa Galung dusun Kalompie dengan nama titik sumber air panas yaitu Kalompie yang memiliki jarak beberapa kilometer dari arae pemukiman warga. Terdapat titik sumber air panas yang memiliki temperatur panas yang bisa dikatakan hangat. Dari area tersebut terdapat batuan-batuan besar yang menyusuri aliran dari air panas tersebut, bau air di sekitar area tersebut menyengat dan juga terdapat air sungai yang mengalir di sekitar area titik sumber air panas.

Sebelumnya telah dilakukan penelitian mengenai karakterisasi mineral sedimen oleh Tutu, dkk (2015) tentang “*Studi Analisis Karakterisasi dan Mikrostruktur Mineral Sedimen Sumber Air Panas Sulili di Kabupaten Pinrang*”. Hasil penelitian ini menunjukkan batuan berbentuk lempengan dan gumpalan yang mengandung cacat dan ukuran yang bervariasi. Kandungan mineral pada sampel sedimen tersebut didominasi oleh mineral *kaolinite* dan *quartz*. Penelitian yang sama juga dilakukan oleh Ngkoimani, dkk (2010) tentang “*Analisa Kandungan Mineral Batuan Pada Situs Kontu Kowuna Kabupaten Muna Menggunakan Sinar-X*”. Hasil penelitian menunjukkan bahwa bukan batuan yang

berasal dari batuan induk tetapi sejenis lumut yang mengandung *oksalat hidrat*, sodium dan aluminium. Penelitian selanjutnya yang dilakukan oleh Sudarningsih, dkk(2012) tentang “*Analisa Struktur dan Mineralogi Batuan dari Sungai Aranio Kabupaten Banjar*”. Hasil penelitian menunjukkan yaitu komposisi mineral ini diketahui batuan yang ada batuan malihan atau batuan metamorf dan struktur menunjukkan yaitu komposisi mineral ini diketahui batuan yang ada batuan malihan atau batuan metamorf dan struktur mikro dari permukaan batuan memperlihatkan struktur foliasi dan batuan telah mengalami laminasi. Dengan struktur kristal *hexagonal* dan *triklin*.

Dari uraian penelitian di atas memberikan beberapa gambaran yaitu setiap daerah sumber memiliki perbedaan sesuai dengan wilayah dan temperatur daerah sekitar. Seperti pada area sekitaran sumber air panas Kalompie memiliki perbedaan temperatur air di wilayah tersebut maka dilakukan penelitian untuk mengetahui mineral yang terkandung pada batuan di sekitar sumber air panas Kalompie dengan menggunakan karakterisasi *X-Ray Diffraction* (XRD).

1.2. Rumusan Masalah

Rumusan masalah penelitian ini adalah:

1. Bagaimana struktur kristal batuan di sekitar sumber air panas Kalompie desa Galung kecamatan Barru kabupaten Barru dengan menggunakan *X-Ray Diffraction* (XRD)?
2. Bagaimana kandungan mineral yang terkandung dalam batuan di sekitar sumber air panas Kalompie desa Galung kecamatan Barru kabupaten Barru dengan menggunakan *X-Ray Diffraction* (XRD)?

1.3. Tujuan Penelitian

Tujuan dari penelitian ini didapat adalah sebagai berikut:

1. Menganalisis stuktur kristal batuan di sekitar sumber air panas Kalompie desa Galung kecamatan Barru kabupaten Barru dengan menggunakan *X-Ray Diffraction* (XRD).
2. Mengetahui kandungan mineral yang terkandung dalam batuan di sekitar sumber air panas Kalompie desa Galung kecamatan Barru kabupaten Barru dengan menggunakan *X-Ray Diffraction* (XRD).

1.4. Ruang Lingkup Penelitian

Ruang lingkup yang dikaji pada penelitian ini yaitu:

1. Pengambilan sampel batuan pada penelitian ini diambil di kabupaten Barru kecamatan Barru desa Galung dusun Kalompie.
2. Penelitian ini menggunakan 8 titik sampel dengan kedalam ± 50 cm.
3. Penelitian ini menggunakan pengujian alat *X-Ray Diffraction* (XRD).

1.5. Manfaat Penelitian

Dengan melakukan penelitian diharapkan dapat diperoleh bermanfaat sebagai berikut:

1.5.I. Bagi Instansi Pemerintah

Manfaat yang diperoleh pemerintah melalui penelitian ini dapat digunakan sebagai:

1. Bahan informasi atau referensih mengenai mineralbatuan sumber air panas
2. Sebagai bahan informasi dilakukan perbaikan untuk daerah sekitar sumber air panas kalompie.

3. Memberi manfaat untuk pertimbangan pemerintah untuk membangun pembangkit listrik tenaga panas bumi (*PLTP*)

1.5.2 Manfaat Bagi Mahasiswa

Manfaat yang diperoleh pemerintah melalui penelitian ini dapat digunakan sebagai:

1. Menambah khasanah keilmuan dengan analisis XRD
2. Menambah pengetahuan tentang mineral batuan sumber air panas

1.5.3 Bagi Masyarakat

Manfaat yang diperoleh untuk masyarakat adalah memanfaatkan sebagai sarana objek wisata yang lebih baik ketika mengetahui mineral–mineral batuananya.

BAB II

TINJAUAN TEORITIS

2.1. Mineral dan Batuan

Mineral adalah benda padat homogen yang terdapat di alam terbentuk secara anorganik, mempunyai komposisi kimia tertentu dan mempunyai atom-atom yang tersusun secara teratur. Banyak bahan yang tidak dapat diproduksi tanpa menggunakan mineral. Sebagai contoh, mineral yang terlibat dalam pembuatan kaca dan cat. Hampir semua jenis produk menggunakan bahan mineral. Misalnya proses manufaktur yang terlibat dalam penyulingan minyak bumi. Pembuatan baja, memproduksi tekstil, plastik dan pupuk. Semua tergantung pada bahan kimia yang dibuat dari mineral (Haris, 2014).

Pengetahuan atau ilmu geologi didasarkan kepada studi terhadap batuan. Diawali dengan mengetahui bagaimana batuan itu terbentuk, berubah, kemudian bagaimana hingga batuan itu sekarang menempati bagian dari pegunungan, dataran-dataran di benua hingga didalam cekungan dibawah permukaan laut. Kemanapun anda menoleh, maka anda selalu akan bertemu dengan benda yang dinamakan batu atau batuan. Sebut saja kerakal di halaman rumah, kemudian di jalan yang landasannya atau bagian tepinya dibuat dari batu. Di dasar atau tebing sungai, bahkan menengok bagian dari rumah anda mungkin sebagian besar terbuat dari batu. Batu atau batuan yang anda lihat dimana-mana itu, ada yang sama warna dan jenisnya, tetapi juga banyak yang berbeda. Tidak mengherankan apabila batuan merupakan bagian utama dari bumi ini (Noor, 2009: 62).

Berdasarkan persamaan dan perbedaan tadi, maka kita berupaya untuk mengelompokkannya. Dari hasil pengamatan terhadap jenis-jenis batuan tersebut, kita dapat mengelompokkannya menjadi tiga kelompok besar, yaitu (1) batuan beku, (2) batuan sedimen dan (3) batuan malihan (Noor, 2009: 62).

2.1.1. Batuan Beku

Batuan beku atau batuan igneus (dari Bahasa Latin: *ignis*, "api") adalah jenis batuan yang terbentuk dari magma yang mendingin dan mengeras, dengan atau tanpa proses kristalisasi, baik di bawah permukaan sebagai batuan intrusif (*plutonik*) maupun di atas permukaan sebagai batuan ekstrusif (vulkanik). Magma ini dapat berasal dari batuan setengah cair ataupun batuan yang sudah ada, baik di mantel ataupun kerak bumi. Umumnya, proses pelelehan terjadi oleh salah satu dari proses-proses berikut: kenaikan temperatur, penurunan tekanan, atau perubahan komposisi. Lebih dari 700 tipe batuan beku telah berhasil dideskripsikan, sebagian besar terbentuk di bawah permukaan kerak bumi ini (Noor, 2009: 63).

Untuk membedakan berbagai jenis batuan beku yang terdapat di Bumi, dilakukan berbagai cara pengelompokan terhadap batuan beku. Pengelompokan yang didasarkan kepada susunan kimia batuan, jarang dilakukan. Hal ini disebabkan disamping prosesnya lama dan mahal, karena harus dilakukan melalui analisa kimiawi. Dan yang sering digunakan adalah yang didasarkan kepada tekstur dipadukan dengan susunan mineral, dimana keduanya dapat dilihat dengan kasat mata (Noor, 2009: 66).



Gambar 2.1. Dasar Klasifikasi Batuan Beku (Noor, 2009: 66).

Ayat yang berhubungan dengan batuan adalah QS Al-Fathir/ 35: 27

أَلَمْ تَرَ أَنَّ اللَّهَ أَنْزَلَ مِنَ السَّمَاءِ مَاءً فَأَخْرَجْنَا بِهِ ثَمَرَاتٍ مُّخْتَلِفًا أَلْوَانُهَا وَمِنَ الْجِبَالِ جُدَدٌ بَيضٌ
وَحُمْرٌ مُّخْتَلِفٌ أَلْوَانُهَا وَعَرَابِيٌّ سُودٌ

Terjemahan-Nya:

“Tidakkah engkau melihat bahwa Allah menurunkan air dan langit lalu dengan air itu kami hasilkan buah-buahan yang beraneka macam jenisnya. Dan di antara gunung-gunung itu ada garis-garis putih dan merah beraneka macam warnanya dan ada (pula) yang hitam pekat”(Kementerian RI: 2016).

Tafsir Al-Misbah (2002) adalah (tidakkah kamu melihat) mengetahui (bahwasanya Allah menurunkan hujan dari langit lalu kami hasilkan) di dalam ungkapan ayat ini terkandung Iltifat dari dhamir Gaib (dengan hujan itu buah-buahan yang beraneka ragam jenisnya) ada yang berwarna hijau, merah kuning dan warna-warna lainnya. (Dan di antara gunung-gunung itu ada garis-garis) Judadu adalah bentuk jamak dari lafal Juddatun, artinya jalan yang terdapat di gunung dan lainnya (putih, merah) dan kuning (yang beraneka macam warnanya) ada yang tua dan ada yang muda (dan ada pula yang hitam pekat) di'athafkan kepada lafal Judadun, artinya ialah batu-batu yang besar yang hitam pekat

warnanya. Dikatakan *Aswadu Gharbibu*, hitam pekat: tetapi sangat sedikit dikatakan *Gharablibu Aswadu*.

Ayat ini menjelaskan tentang batu-batu hitam pekat dimana batu yang hitam pekat merupakan salah satu ciri dari batuan beku yang memiliki ciri warna hitam pekat. Merupakan batuan obsidian jenis batuan yang terbentuk yang terperangkat diambil dari mineral-mineral yang terperangkat dalam lava cairan gunung merapi. Batuan ini terbentuk karena adanya perbedaan suhu antara kondisi di dalam perut bumi dan di luar permukaan.

Batu apung (batuan beku) disebut pula batu timbul, yaitu jenis batu yang berasal dari gunung berapi yang tidak tenggelam di dalam air. Warnanya bermacam-macam, dari yang kekuning-kuningan hingga jingga, kemerah-merahan, abu-abu kebiru-biruan, abu-abu, dan warna-warna lainnya. Unsur terbanyak yang terkandung di dalam batu apung adalah *silika*. Selain itu ada juga bahan lain seperti *alumina*, *besi oksida*, *potash*, dan *soda*. Batu apung digunakan untuk berbagai kepentingan manusia seperti bahan mentah untuk membuat bahan polesan, bata tahan api, pengasah, cat, pasta gigi, sabun tangan, dan lain-lain. Sesuai asal keberadaannya, batu apung terdapat di tempat-tempat yang tidak jauh dari gunung berapi yang banyak terdapat di Indonesia (Komandoko, 2010).



Gambar 2.2 Batuan Beku

Batuan ini terbentuk dari magma asam oleh aksi letusan gunung api yang mengeluarkan materialnya ke udara, kemudian mengalami transportasi secara horizontal dan terakumulasi sebagai batuan *piroklastik*. Batu apung mempunyai sifat vesicular (struktur berlubang) yang tinggi, mengandung jumlah sel yang banyak (berstruktur selular) akibat ekspansi buih gas alam yang terkandung di dalamnya, dan pada umumnya terdapat sebagai bahan lepas atau fragmen-fragmen dalam batuan breksi gunung api. Sedangkan mineral-mineral yang terdapat dalam batu apung adalah *feldspar*, *kuarsa*, *obsidian*, *kristobalit*, dan *tridimit*. Jenis batuan lainnya yang memiliki struktur fisika dan asal terbentuknya sama dengan batu apung adalah *pumicit*, *volkanik cinter*, dan *scoria* (Trianasari, 2017: 28).

Yang terkandung di dalamnya dan pada umumnya terdapat sebagai bahan lepas atau fragmen-fragmen dalam batuan breksi gunung api. Sedangkan mineral-mineral yang terdapat dalam batu apung adalah *feldspar*, *kuarsa*, *obsidian*, *kristobalit* dan *tridimit*. Jenis batuan lainnya yang memiliki struktur fisika dan asal terbentuknya sama dengan batu apung adalah *pumicit*, *volkanik cinter*, dan *scoria*. Didasarkan pada cara pembentukan, distribusi ukuran partikel (*fragmen*), dan material asalnya, batu apung diklasifikasikan menjadi beberapa jenis, yaitu: sub-areal, sub-aqueous, new ardante, dan hasil endapan ulang (*redeposit*). Sifat kimia dan fisika batu apung antara lain, yaitu: mengandung oksida SiO_2 , Al_2O_3 , Fe_2O_3 , Na_2O , K_2O , MgO , CaO , TiO_2 , SO_3 dan Cl (Pusat Penelitian dan Pengembangan Tekmira, 2005).

Komposisi Mineral untuk menentukan komposisi mineral pada batuan beku, cukup dengan mempergunakan indeks warna dari batuan kristal. Atas dasar

warna mineral sebagai penyusun batuan beku dapat dikelompokkan menjadi dua, yaitu:

1. Mineral *felsik*, yaitu mineral yang berwarna terang, terutama terdiri dari mineral *kwarsa*, *feldspar*, *feldspatoid* dan *muskovit*.
2. Mineral *mafik*, yaitu mineral yang berwarna gelap, terutama *biotit*, *piroksen*, *amphibol* dan *olivin*.

Batuan beku diklasifikasikan berdasarkan cara terjadinya kandungan SiO_2 dan indeks warna. Dengan demikian dapat ditentukan nama batuan yang berbeda-beda meskipun dalam jenis batuan yang sama, menurut dasar klasifikasinya. Klasifikasi batuan beku berdasarkan terjadinya:

1. *Effusive rock* adalah batuan yang terbentuk di permukaan.
2. *Dike rock* adalah batuan yang terbentuk dekat permukaan.
3. *Deep seated rock* adalah batuan beku yang berada jauh di dalam bumi. Untuk batuan beku yang jauh di dalam bumi. Jenis batuan plutonik dan batuan effusive disebut batuan vulkanik.

Berdasarkan klasifikasi kandungan SiO_2 yaitu:

1. Batuan beku asam, apabila kandungan SiO_2 lebih dari 66 %. Contohnya adalah *riolit*.
2. Batuan beku intermediate, apabila kandungan SiO_2 antara 52 % - 66 %. Contohnya adalah *dasit*.
3. Batuan beku basa, apabila kandungan SiO_2 antara 45 % - 52 %. Contohnya adalah *andesit*.

4. Batuan beku ultra basa, apabila kandungan SiO_2 kurang dari 45 %.

Contohnya adalah *basalt*.

Berdasarkan Klasifikasi indeks warna yaitu:

1. *Leucoctaris rock*, apabila mengandung kurang dari 30 % mineral mafik.
2. *Mesococitik rock*, apabila mengandung 30 % - 60 % mineral mafik.
3. *Melanocractik rock*, apabila mengandung lebih dari 60 % mineral mafik.

Sedangkan batuan beku berdasarkan indeks warnanya sebagai berikut:

1. *Holofelsic*, untuk batuan beku dengan indeks warna kurang dari 10 %.
2. *Felsic*, untuk batuan beku dengan indeks warna 10 % sampai 40 %.
3. *Mafelsic*, untuk batuan beku dengan indeks warna 40 % sampai 70 %.
4. *Mafik*, untuk batuan beku dengan indeks warna lebih dari 70 %.

(Dongeng blogger, 2013).

2.1.2. Batuan Sedimen

Sedimen merupakan bahan atau partikel yang terdapat di permukaan bumi (di daratan ataupun lautan), yang telah mengalami proses pengangkutan (transportasi) dari satu tempat (kawasan) ke tempat lainnya. Air dan angin merupakan agen pengangkut yang utama. Sedimen ini apabila mengeras (membatu) akan menjadi batuan. Ilmu yang mempelajari batuan disebut dengan sedimentologi (Noor, 2009: 79).

Faktor-faktor yang mengontrol terbentuknya sedimen adalah iklim, topografi, vegetasi dan juga susunan yang ada dari batuan. Sedangkan faktor yang mengontrol pengangkutan sedimen adalah air, angin, dan juga gaya gravitasi. Sedimen dapat terangkut baik oleh air, angin dan bahkan salju. Mekanisme

pengangkutan sedimen oleh air dan angin sangatlah berbeda. Pertama, karena berat jenis angin relatif lebih kecil dari air maka angin sangat susah mengangkut sedimen yang ukurannya sangat besar. Besar maksimum dari ukuran sedimen yang mampu terangkut oleh angin umumnya sebesar ukuran pasir. Kedua, karena sistem yang ada pada angin bukanlah sistem yang terbatas (*confined*) seperti layaknya channel atau sungai maka sedimen cenderung tersebar di daerah yang sangat luas bahkan sampai menuju atmosfer (Noor, 2009: 80).



Gambar 2.3 Batuan Sedimen

Pada umumnya batuan dapat dikenali dengan mudah dilapangan dengan adanya perlapisan. Perlapisan pada batuan disebabkan oleh (1) perbedaan besar butir, seperti misalnya antara batu pasir dan batu lempung; (2) Perbedaan warna batuan, antara batu pasir yang berwarna abu-abu terang dengan batu lempung yang berwarna abu-abu kehitaman. Disamping itu, struktur sedimen juga menjadi penciri dari batuan, seperti struktur silang siur atau struktur gelembur gelombang. Ciri lainnya adalah sifat klastik, yaitu yang tersusun dari fragmen-fragmen lepas hasil pelapukan batuan yang kemudian tersemenkan menjadi batuan klastik. Kandungan fosil juga menjadi penciri dari batuan, mengingat fosil terbentuk sebagai akibat dari organisme yang terperangkap ketika batuan tersebut diendapkan (Noor, 2009: 81)

2.1.3 Batuan Metamorf

Kata “*metamorfosa*” berasal dari bahasa Yunani, yaitu “*metamorphism*” dimana “*meta*” yang artinya “berubah” dan “*morph*” yang artinya “bentuk”. Dengan demikian pengertian “*metamorfosa*” dalam geologi adalah merujuk pada perubahan dari kelompok mineral dan tekstur batuan yang terjadi dalam suatu batuan yang mengalami tekanan dan temperatur yang berbeda dengan tekanan dan temperatur saat batuan tersebut pertama kalinya terbentuk. Batuan metamorf adalah batuan yang terbentuk dari batuan asal (batuan beku, sedimen metamorf) yang mengalami perubahan temperatur (T), tekanan (P) atau temperatur (T) dan tekanan (P) secara bersamaan yang berakibat pada pembentukan mineral-mineral baru dan tekstur batuan yang baru (Noor, 2009: 88).



Gambar 2.4 Batuan Metamorf

Ayat yang berhubungan dengan batuan adalah QS Al-Fathir/ 35: 27

أَلَمْ تَرَ أَنَّ اللَّهَ أَنْزَلَ مِنَ السَّمَاءِ مَاءً فَأَخْرَجْنَا بِهِ ثَمَرَاتٍ مُّخْتَلِفًا أَلْوَانُهَا وَمِنَ الْجِبَالِ جُدَدٌ بَيضٌ
وَحُمْرٌ مُّخْتَلِفٌ أَلْوَانُهَا وَعَرَابِيٌّ سُودٌ

Terjemahan-Nya:

“Tidakkah engkau melihat bahwa Allah menurunkan air dan langit lalu dengan air itu kami hasilkan buah–buahan yang beraneka macam jenisnya. Dan di antara gunung–gunung itu ada garis–garis putih dan merah beraneka macam warnanya dan ada (pula) yang hitam pekat”(Kementerian RI: 2016).

Tafsir Al-Misbah (2002) adalah (tidakkah kamu melihat) mengetahui (bahwasanya Allah menurunkan hujan dari langit lalu kami hasilkan) di dalam ungkapan ayat ini terkandung Iltifat dari dhamir Gaib (dengan hujan itu buah-buahan yang beraneka ragam jenisnya) ada yang berwarna hijau, merah kuning dan warna-warna lainnya. (Dan di antara gunung-gunung itu ada garis-garis) Judadu adalah bentuk jamak dari lafal Juddatun, artinya jalan yang terdapat di gunung dan lainnya (putih, merah) dan kuning (yang beraneka macam warnanya) ada yang tua dan ada yang muda (dan ada pula yang hitam pekat) di'athafkan kepada lafal Judadun, artinya ialah batu-batu yang besar yang hitam pekat warnanya. Dikatakan Aswadu Gharbibu, hitam pekat: tetapi sangat sedikit dikatakan Gharablibu Aswadu.

Ayat ini menjelaskan tentang batu-batu hitam pekat dimana batu yang hitam pekat merupakan salah satu ciri dari batuan beku yang memiliki ciri warna hitam pekat. Merupakan batuan obsidian jenis batuan yang terbentuk yang terperangkat diambil dari mineral-mineral yang terperangkat dalam lava cairan gunung merapi. Batuan ini terbentuk karena adanya perbedaan suhu antara kondisi di dalam perut bumi dan di luar permukaan.

2.1.4. Resistivitas Batuan

Resistivitas menyatakan sifat khas dari suatu bahan, yaitu derajat kemampuan bahan yang dapat menghantarkan arus listrik dengan satuan $\Omega.m$. Satu $\Omega.m$ menyatakan besarnya hambatan pada suatu bahan yang memiliki panjang 1 m dan luas penampang 1 m². Hal ini berarti bahwa untuk bahan tertentu, harga resistivitas juga bernilai tertentu. Akibatnya suatu bahan dengan

mineral penyusun sama tetapi perbandingannya berbeda, maka resistivitasnya akan berbeda pula. Nilai resistivitas hanya bergantung pada jenis mineral penyusun dan tidak bergantung pada faktor geometri (Yuristina, 2015).

2.2. Cara Mengenal Suatu Mineral

Menurut Noor (2009) terdapat dua cara untuk dapat mengenal suatu mineral, yang pertama adalah dengan cara mengenal sifat fisiknya dan yang kedua adalah melalui analisis kimiawi atau analisa difraksi sinar X

2.2.1 Sifat Fisik Mineral

Menurut Noor (2009) sifat-sifat fisik mineral yang dapat dipakai untuk mengenal mineral secara cepat yaitu sebagai berikut:

a. Bentuk kristal

Apabila suatu mineral mendapat kesempatan untuk berkembang tanpa mendapat hambatan, maka akan mempunyai bentuk kristalnya yang khas. Tetapi apabila dalam perkembangannya ia mendapat hambatan, maka bentuk kristalnya juga akan terganggu. Setiap mineral akan mempunyai sifat bentuk kristalnya yang khas, yang merupakan perwujudan kenampakan luar yang terjadi sebagai akibat dari susunan kristalnya di dalam.

b. Berat jenis

Setiap mineral mempunyai berat jenis tertentu. Besarnya ditentukan oleh unsur-unsur pembentuknya serta kepadatan dari ikatan unsur-unsur tersebut dalam susunan kristalnya

c. Bidang belah

Mineral mempunyai kecenderungan untuk pecah melalui suatu bidang yang mempunyai arah tertentu. Arah tersebut ditentukan oleh susunan dalam dari atom-atomnya. Dapat dikatakan bahwa bidang tersebut merupakan bidang lemah yang dimiliki oleh suatu mineral.

d. Warna

Warna mineral memang bukan penciri utama untuk dapat membedakan antara mineral yang satu dengan lainnya. Namun paling tidak ada warna-warna yang khas yang dapat digunakan untuk mengenali adanya unsur tertentu di dalamnya. Sebagai contoh warna gelap dipunyai mineral, mengindikasikan terdapatnya unsur besi, disisi lain mineral dengan warna terang, diindikasikan banyak mengandung *aluminium*.

e. Kekerasan

Salah satu kegunaan dalam mendiagnosa sifat mineral adalah dengan mengetahui kekerasan mineral. Kekerasan adalah sifat resistansi dari suatu mineral terhadap kemudahan mengalami abrasi atau mudah tergores. Kekerasan suatu mineral bersifat relatif, artinya apabila dua mineral saling digoreskan satu dengan lainnya, maka mineral yang tergores adalah mineral yang relatif lebih lunak dibandingkan dengan mineral lawannya.

Beberapa mineral mempunyai goresan pada bidangnya, seperti pada mineral kuarsa dan pyrit, yang sangat jelas dan khas.

f. Kilap

Kilap adalah kenampakan atau kualitas pantulan cahaya dari permukaan suatu mineral. Kilap pada mineral ada dua jenis yaitu kilap logam dan kilap Non-logam. Kilap non-logam antara lain, kilap mutiara, kilap gelas, kilap sutera, kilap resin dan kilap tanah.

2.2.2 Sifat Kimiawi Mineral

Berdasarkan senyawa kimiawinya, mineral dapat dikelompokkan menjadi mineral silikat dan non silikat. Terdapat delapan kelompok mineral non-silikat, yaitu kelompok *oksida, sulfida, sulfat, native elemen, halid, karbonat, hidroksida* dan *phospat*. Adapun mineral *silikat* (mengandung unsur *SiO*).

2.2.3. Kelompok Mineral

a. Kelompok *Native Element* (Unsur Murni)

Native element atau unsur murni ini adalah kelas mineral yang dicirikan dengan hanya memiliki satu unsur atau komposisi kimia saja. Mineral pada kelas ini tidak mengandung unsur lain selain unsur pembentuk utamanya. Pada umumnya sifat dalam (*tenacity*) mineralnya adalah *malleable* yang jika ditempat dengan palu akan menjadi pipih, atau *ductile* yang jika ditarik akan dapat memanjang, namun tidak akan kembali lagi seperti semula jika dilepaskan. Menurut (geologi info, 2016) kelas mineral di bagi tiga yaitu antara lain :

1. Metal dan element intermetallic (logam). Contohnya: *emas (Au), perak (Ag), platina (Pt)* dan *tembaga (Cu)*. sistem kristalnya adalah isometrik.

2. Semimetal (semi logam). Contohnya: *bismuth (Bi)*, *arsenic (As)*, yang keduanya memiliki sistem kristalnya adalah hexagonal.
3. Non metal (bukan logam). Contohnya intan, graphite dan sulfur. sistem kristalnya dapat berbeda-beda, seperti sulfur sistem kristalnya *orthorhombic*, intan sistem kristalnya *isometric*, dan graphite sistem kristalnya adalah *hexagonal*. Pada umumnya, berat jenis dari mineral-mineral ini tinggi, kisarannya sekitar 6.

b. Kelompok Sulfida

Kelas mineral sulfida atau dikenal juga dengan nama sulfosalt ini terbentuk dari kombinasi antara unsur tertentu dengan sulfur atau belerang (S_2^-). Pada umumnya unsur utamanya adalah logam (metal) (Gelogi info, 2016).

Pembentukan mineral kelas ini pada umumnya terbentuk disekitar wilayah gunung api yang memiliki kandungan sulfur yang tinggi. Proses mineralisasinya terjadi pada tempat-tempat keluarnya atau sumber sulfur. Unsur utama yang bercampur dengan sulfur tersebut berasal dari magma, kemudian terkontaminasi oleh sulfur yang ada disekitarnya. Pembentukan mineralnya biasanya terjadi dibawah kondisi air tempat terendapnya unsur *sulfur*. Proses tersebut biasanya dikenal sebagai alterasi mineral dengan sifat pembentukan yang terkait dengan *hidrotermal* (air panas) (Gelogi info, 2016).

Mineral kelas sulfida ini juga termasuk mineral-mineral pembentuk bijih (ores). Dan oleh karena itu, mineral-mineral sulfida memiliki nilai ekonomis yang cukup tinggi. Khususnya karena unsur utamanya umumnya adalah logam. Pada industri logam, mineral-mineral sulfides tersebut akan diproses untuk

memisahkan unsur logam dari sulfurnya. Beberapa penciri kelas mineral ini adalah memiliki kilap logam karena unsur utamanya umumnya logam, berat jenis yang tinggi dan memiliki tingkat atau nilai kekerasan yang rendah. Hal tersebut berkaitan dengan unsur pembentuknya yang bersifat logam. Beberapa contoh mineral sulfides yang terkenal adalah *pirit* (FeS_2), *kalkosit* (Cu_2S), *galena* (PbS), *sphalerite* (ZnS), dan *kalkopirit* ($CuFeS_2$). Dan termasuk juga didalamnya *selenides*, *tellurides*, *arsenides*, *antimonides*, *bismuthinides* dan juga *sulfosalt* (Gelogi info, 2016).

c. Kelompok *Oksida* Dan *Hidroksida*

Mineral *oksida* dan *hidroksida* ini merupakan mineral yang terbentuk dari kombinasi unsur tertentu dengan gugus *anion oksida* (O_2^-) dan gugus *hidroksil hidroksida* (OH^-) (Gelogi info, 2016).

1. Oksida

Mineral oksida terbentuk sebagai akibat persenyawaan langsung antara oksigen dan unsur tertentu. Susunannya lebih sederhana dibanding silikat. Mineral oksida umumnya lebih keras dibanding mineral lainnya kecuali silikat. Mereka juga lebih berat kecuali sulfida. Unsur yang paling utama dalam oksida adalah besi, chrome, mangan, timah dan aluminium. Beberapa mineral oksida yang paling umum adalah *korondum* (Al_2O_3), *hematit* (Fe_2O_3) dan *kassiterit* (SnO_2) (Gelogi info, 2016).

2. Hidroksida

Seperti mineral oksida, mineral hidroksida terbentuk akibat pencampuran atau persenyawaan unsur-unsur tertentu dengan hidroksida (OH^-). Reaksi

pembentukannya dapat juga terkait dengan pengikatan dengan air. Sama seperti oksida, pada mineral hidroksida, unsur utamanya pada umumnya adalah unsur-unsur logam. Beberapa contoh mineral *hidroksida* adalah *Manganite* $MnO(OH)$, *bauksit* [$FeO(OH)$] dan *limonite* ($Fe_2O_3 \cdot HO_2$) (Gelogi info, 2016).

d. Kelompok Halida

Kelompok ini dicirikan oleh adanya dominasi dari ion halogenelektronegatif, seperti: F^- , Cl^- , Br^- , I^- . Pada umumnya memiliki BJ yang rendah (< 5). Contoh mineralnya adalah: *Halit* ($NaCl$), *Fluorit* (CaF_2), *Silvit* (KCl), dan *Kriolit* (Na_3AlF_6) (Gelogi info, 2016).

e. Kelompok Karbonat

Beberapa contoh mineral yang termasuk kedalam kelas karbonat ini adalah *dolomite* ($CaMg(CO_3)_2$), *calcite* ($CaCO_3$), dan *magnesite* ($MgCO_3$). Dan contoh mineral *nitrat* dan *borat* adalah *niter* ($NaNO_3$) dan *borak* ($Na_2B_4O_5(OH)_4$) (Gelogi info, 2016).

1. Kelompok Sulfat

Sulfat terdiri dari *anion sulfat* (SO_4^{2-}). Mineral sulfat adalah kombinasi logam dengan anion sulfat tersebut. Pembentukan mineral sulfat biasanya terjadi pada daerah evaporitik (penguapan) yang tinggi kadar airnya, kemudian perlahan-lahan menguap sehingga formasi sulfat dan halida berinteraksi (Gelogi info, 2016).

2. Kelompok Fosfat

Kelompok ini dicirikan oleh adanya gugus PO_4^{3-} , dan pada umumnya memiliki kilap kaca atau lemak, contoh mineral yaitu: *Apatit*

$(Ca, Sr, Pb, Na, K)_5 (PO_4)_3 (F, Cl, OH)$, Vanadine $Pb_5Cl (PO_4)_3$, dan Turquoise $CuAl_6 (PO_4)_4 (OH)_8 5H_2O$ (Geologi info, 2016).

3. Kelompok Silikat

Silikat merupakan 25 % dari mineral yang dikenal dan 40 % dari mineral yang dikenali. Hampir 90 % mineral pembentuk batuan adalah dari kelompok ini, yang merupakan persenyawaan antara silikon dan oksigen dengan beberapa unsur metal. Karena jumlahnya yang besar, maka hampir 90 % dari berat kerak-Bumi terdiri dari mineral silikat, dan hampir 100 % dari mantel Bumi (sampai kedalaman 2900 Km dari kerak Bumi). Silikat merupakan bagian utama yang membentuk batuan baik itu sedimen, batuan beku maupun batuan malihan (metamorf). Silikat pembentuk batuan yang umum adalah dibagi menjadi dua kelompok, yaitu kelompok *ferromagnesium* dan *non-ferromagnesium*.

Menurut geologi info (2016) kelompok silikat pembentuk batuan dibagi menjadi dua kelompok yaitu *ferromagnesium* dan *non-ferromagnesium*. Nomor 1 sampai 4 adalah mineral non-ferromagnesium dan 5 hingga 8 adalah mineral ferromagnesium.

1. *Quartz* (SiO_2)

2. *Feldspar Alkali* ($KAlSi_3O_8$)

3. *Feldspar Plagioklas* ($(Ca, Na)AlSi_3O_8$)

4. *Mica Muscovit* ($K_2Al_4(Si_6Al_2O_{20})(OH, F)_2$)

5. *Mica Biotit* ($K_2(Mg, Fe)_6Si_3O_{10}(OH)_2$)

6. *Amfibol Horblende* ($(Na, Ca)_2(Mg, Fe, Al)_3(Si, Al)_8O_{22}(OH)$)

7. *Piroksin* ($(Mg, Fe, Ca, Na)(Mg, Fe, Al)Si_2O_6$)

8. Olivin ($(Mg, Fe_2)SiO_4$)

2.3. Energi Panas Bumi (*Geothermal*)

Geothermal berasal dari bahasa Yunani yang terdiri dari dua kata yaitu *geo* yang berarti bumi dan *thermal* yang artinya panas, berarti geothermal adalah panas yang berasal dari dalam bumi. Proses terbentuknya energi panas bumi sangat berkaitan dengan teori tektonik lempeng yaitu teori yang menjelaskan mengenai fenomena-fenomena alam yang terjadi seperti gempa bumi, terbentuknya pegunungan, lipatan, palung, dan juga proses vulkanisme yaitu proses yang berkaitan langsung dengan *geothermal*. Berdasarkan penelitian gelombang seismik, para peneliti kebumiharian dapat mengetahui struktur bumi dari luar sampai ke dalam, yaitu kerak pada bagian luar, mantel, dan inti pada bagian paling dalam. Semakin ke dalam bumi (inti bumi), tekanan dan temperatur akan meningkat. Untuk diketahui, temperatur pada inti bumi berkisar ± 4200 °C. Panas yang terdapat pada inti bumi akan ditransfer ke batuan yang berada di bagian mantel dan kerak bumi. Batuan yang memiliki titik lebur lebih rendah dari temperatur yang diterima dari inti bumi akan meleleh dan lelehan dari batuan tersebut yang kita kenal dengan magma. Magma memiliki densitas yang lebih rendah dari batuan, otomatis batuan yang telah menjadi magma tadi akan mengalir ke permukaan bumi. Jika magma sampai ke permukaan maka magma tersebut berubah nama dengan sebutan lava (contoh lava yang sering dapat dilihat jika terjadi erupsi (letusan) gunung api (Tolulima, 2012)).

Panas bumi atau geothermal merupakan salah satu sumber energy yang dapat diperbaharui dan berkelanjutan (*renewable and sustainable*). Panas bumi

banyak ditemui di daerah yang memiliki banyak gunung berapi aktif, seperti Indonesia, Selandia Baru, Amerika Serikat, Jepang, Filipina, Meksiko dan Islandia. Panas bumi berasal dari dalam permukaan bumi atau lebih tepatnya di bawah kerak bumi (*asthenosphere* hingga lapisan mantel). Pada daerah tersebut terdapat magma, yang sangat panas dan bersifat mobile, yang terbentuk dari lelehan batuan secara alami. Magma juga berasal dari material radioaktif seperti uranium dan potassium. Energi panas bumi ini sangatlah menjanjikan, karena selain *renewable* dan *sustainable*, kekuatan energinya lebih besar dari minyak dan gas bumi.

2.4. Energi Panas Bumi dan Jenis-Jenisnya

Energi panas bumi adalah energi panas yang terdapat dan terbentuk di dalam kerak bumi. Menurut Pasal 1 UU No.27 tahun 2003 tentang definisi panas bumi yaitu sumber energi panas yang terkandung di dalam air panas, uap air, dan batuan bersama mineral ikutan dan gas lainnya yang secara genetis semuanya tidak dapat dipisahkan dalam suatu sistem panas bumi dan untuk pemanfaatannya diperlukan proses penambangan (Prayuda, 2015).

Energi panas bumi atau energi geothermal yang terdapat di bumi terdapat dalam berbagai bentuk. Sumber daya Panas Bumi terdiri dari 4 jenis yaitu, hidrothermal, *hot dry rocks*, *geopressured* dan magma. Energi panas bumi yang umum dimanfaatkan adalah sistem hidrothermal karena pada sistem hidrothermal pori-pori batuan mengandung air, uap, atau keduanya dan reservoir umumnya terletak tidak terlalu jauh sehingga masih ekonomis untuk diusahakan. Energi

panas bumi yang terdapat di Indonesia dikelompokkan menjadi beberapa jenis, yaitu:

1. Energi panas bumi uap basah

Pemanfaatan energi panas bumi yang ideal adalah bila panas bumi yang keluar dari perut bumi berupa uap kering, sehingga dapat digunakan langsung untuk menggerakkan turbin generator listrik. Namun uap kering yang demikian ini jarang ditemukan termasuk di Indonesia dan pada umumnya uap yang keluar berupa uap basah yang mengandung sejumlah air yang harus dipisahkan terlebih dulu sebelum digunakan untuk menggerakkan turbin (Prayuda, 2015).

2. Energi panas bumi air panas

Air panas yang keluar dari perut bumi pada umumnya berupa air asin panas yang disebut "*brine*" dan mengandung banyak mineral. Karena banyaknya kandungan mineral ini, maka air panas tidak dapat digunakan langsung sebab dapat menimbulkan penyumbatan pada pipa-pipa sistem pembangkit tenaga listrik. Untuk dapat memanfaatkan energi panas bumi jenis ini, digunakan sistem biner (dua buah sistem utama) yaitu wadah air panas sebagai sistem primernya dan sistem sekundernya berupa alat penukar panas (*heat exchanger*) yang akan menghasilkan uap untuk menggerakkan turbin. Energi panas bumi "uap panas" bersifat korosif, sehingga biaya awal pemanfaatannya lebih besar dibandingkan dengan energi panas bumi jenis lainnya (Prayuda, 2015).

3. Energi panas bumi batuan panas

Energi panas bumi jenis ketiga berupa batuan panas yang ada dalam perut bumi terjadi akibat berkontak dengan sumber panas bumi (*magma*). Energi panas

bumi ini harus diambil sendiri dengan cara menyuntikkan air ke dalam batuan panas dan dibiarkan menjadi uap panas, kemudian diusahakan untuk dapat diambil kembali sebagai uap panas untuk menggerakkan turbin. Sumber batuan panas pada umumnya terletak jauh di dalam perut bumi, sehingga untuk memanfaatkannya perlu teknik pengeboran khusus yang memerlukan biaya cukup tinggi (Prayuda, 2015).

Seperti yang telah dijelaskan oleh Allah swt dalam QS. al-Imran/ 3: 191

Allah berfirman:

الَّذِينَ يَذْكُرُونَ اللَّهَ قِيَامًا وَقُعُودًا وَعَلَىٰ جُنُوبِهِمْ وَيَتَفَكَّرُونَ فِي خَلْقِ السَّمَاوَاتِ
وَالْأَرْضِ رَبَّنَا مَا خَلَقْتَ هَذَا بَاطِلًا سُبْحَانَكَ فَقِنَا عَذَابَ النَّارِ

Terjemahnya:

“(Yaitu) orang-orang yang mengingat Allah sambil berdiri atau duduk atau dalam keadaan berbaring dan mereka memikirkan tentang penciptaan langit dan bumi (seraya berkata):”Ya Tuhan kami, tiadalah Engkau menciptakan ini dengan sia-sia. Maha Suci Engkau, maka peliharalah kami dari siksa neraka”(Kementerian RI, 2013: 832).

Tafsir Al-Mishbah (2002) pada ayat tersebut dijelaskan sebagian ciri-ciri orang dinamai *ulul albab* yaitu mereka adalah orang-orang baik laki-laki maupun perempuan yang terus menerus mengingat Allah dengan ucapan dan atau hati dan dalam seluruh situasi kondisi saat bekerja atau istirahat sambil berdiri atau duduk atau dalam keadaan berbaring atau bagaimanapun dan mereka memikirkan tentang penciptaan yakni kejadian dan sistem langit kerja langit dan bumi.

Ayat ini menjelaskan bagaimana Allah menciptakan segala sesuatu yang ada di alam semesta ini. Allah menciptakan segala sesuatu alah Allah di

permukaan bumi di ciptakan tanpa sia-sia. Hubungan ayat ini dengan penelitian adalah menciptakan sumber air panas supaya bisa dimanfaatkan oleh manusia baik untuk kesehatan maupun dunia industri.

2.5. Sistem Hidrothermal

Sistem panas bumi di Indonesia umumnya merupakan sistem hidrothermal yang mempunyai temperatur tinggi ($>225\text{ }^{\circ}\text{C}$), hanya beberapa diantaranya yang mempunyai temperatur sedang ($150\text{-}225\text{ }^{\circ}\text{C}$). Pada dasarnya sistem panas bumi jenis hidrothermal terbentuk sebagai hasil perpindahan panas dari suatu sumber panas ke sekelilingnya yang terjadi secara konduksi dan secara konveksi. Perpindahan panas secara konduksi terjadi melalui batuan, sedangkan perpindahan panas secara konveksi terjadi karena adanya kontak antara air dengan suatu sumber panas. Perpindahan panas secara konveksi pada dasarnya terjadi karena gaya apung (*bouyancy*). Air karena gaya gravitasi selalu mempunyai kecenderungan untuk bergerak kebawah, akan tetapi apabila air tersebut kontak dengan suatu sumber panas maka akan terjadi perpindahan panas sehingga temperatur air menjadi lebih tinggi dan air menjadi lebih ringan. Keadaan ini menyebabkan air yang lebih panas bergerak ke atas dan air yang lebih dingin bergerak turun ke bawah, sehingga terjadi sirkulasi air atau arus konveksi (Nenny, 2014).

Adanya suatu sistem hidrothermal di bawah permukaan sering kali ditunjukkan oleh adanya manifestasi panas bumi di permukaan (*geothermal surface manifestation*), seperti mata air panas, kubangan lumpur panas (*mud pools*), *geyser* dan manifestasi panas bumi lainnya. Beberapa diantaranya, yaitu

mata air panas, kolam air panas sering dimanfaatkan oleh masyarakat setempat untuk mandi, berendam, mencuci, masak dan lain-lain. Manifestasi panas bumi di permukaan diperkirakan terjadi karena adanya perambatan panas dari bawah permukaan atau karena adanya rekahan-rekahan yang memungkinkan fluida panas bumi (uap dan air panas) mengalir ke permukaan (Nenny, 2014).



Gambar 2.5 Air panas dan uap (Sumber: Nenny, 2014)

Berdasarkan pada jenis fluida produksi dan jenis kandungan fluida utamanya, sistem hidrotermal dibedakan menjadi dua, yaitu sistem satu fasa atau sistem dua fasa. Sistem dua fasa dapat merupakan sistem dominasi air atau sistem dominasi uap. Sistem dominasi uap merupakan sistem yang sangat jarang dijumpai dimana reservoir panas buminya mempunyai kandungan fasa uap yang lebih dominan dibandingkan dengan fasa airnya. Rekahan umumnya terisi oleh uap dan pori-pori batuan masih menyimpan air. Reservoir air panasnya umumnya terletak jauh di kedalaman di bawah reservoir dominasi uapnya. Sistem dominasi air merupakan sistem panas bumi yang umum terdapat di dunia dimana reservoirnya mempunyai kandungan air yang sangat dominan walaupun “*boiling*” sering terjadi pada bagian atas reservoir membentuk lapisan penudung uap yang mempunyai temperatur dan tekanan tinggi. Dibandingkan dengan temperatur reservoir minyak, temperatur reservoir panas bumi relatif sangat tinggi, bisa

mencapai 350°C . Berdasarkan pada besarnya temperatur, Hochstein (1990) membedakan sistem panas bumi menjadi tiga, yaitu:

1. Sistem panas bumi bertemperatur rendah, yaitu suatu sistem yang reservoirnya mengandung fluida dengan temperatur lebih kecil dari 125°C .
2. Sistem/reservoir bertemperatur sedang, yaitu suatu sistem yang reservoirnya mengandung fluida bertemperatur antara 125°C dan 225°C .
3. Sistem/reservoir bertemperatur tinggi, yaitu suatu sistem yang reservoirnya mengandung fluida bertemperatur diatas 225°C .

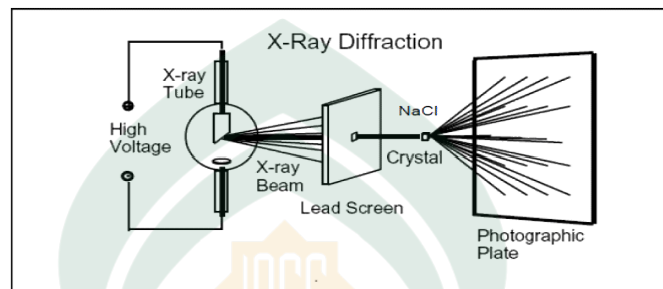
Sistem panas bumi seringkali juga diklasifikasikan berdasarkan entalpi fluida yaitu sistem entalpi rendah, sedang dan tinggi. Kriteria yang digunakan sebagai dasar klasifikasi pada kenyataannya tidak berdasarkan pada harga entalphi, akan tetapi berdasarkan pada temperatur mengingat entalphi adalah fungsi dari temperatur.

2.6. Difraksi Sinar-X

Difraksi sinar-X merupakan metode analisa yang memanfaatkan interaksi antara sinar-X dengan atom yang tersusun dalam sebuah sistem kristal. Untuk dapat memahami prinsip dari difraksi sinar-X dalam analisa kualitatif maupun kuantitatif (Agus, 2012: 52).

Difraksi adalah suatu karakteristik umum dari seluruh gelombang dan dapat didefinisikan sebagai modifikasi dari sinar atau gelombang lainnya yang berinteraktif dengan suatu objek. Difraksi sinar-X dapat dimanfaatkan untuk meneliti struktur kristal, dalam hal ini berkas-berkas sinar-X dipantulkan oleh bidang-bidang kristal sehingga membentuk pola-pola difraksi (Nukman, 2010).

Analisa *XRD* merupakan contoh analisa yang digunakan untuk mengidentifikasi keberadaan suatu senyawa dengan mengamati pola pembiasan cahaya sebagai akibat dari berkas cahaya yang dibiaskan oleh material yang memiliki susunan atom pada kisi kristalnya (Agus, 2012: 52).



Gambar 2.6 *X-Ray Diffraction(XRD)*

Secara sederhana, prinsip kerja dari *XRD* dapat dijelaskan sebagai berikut. Setiap senyawa terdiri dari susunan atom-atom yang membentuk bidang tertentu. Jika sebuah bidang memiliki bentuk yang tertentu, maka partikel cahaya (*foton*) yang datang dengan sudut tertentu hanya akan menghasilkan pola pantulan maupun pembiasan yang khas. Dengan kata lain, tidak mungkin foton yang datang dengan sudut tertentu pada sebuah bidang dengan bentuk tertentu akan menghasilkan pola pantulan ataupun pembiasan yang bermacam-macam. Sebagai gambaran, bayangan sebuah objek akan membentuk pola yang sama seandainya cahaya berasal dari sudut datang yang sama. Kekhasan pola difraksi yang tercipta inilah yang dijadikan landasan dalam analisa kualitatif untuk membedakan suatu senyawa dengan senyawa yang lain menggunakan instrumen *XRD*. Pola unik yang terbentuk untuk setiap difraksi cahaya pada suatu material seperti halnya fingerprint (sidik jari) yang dapat digunakan untuk mengidentifikasi senyawa yang berbeda (Agus, 2012: 52).

2.7. Struktur Kristal

2.7.1. Kristal

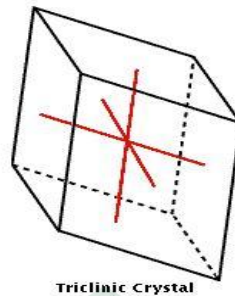
Kristal merupakan susunan atom-atom atau kumpulan atom yang teratur dan berulang dalam ruang tiga dimensi. Keteraturan susunan tersebut disebabkan oleh kondisi geometris yang dipengaruhi oleh ikatan atom yang memiliki arah. (Agus, 2012: 47)

2.7.2 Kisi Ruang Bravais dan Susunan Atom pada Kristal

Kisi ruang kristal (*space lattice*) didefinisikan sebagai susunan titik dalam ruang tiga dimensi yang memiliki lingkungan identik antara satu dengan lainnya. Titik dengan lingkungan yang serupa itu disebut simpul kisi (*lattice points*). Kesatuan yang berulang di dalam kisi ruang disebut sel unit (*unit cell*) struktur kristal. Terdapat enam buah variabel pada sebuah sel unit, yaitu panjang dari unit sel yang direpresentasikan oleh tiga vektor (a , b , dan c) dan tiga buah sudut yang terletak diantara dua vektor (α , β and γ), dimana: α adalah sudut antara b dan c ; β adalah sudut antara c dan a ; γ adalah sudut antara a dan b . Untuk semua jenis kristal, terdapat tujuh buah kemungkinan susunan sel unit. Ketujuh sel unit tersebut dinamakan sel unit *bravais*, yang terdiri dari:

1. Sistem *triclinic*

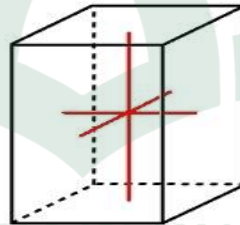
Sistem ini mempunyai tiga sumbu simetri yang satu dengan lainnya tidak saling tegak lurus. Demikian juga panjang masing-masing sumbunya tidak sama yaitu $a \neq b \neq c$, dan juga memiliki sudut kristalografi $\alpha \neq \beta \neq \gamma \neq 90^\circ$. Hal ini berarti bahwa pada sistem ini sudut α , β dan γ tidak saling tegak lurus satu dan yang lainnya.



Gambar 2.7 Sistem *Triclinic*

2. Sistem *monoclinic*

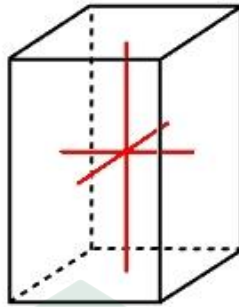
Sistem ini juga memiliki tiga sumbu, ketiga sumbu tersebut mempunyai panjang yang tidak sama yaitu sumbu b yang tidak sama dengan c , namun sumbu a tegak lurus terhadap sumbu b . Dengan rasio perbandingan sumbu $a = b \neq c$. Sudut kristalografi yaitu $\alpha = \beta = 90^\circ \neq \gamma$.



Gambar 2.8 Sistem *Monoclinic*

3. Sistem *orthorhombic*

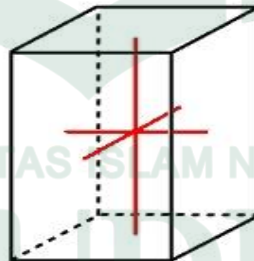
Sistem ini disebut juga sistem Rhombis dan mempunyai tiga sumbu simetri kristal yang saling tegak lurus satu dengan yang lainnya. Ketiga sumbu tersebut mempunyai panjang yang berbeda. Pada kondisi sebenarnya, sistem kristal Orthorhombik memiliki perbandingan sumbu $a \neq b \neq c$. Dan juga memiliki sudut kristalografi $\alpha = \beta = \gamma = 90^\circ$. Hal ini berarti bahwa, pada sistem ini ketiga sudutnya saling tegak lurus (90°).



Gambar 2.9 Sistem *orthorhombic*

4. Sistem *tetragonal*

Sama dengan sistem kubik, sistem kristal ini mempunyai tiga sumbu kristal masing-masing saling tegak lurus. Sumbu a dan b mempunyai satuan panjang sama sedangkan sumbu c berlainan, dapat lebih pendek atau lebih panjang. Tapi umumnya lebih panjang. Pada kondisi sebenarnya perbandingan sumbu $a = b \neq c$. Dengan sudut kristalografi $\alpha = \beta = \gamma = 90^\circ$.

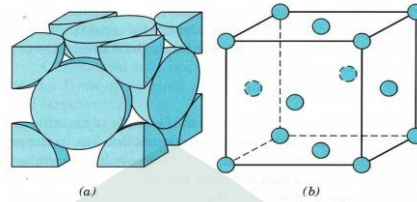


Gambar 2.10 Sistem *tetragonal*

5. Sistem *cubic* (kubus)

Sistem ini merupakan suatu sistem kristal kubus atau kubik, dengan jumlah sumbu kristalnya ada tiga dan saling tegak lurus satu dengan yang lainnya. yaitu pada kondisi sebenarnya sistem kristal ini memiliki rasio perbandingan sumbu $a = b = c$. dengan sudut kristalografi $\alpha = \beta = \gamma = 90^\circ$. Hal ini berarti bahwa

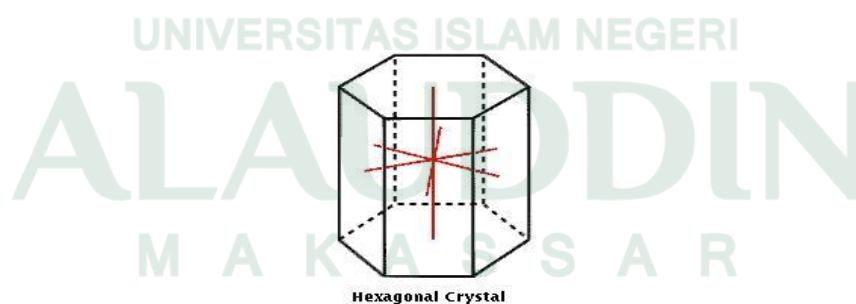
pada sistem ini semua sudut kristalnya (α , β , dan γ) tegak lurus satu sama lain membentuk sudut 90° .



Gambar 2.11 Sistem *cubic*

6. Sistem *hexagonal*

Sistem ini mempunyai 3 sumbu kristal, dimana sumbu a dan b memiliki panjang yang sama. Sedangkan panjang sumbu c berbeda. Dapat lebih panjang atau lebih pendek (umumnya lebih panjang). Pada kondisi sebenarnya, sistem kristal *hexagonal* memiliki rasio perbandingan sumbu $a = b \neq c$. Dan juga memiliki sudut kristalografi $\alpha = \beta = 90^\circ : \gamma = 120^\circ$. Hal ini berarti bahwa, pada sistem ini sudut α dan β saling tegak lurus dan membentuk sudut 120° terhadap sumbu γ .



Gambar 2.12 Sistem *hexagonal*

7. Sistem *rhombohedral*

Trigonal memiliki rasio perbandingan sumbu $a = b \neq c$, yang artinya panjang sumbu a dan b sama, tapi tidak sama dengan sumbu c . Dan juga memiliki

sudut kristalografi $\alpha = \beta = \gamma \neq 90^\circ > 120^\circ$. Hal ini berarti bahwa, pada sistem ini sudut α dan β saling tegak lurus dan membentuk sudut 120° terhadap sumbu γ . Sama dengan sistem kubik, sistem kristal ini mempunyai tiga sumbu kristal masing - masing saling tegak lurus. Sumbu a dan b mempunyai satuan panjang sama sedangkan sumbu c berlainan, dapat lebih pendek atau lebih panjang. Tapi umumnya lebih panjang. Pada kondisi sebenarnya perbandingan sumbu $a = b \neq c$. Dengan sudut kristalografi $\alpha = \beta = \gamma = 90^\circ$ (Kittel, 1991).

2.7.3. Bidang Kristal

Bidang kristal merupakan bidang yang terbentuk dari susunan atom yang berulang dalam sebuah sistem kristal. Jarak yang terdapat antara bidang yang saling berdekatan disebut dengan jarak antar bidang atau spacing (d). Jarak antar bidang merupakan hal yang penting untuk diketahui ketika melakukan analisa struktur kristal, diantaranya untuk mengetahui dimensi atau ukuran dari kristal yang terbentuk. Cara yang dapat dilakukan untuk menghitung besarnya jarak antar bidang (d-spacing) adalah dengan menentukan nilai “*Index Miller*” kemudian nilai yang diperoleh dari hasil indeks tersebut digunakan dalam rumus untuk masing-masing sistem kristal (*kubus, tetrahedral, hexagonal, dll*). Indeks miller menunjukkan posisi atom yang membentuk bidang pada sebuah sistem kristal (Agus, 2012: 50)

tempat dilereng timur terdapat topografi kras, pencerminan adanya batu gamping. Diantara topografi kras di lereng barat terdapat daerah pebukitan yang dibentuk oleh batuan *pra-tercier*. Pegunungan ini di barat daya dibatasi oleh dataran Pangkajene-Maros yang luas sebagai lanjutan dari dataran diselatanya (Sukamto, 1982).

Pegunungan yang di timur relative lebih sempit dan lebih rendah, dengan puncaknya rata-rata setinggi 700 m, dan yang tertinggi 787 m. Juga pegunungan ini sebagian besar berbatuan gunung api. Bagian selatannya selebar 20 km dan lebih tinggi, tetapi ke utara menyempit dan merendah, dan akhirnya menunjang ke bawah batas antara Lembah Walanae dan dataran Bone. Bagian utara pegunungan ini bertopografi kras yang permukaannya sebagian berkerucut. Batasnya di timur laut adalah dataran Bone yang sangat luas, yang menempati hampir sepertiga bagian timur (Sukamto, 1982).

Lembah Walanae yang memisahkan kedua pegunungan tersebut di bagian utara selebar 35 Km, tetapi di bagian selatan hanya 10 km. Di tengah terdapat Sungai Walanae yang mengalir ke utara. Bagian selatan berupa perbukitan rendah dan dibagian utara terdapat dataran aluvium yang sangat luas mengelilingi danau Tempe (Sukamto, 1982).

2.7.2 Stratigrafi Daerah Penelitian

Pada peta geologi lembar Pangkajene dan Watampone bagian Barat Sulawesi, dapat diketahui bahwa batuan tertua adalah batuan ultrabasa, batuan malihan dan kompleks batuan melange. Batuan ultrabasa yang terdiri dari batuan peridotit, batuan malihan yang sebagian besar adalah batuan sekis dan sediki

geneis, sementara kompleks batuan melange terdiri dari *grewake*, *breksi*, *konglomerat*, *batu pasir: serpih kelabu*, *serpih merah*, *batu sabak*, *sekis*, *ultramafik*, *basal*, *diorit* dan lempung yang terbentuk pada zaman *Triassic* sampai *Jurassic* kemudian ditindih oleh formasi Balang baru dan formasi Maranda. Formasi Balang baru terdiri dari batu pasir berselingan dengan batu lanau, batu lempung dan serpih bersisipan *konglomerat*, batu pasir *konglomerat*, tufa dan lava, sementara formasi Maranda terdiri dari batu pasir, batu lanau, *arkosa*, *grewake*, serpih dan konglomerat yang bersisipan dengan batu pasir dan batu lanau gampingan, tufa, lava dan breksi yang tersusun oleh basal, andesit dan trakit (Sukamto, 1982).

Formasi Balang baru dan formasi Maranda ditindih oleh batuan gunung api. Terpropilitkan yang terdiri dari breksi, lava dan tufa yang berumur tersier paleosen. Kemudian di bagian barat ditindih secara selaras oleh formasi Malawa yang terdiri dari batu pasir, konglomerat, batu lempung dan batu bara yang berumur *tersier eosin*. Formasi Malawa memiliki hubungan yang selaras dengan formasi Salo Kalumpang dan ditindih oleh formasi Tonasa yang terbentuk zaman tersier eosin sampai miosen awal. Formasi Salo Kalumpang memiliki hubungan yang saling menjemari dengan batuan gunung api Soppeng. Batuan gunung api Soppeng memiliki hubungan yang sejajar dengan batuan gunung api Kalamiseng dan ditindih secara selaras oleh batuan gunung api formasi Camba dan terutama *Tefrit Leusit* (Sukamto, 1982).

Formasi Tonasa yang terdiri dari batu gamping ditidih secara selaras oleh batu gamping formasi Camba dan formasi Camba yang berumur miosen akhir.

formasi Camba memiliki hubungan yang sejajar dengan anggota taciapi formasi Walanae dan formasi Walanae, sedangkan anggota taciapi formasi Walanae menjemari dengan formasi Walanae yang terbentuk pada zaman tersier miosen akhir sampai pliosen. Terutama *Tefrit Leusit* ditindih secara selaras oleh batuan gunung api Pare-Pare dan terutama lava kemudian ditutupi oleh batuan gunung api Baturape-Cindoko. Gunungapi Baturape-Cindoko memiliki hubungan yang tidak selaras dengan endapan undak yang terdiri dari kerikil, pasir dan lempung. Endapan Undak sejajar dengan Terumbu Koral dan ditindih secara selaras oleh endapan aluvium danau dan pantai yang berumur kuartar plistosen sampai holosen (Sukamto, 1982).

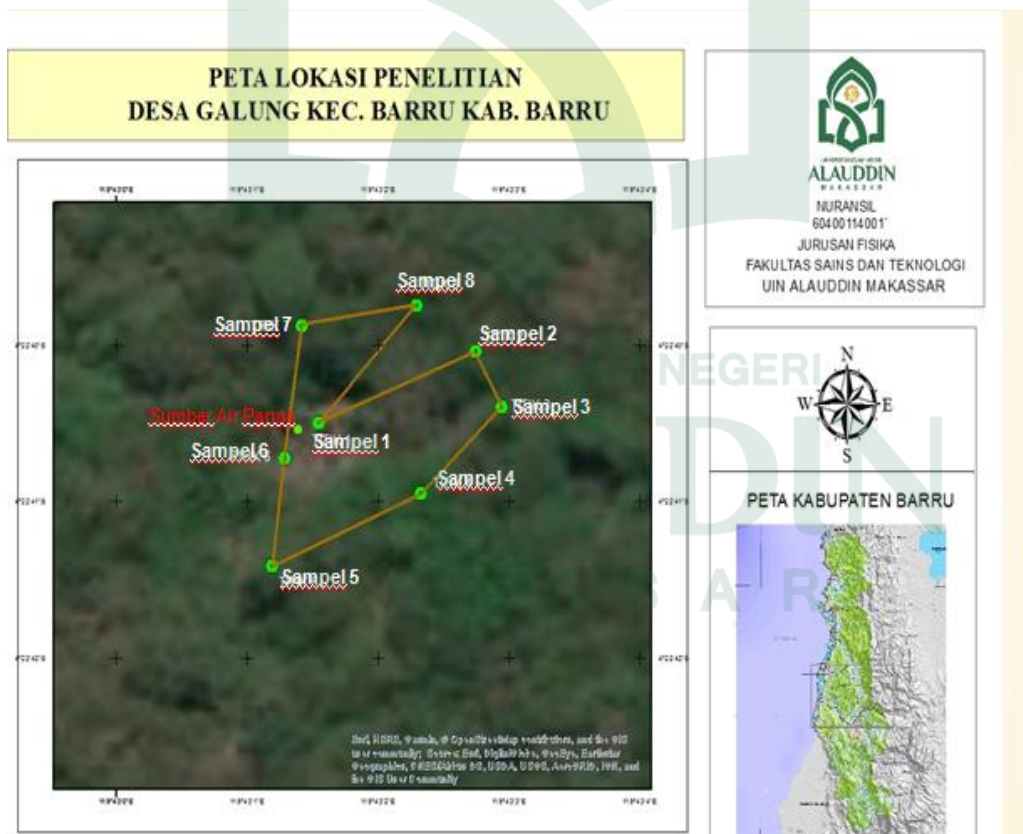
Dibagian timur terdapat batuan terobosan atau intrusif yang berupa *Granodiorit (Gn)*, *Basal (B)*, *Trakit (T)* dan *Diorit (D)* yang terbentuk sekitar zaman tersier miosen awal sampai miosen akhir. Terobosan berupa sil, stok dan retas, kebanyakan bertekstur porfir kasar dengan fenokris (Sukamto, 1982).

BAB III

METODE PENELITIAN

3.1 Waktu dan Tempat Penelitian

Penelitian ini dilaksanakan pada bulan Maret sampai Juni 2018, yang bertempat didesa Galung, kecamatan Barru, kabupaten Barru. Sementara untuk pengujian sampel dilakukan di Laboratorium XRD Fakultas Matematika dan Ilmu Pengetahuan Alam, sedangkan proses pengerusan dan pengayakan di lakukan di Laboratorium Kimia Dasar dan kimia anorganik Fakultas Sains dan Teknologi UIN Alauddin Makassar.



3.1 Peta Lokasi Sampel Penelitian (Dokumentasi Penelitian)

3.2. Alat dan Bahan Penelitian

Adapun alat dan bahan yang digunakan dalam penelitian ini adalah:

1. XRD (*X-Ray Diffraction*)
2. GPS (*Global Positioning System*)
3. Mortar
4. Ayakan/ saringan
5. Roll meter
6. Timbangan digital
7. Termometer
8. Label
9. Wadah tempat sampel
10. Sampel Batuan
11. Kamera

3.3 Prosedur Penelitian

3.3.1 Tahap Persiapan

Studi literatur, yaitu menggunakan bahan pustaka sebagai referensi penunjang untuk memperoleh data tentang geologi daerah survei dan menentukan tempat uji laboratorium penelitian.

3.3.2 Tahap Pengambilan Data

1. Tahap pengambilan sampel

Langkah-Langkah dalam pengambilan sampel di lapangan adalah:

- a. Menentukan titik sumber air panas menggunakan GPS, setelah itu menentukan titik pengambilan sampel dengan kedalaman 50 cm. Menggali

tanah dengan sampel yang berbeda dengan menggunakan linggis dan cangkul.

- b. Mencatat sampel 1 - 8 kordinat pengambilan sampel berdasarkan GPS dengan jarak antara sampel yaitu 25 cm.
 - c. Mengambil sampel kemudian menyimpannya ke dalam kantong sampel
 - d. Pembersihan sampel dengan air kemudian di keringkan sampai benar – benar kering
2. Tahap pengukuran suhu lingkungan
- a. Mengukur suhu lingkungan dengan pengukuran menggunakan termometer dengan melihat skala yang terbaca pada termometer antara suhu galian, suhu lingkungan, suhu air panas dan suhu air dingin.
 - b. Mengukur suhu lingkungan pada titik sampel pengukuran bersamaan dengan mengukur suhu air di sekitar titik pengukuran.

Tabel 3.1 Pengukuran suhu lingkungan Sekitar

| Suhu | 1 | 2 | 3 | 4 | 5 | 6 | 7 | 8 |
|-----------------|-------|-------|-------|-------|-------|-------|-------|-------|
| Suhu Galian | | | | | | | | |
| Suhu Alam | | | | | | | | |
| Suhu Air Panas | | | | | | | | |
| Suhu Air Dingin | | | | | | | | |

3. Preparasi Sampel

Tahap dari preparasi sempel adalah sebagai berikut:

- a. Menyiapkan sampel sebelum mengaluskan dengan mortar terlebih dahulu di jadikan serbuk berukuran sedang menggunakan palu yang telah di lapisai kain
- b. Menghaluskan kembali sampel dengan menggunakan mortar sampai sampel benar–benar halus.
- c. Kemudian mengayak sampel dengan menggunakan ayakan, dengan menggunakan gelombang amplitude 60 A° dengan ukuran ayakan 170 mesh.
- d. Selanjutnya hasil dari proses pengayakan tersebut menempatkan pada wadah yang besar yaitu untuk memisahkan ukuran butir (partikel yang berukuran besar dan kecil). Tujuan dari pemisahan ukuran butir ini adalah untuk mengetahui interval setiap ukuran butir dari sampel hasil pengayakan.
- e. Selanjutnya sampel yang telah berbentuk bubuk disimpan ke dalam wadah sampel.

4. Karakteristik Menggunakan *X-Ray Diffraction (XRD)*

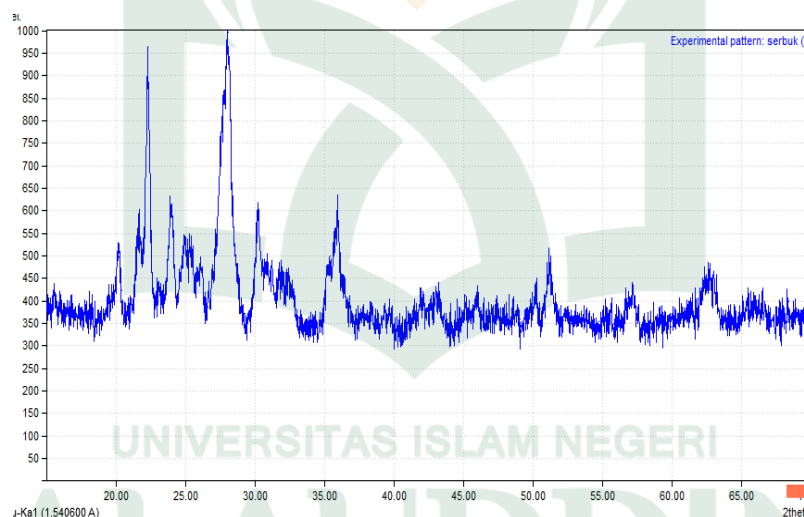
- a. Mengaktifkan stabilizer
- b. Menghidupkan XRD 7000 SHIMADZU dengan cara mengaktifkan atau menekan tombol “UP” selama kurang dari 5 detik hingga terdengar suara bip.
- c. Menghidupkan computer
- d. Selanjutnya *double* klik XRD pada layar computer.
- e. Mengklik display dan setup.
- f. Memberi nama file dan mengatur tanggal file yang akan disimpan.
- g. Memasukkan sampel ke dalam XRD dengan menggunakan plat aluminium.
- h. Mengklik tombol “strat”

- i. Proses analisis kandungan mineral oleh alat XRD akan berlangsung secara otomatis
- j. Selanjutnya menyimpan file/data hasil XRD pada computer.
- k. Mengulangi langkah (e) sampai (j) diatas untuk sampel yang lain.

5. Tahap Analisis Data

Langkah-langkah yang dilakukan pada tahap analisis data yakni sebagai berikut:

- a. Menjalankan Program *Match*.
- b. Mengimpor file pola XRD.

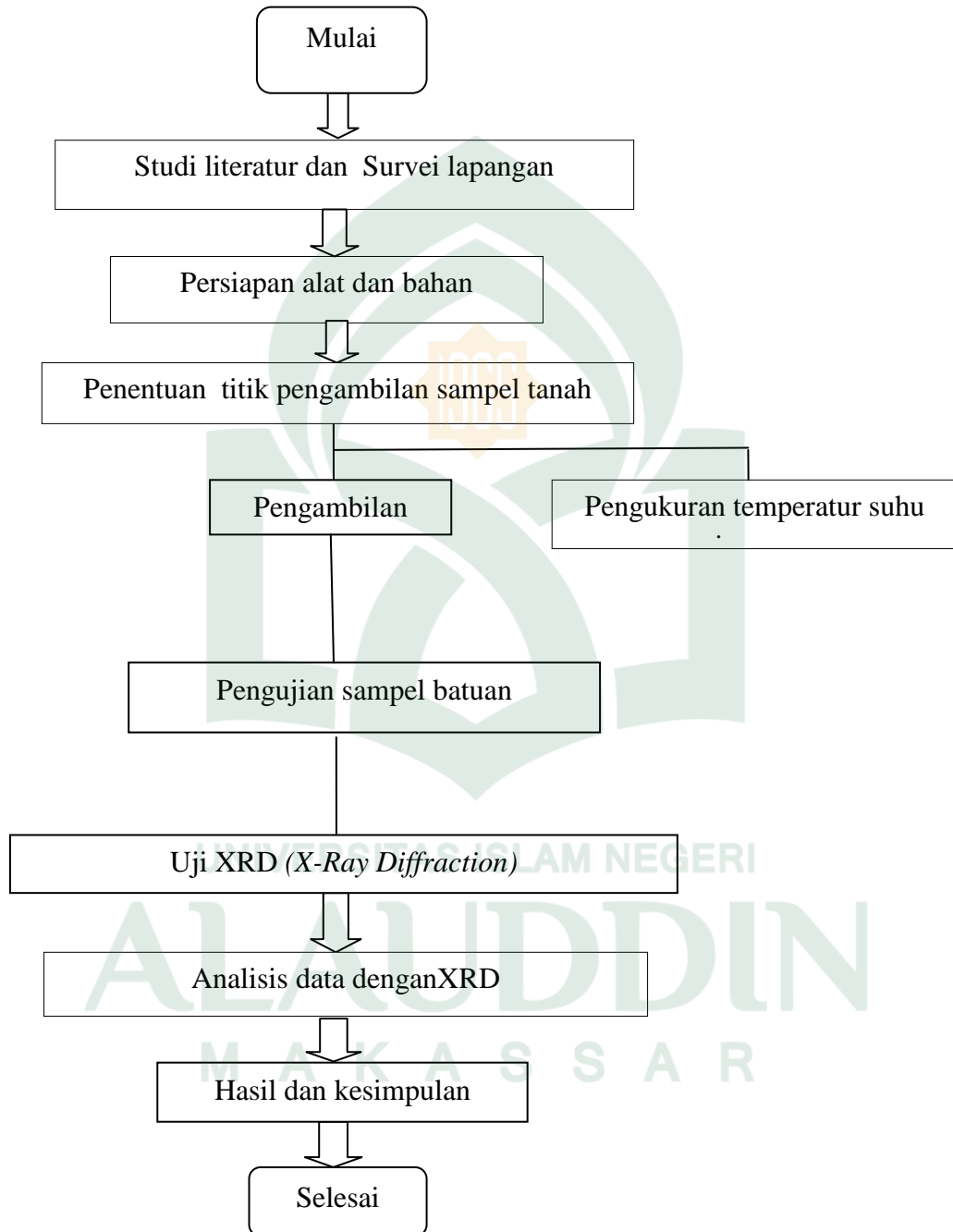


Gambar 3.2 contoh grafik difraktogram

- c. Menentukan puncak-puncak yang akan dijadikan acuan untuk pencocokan pola XRD sampel dengan pola XRD database.
- d. Menentukan kandungan unsur yang terdapat pada sampel.
- e. Menentukan pola XRD database yang cocok dengan pola XRD sampel
(*Mencocokkan*)

III.3. Bagan Alir Penelitian

Gambar 3.3 Bagan Alir Penelitian



BAB IV

HASIL PENELITIAN DAN PEMBAHASAN

4.1 Hasil Penelitian

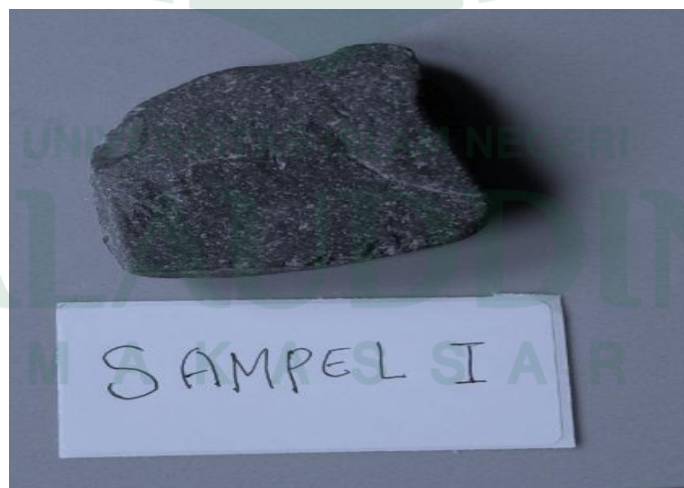
Penelitian ini dilakukan di sekitar sumber air panas Kalompie desa Galung, kecamatan Barru, kabupaten Barru. Pengambilan sampel dilakukan pada delapan titik sampel, untuk setiap titik dilakukan pengambilan sampel dengan metode sumur uji yang masing–masing terdiri satu kedalaman.

Pada titik sampel pertama diambil perantara antara aliran air panas dengan aliran sungai biasa. Titik sampel kedua diambil dengan jarak dua puluh lima meter dari sampel pertama kemudian pada sampel ketiga dengan jarak yang sama dari sampel kedua dan berada dipinggir sungai. Titik sampel keempat dan kelima diambil disekitaran aliran sungai dengan jarak sama yaitu dua puluh lima meter. Kemudian sampel enam diambil didalam aliran air panas dan sampel tujuh dan delapan diambil diatas bungkit yang merupakan lahan masyarakat. Disekitar sumber air panas memiliki data hasil yang homogen. Dengan suhu sebagai berikut:

Tabel 4.1 Suhu lingkungan Sekitar Sampel

| Suhu | 1 (°C) | 2 (°C) | 3 (°C) | 4 (°C) | 5 (°C) | 6 (°C) | 7 (°C) | 8 (°C) |
|-----------------|-----------|-----------|-----------|-----------|-----------|-----------|-----------|-----------|
| Suhu Galian | 26,6 | 26,7 | 26,3 | 26,5 | 27,5 | 26,5 | 28,0 | 27,2 |
| Suhu Alam | 27 | 26,7 | 27 | 26,5 | 26,2 | 26,2 | 26,7 | 26,2 |
| Suhu Air Panas | 50 | 49 | 48 | 50 | 48 | 47 | 49 | 47 |
| Suhu Air Dingin | 26 | 24,5 | 25,5 | 24 | 24,5 | 25 | 25,2 | 24 |

Deskripsi sampel 1 batuan di desa Galung kecamatan Barru kabupaten Barru dengan kordinat $4^{\circ}22'40,04''$ LS- $119^{\circ}43'2,7''$ BT, warna segar hitam ke abu-abuan, warna lapuk abu-abu gelap dengan tekstur keras kedalaman galian 50 cm dan merupakan sampel yang paling dekat dengan sumber air panas. Sampel 2 diambil dengan jarak 25 meter dari sampel pertama dengan kedalaman 50 cm. Sampel ketiga di ambil pada kedalaman 50 cm dengan galian yang berair. Sampel keempat diambil disekitar jalan setapak dengan kedalaman 50 cm. Kemudian sampel lima di ambil berjarak 25 cm dari sampel empat dengan kedalaman 50 cm. Kemudian sampel enam yang merupakan berada dialiran air panas dengan kedalaman 10 cm dikarenakan kondisi lingkungan sehingga hanya dapat mengambil sampel pada kedalaman 10 cm. Sampel tujuh merupakan sampel diatas tebing sejajar dengan sumber air panas dengan kedalaman yaitu 50 cm. Kemudian sampel terakhir juga diambil di atas tebing dengan kedalaman 50 cm.



Gambar 4.1 Sampel Batuan 1

Sampel dua sampai sampel delapan dapat dilihat pada lampiran.

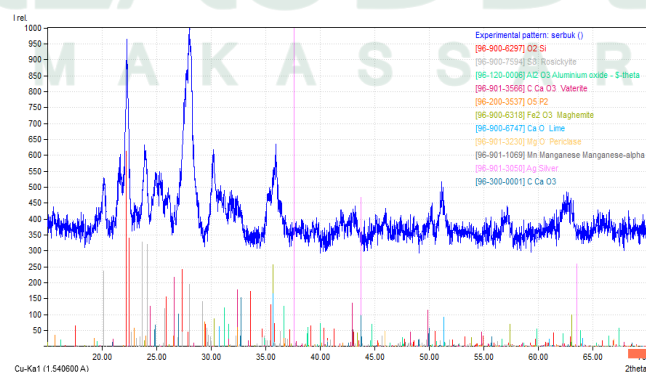
4.1.1 Hasil Struktur Kristal Batuan di Sekitar Sumber Air Panas Desa

Galung Kecamatan Barru

Berdasarkan hasil analisis sampel dari ke delapan sampel di dusun Kalompie desa Galung kecamatan Barru kabupaten Barru maka dihasilkan struktur kristal batuan dengan X-Ray Diffraction (XRD) seperti pada tabel berikut:

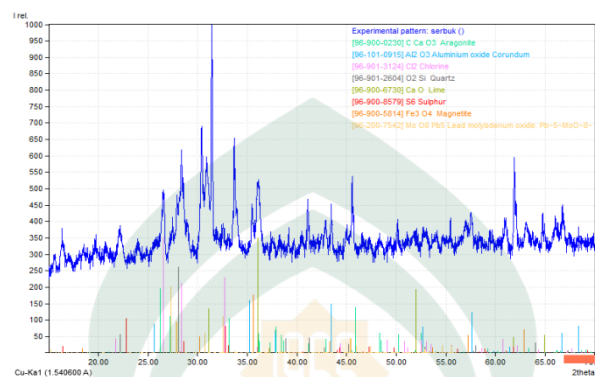
Struktur kekrystalan sampel 1 dengan koordinat $4^{\circ}22'40,04''$ LS- $119^{\circ}43'2,7''$ BT pada gambar dibawah ini dari hasil analisis tabel disimpulkan bahwa sampel satu dengan puncak tertinggi yaitu *quartz* dengan nama senyawa *silicon oksida* (SiO_2) memiliki struktur kristal adalah *monoclinic*. Sistem *monoklinik* memiliki sifat sumbu $a = b \neq c$ artinya ketiga sumbu tidak sama dimana a berbanding lurus b dan b tidak sama dengan c. Sudut kristalografi yaitu $\alpha = \gamma = 90^{\circ}$.

Pada sampel satu dapat dilihat dari grafik difratogram bahwa puncak tertinggi pada bagian permukaan untuk sampel pertama ditemukan adanya kandungan batuan sedimen yaitu *silicon oksida* (SiO_2) sebanyak 30,7 % dengan kandungan mineral lainnya adalah *sulfur* (S_8) sebesar 28,7 %, *aluminium oksida* (Al_2O_3) dengan persentase 18,9 % dan *besi oksida* (Fe_2O_3) dengan persentase sebesar 4,0 %.



Gambar 4.2. Hubungan antara intensitas dan sudut 2θ pada sampel 1

Selanjutnya untuk sampel yang berada pada sampel 2 juga dilakukan perlakuan yang sama. Seperti halnya pada sampel yang kedua sehingga diperoleh grafik 4.3.

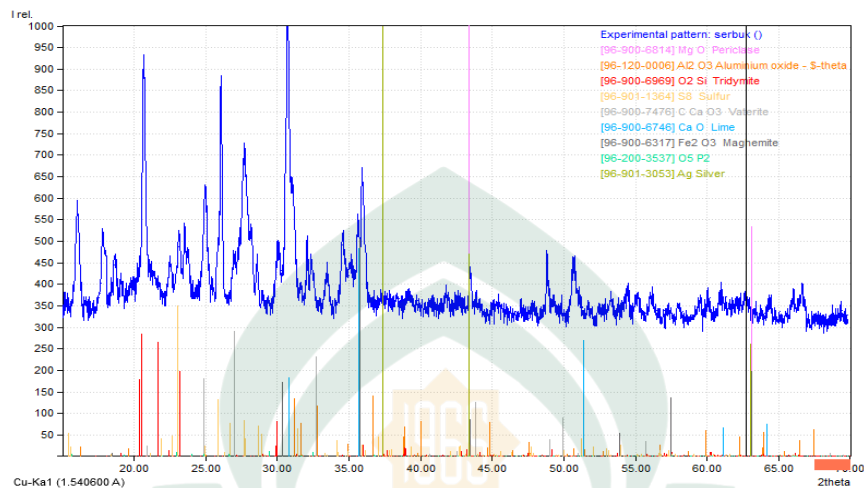


Gambar 4.3. Hubungan antara intensitas dan sudut 2θ pada sampel 2

Dari hasil gambar grafik 4.3 dengan kordinat $4^{\circ}22'40,5''$ LS- $119^{\circ}43'1,54''$ BT memiliki puncak tertinggi yaitu kalium karbon oksida ($CCaO_3$) dengan stuktur kristal pada peak adalah *orthorhombic*. Dimana sistem *orthorhombic* memiliki perbandingan sumbu $a \neq b \neq c$ yang artinya tidak sama dengan dan juga memiliki sudut kristalografi $\alpha = \beta = \gamma = 90^{\circ}$. Hal ini berarti bahwa, pada sistem ini ketiga sudutnya saling tegak lurus (90°). Sistem kristal ini memiliki rasio perbandingan sumbu $a = b = c$. dengan sudut kristalografi $\alpha = \beta = \gamma = 90^{\circ}$. Hal ini berarti bahwa pada sistem ini semua sudut kristalnya (α , β , dan γ) tegak lurus satu sama lain membentuk sudut 90° .

Pada sampel dua dapat dilihat dari grafik difraktogram bahwa puncak tertinggi pada bagian permukaan untuk sampel dua ditemukan adanya kandungan batuan sedimen yaitu kalium karbon oksida ($CCaO_3$) sebanyak 26,9 % dengan kandungan mineral lainnya adalah aluminium oksida (Al_2O_3) sebesar 24,5 %,

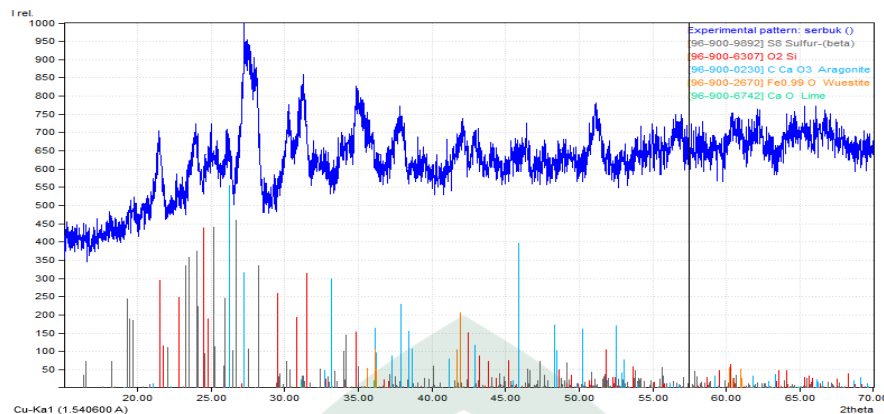
chlorine (Cl_2) dengan persentase 15,4 % dan *karbon oksida* (CaO) dengan persentase sebesar 11,5 %.



Gambar 4.4 Hubungan antara intensitas dan sudut 2θ pada sampel 3

Dari hasil grafik difraktogram disimpulkan sampel 3 dengan kordinat $4^{\circ}22'40,39''$ LS- $119^{\circ}43'2,940''$ BT memiliki puncak tertinggi *aluminium oksida* (Al_2O_3) dengan persentase 19,0% dengan stuktur kristal pada peak adalah *monoclinic*. Sistem *monoklinik* memiliki sifat sumbu $a = b \neq c$ artinya ketiga sumbu tidak sama dimana a berbanding lurus b dan b tidak sama dengan c. Sudut kristalografi yaitu $\alpha = \gamma = 90^{\circ}$.

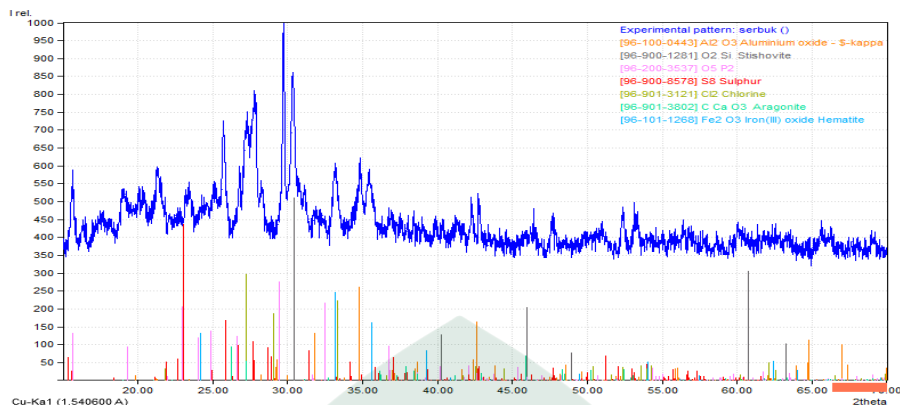
Pada sampel tiga dapat dilihat dari grafik difraktogram bahwa puncak tertinggi pada bagian permukaan untuk sampel tiga ditemukan adanya kandungan batuan sedimen yaitu *aluminium oksida* (Al_2O_3) sebanyak 19 % dengan kandungan mineral lainnya adalah *silicon oksida* (SiO_2) sebesar 13,8 %, *kalium karbon oksida* ($CCaO_3$) dengan persentase 12,9 % dan *karbon oksida* (CaO) dengan persentase sebesar 7,5 %.



Gambar 4.5. Hubungan antara intensitas dan sudut 2θ pada sampel 4

Dari hasil analisis tabel disimpulkan sampel 4 dengan kordinat $4^{\circ}22'40,954''$ LS- $119^{\circ}43'2,326''$ BT memiliki puncak tertinggi yaitu *sulfur* (S_8) dengan stuktur kristal pada peak adalah *monoclinic*. Sistem *monoklinik* memiliki sifat sumbu $a = b \neq c$ artinya ketiga sumbu tidak sama dimana a berbanding lurus b dan b tidak sama dengan c. Sudut kristalografi yaitu $\alpha = \gamma = 90^{\circ}$.

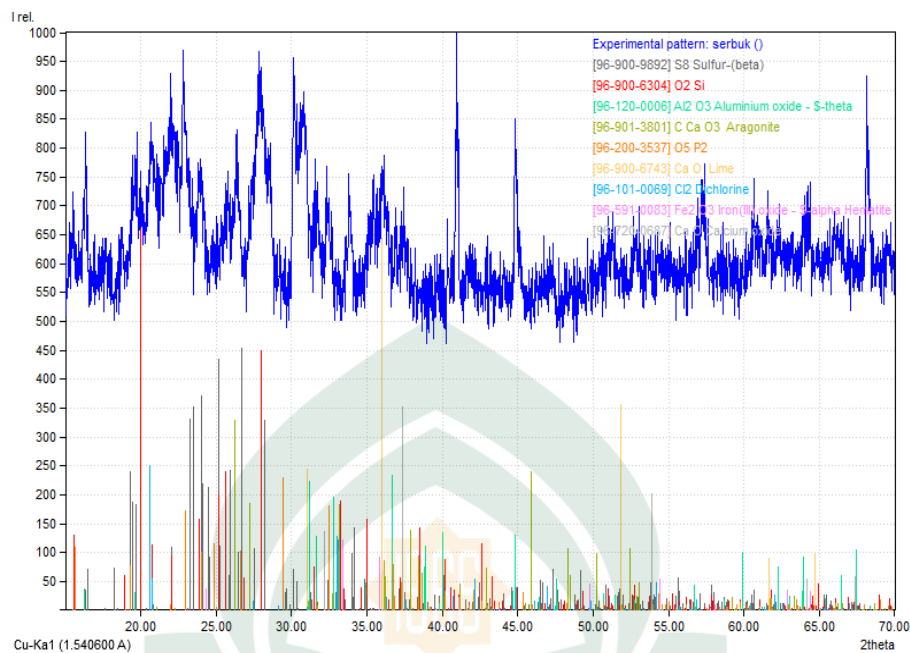
Pada sampel empat dapat dilihat dari grafik difraktogram bahwa puncak tertinggi pada bagian permukaan untuk sampel empat ditemukan adanya kandungan *sulfur* (S_8) merupakan salah satu kandungan mineral yang terdapat di sekitar sumber air panas. Kemudian kandungan yang lainnya adalah *silicon oksida* (SiO_2) sebesar 46,9 %, *kalium karbon oksida* ($CCaO_3$) dengan persentase 24,6 % dan *besi oksida* ($Fe0,990$) dengan persentase sebesar 2,7 %.



Gambar 4.6. Hubungan antara intensitas dan sudut 2θ pada sampel 5

Dari hasil grafik difraktogram disimpulkan sampel 5 memiliki kandungan tertinggi *fosfor oksida* (P_2O_5) dengan stuktur kristal pada peak adalah *orthorhombic*. Dimana sistem *orthorhombic* memiliki perbandingan sumbu $a \neq b \neq c$ yang artinya tidak sama dengan dan juga memiliki sudut kristalografi $\alpha = \beta = \gamma = 90^\circ$. Hal ini berarti bahwa, pada sistem ini ketiga sudutnya saling tegak lurus (90°).

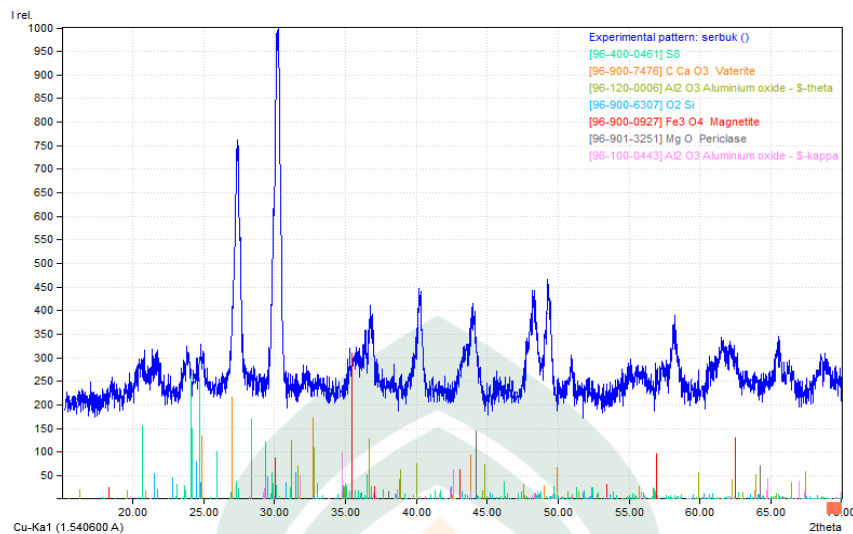
Pada sampel lima dapat dilihat dari grafik difraktogram bahwa puncak tertinggi pada bagian permukaan untuk sampel lima ditemukan adanya kandungan P_2O_5 . Kemudian kandungan yang lainnya adalah *silicon oksida* (SiO_2) sebesar 19,5 %, *sulfur* (S_8) dengan persentase 17 % dan *chlorine* (Cl_2) dengan persentase sebesar 7,7 %.



Gambar 4.7. Hubungan antara intensitas dan sudut 2θ pada sampel 6

Dari hasil gambar 4.7 disimpulkan sampel 6 memiliki puncak tertinggi dengan kandungan *sulfur* (S_8) dengan stuktur kristal pada peak adalah *monoklinik*. Sistem *monoklinik* memiliki sifat sumbu $a = b \neq c$ artinya ketiga sumbu tidak sama dimana a berbanding lurus b dan b tidak sama dengan c. Sudut kristalografi yaitu $\alpha = \gamma = 90^\circ$.

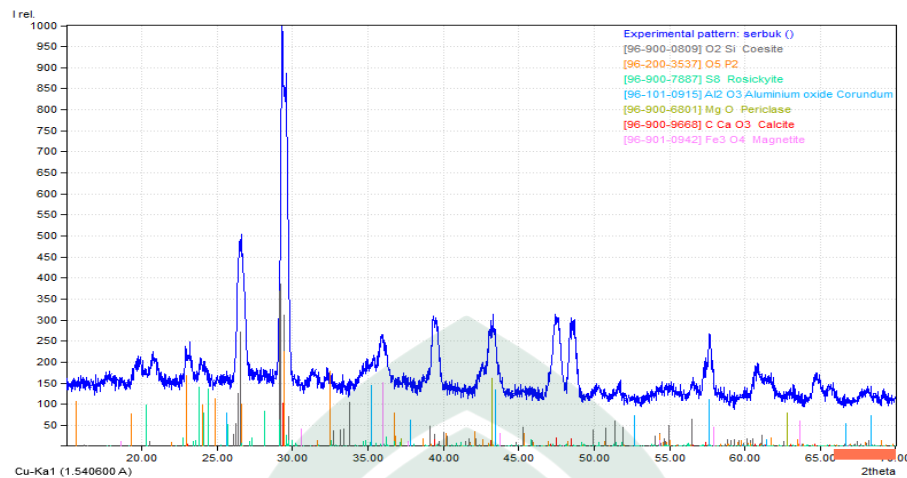
Pada sampel enam dapat dilihat dari grafik difraktogram atau gambar hubungan antara intensitas dan sudut 2θ bahwa puncak tertinggi pada bagian permukaan untuk sampel enam ditemukan adanya kandungan *sulfur* (S_8) merupakan salah satu kandungan mineral yang terdapat di sekitar sumber air panas. Kemudian kandungan yang lainnya adalah *fosfor oksida* (P_2O_5) sebesar 23,3 %, *aluminium oksida* Al_2O_3 dengan persentase 16,6 % dan ($CCaO_3$) *karbon kalium oksida* dengan persentase 11,1 % .



Gambar 4.8 Hubungan antara intensitas dan sudut 2θ pada sampel 7

Dari hasil analisis tabel disimpulkan sampel 7 dengan koordinat $4^{\circ}22'39''$ LS- $119^{\circ}43'1,4''$ BT memiliki struktur kristal pada peak adalah *monoklinik*. Sistem *monoklinik* memiliki sifat sumbu $a = b \neq c$ artinya ketiga sumbu tidak sama dimana a berbanding lurus b dan b tidak sama dengan c. Sudut kristalografi yaitu $\alpha = \gamma = 90^{\circ}$.

Pada sampel tujuh dapat dilihat dari grafik difraktogram atau gambar hubungan antara intensitas dan sudut 2θ bahwa puncak tertinggi pada bagian permukaan untuk sampel tujuh ditemukan adanya kandungan *besi oksida* (Fe_3O_4) merupakan salah satu kandungan batuan sedimen. Kemudian kandungan yang lainnya adalah *kalium karbon oksida* ($CCaO_3$) dengan persentase kandungan 22,6 %, *magnesium oksida* (MgO) dengan persentase 5,9 %, dan *sulfur* (S_8) dengan persentase yaitu 33,2 %.



Gambar 4.9. Hubungan antara intensitas dan sudut 2θ pada sampel 7

Dari gambar 4.9 disimpulkan sampel 8 dengan kordinat $4^{\circ}22'39,75''$ LS- $119^{\circ}43'2,290''$ BT memiliki puncak tertinggi adalah *silicon oksida* (SiO_2) dengan struktur kristal pada peak adalah *monoklinik*. Sistem *monoklinik* memiliki sifat sumbu $a = b \neq c$ artinya ketiga sumbu tidak sama dimana a berbanding lurus b dan b tidak sama dengan c. Sudut kristalografi yaitu $\alpha = \gamma = 90^{\circ}$.

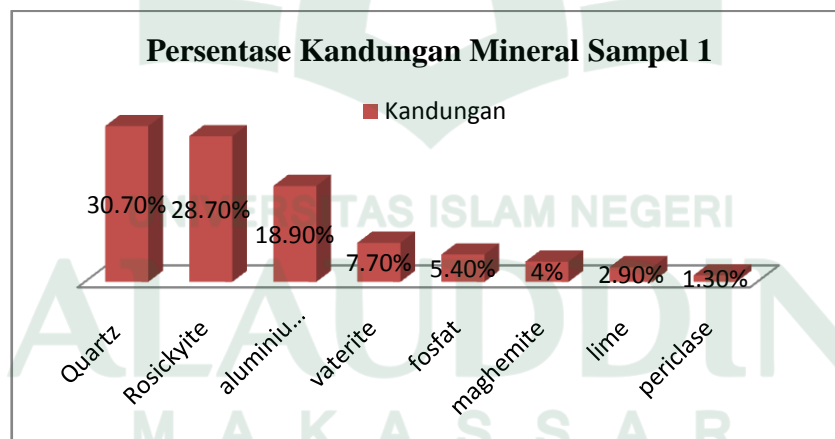
Pada sampel delapan dapat dilihat dari grafik difraktogram atau gambar hubungan antara intensitas dan sudut 2θ bahwa puncak tertinggi pada bagian permukaan untuk sampel tujuh ditemukan adanya kandungan *silicon oksida* (SiO_2) merupakan salah satu kandungan batuan sedimen dengan persentase 43,5 %. Kemudian kandungan yang lainnya adalah *fosfor oksida* (P_2O_5) dengan persentase kandungan 18,8 %, *magnesium oksida* (MgO) dengan persentase 4,9 %, dan *besi oksida* (Fe_3O_4) dengan persentase yaitu 1,9 %.

4.1.2 Hasil Analisis Kandungan Mineral Batuan Di Sekitar Sumber Air

Panas Desa Galung

Pada umumnya kandungan mineral sampel 1 bahwa komposisi nominal mineral yaitu *quartz* (SiO_2) dengan persentase 30,70 % dan *rosickyite* (S_8) memiliki persentase 28,70 %. Kandungan mineral lainnya yang dibawah persentase 20% yaitu *fosfat*, *vaterite aluminium oxide- θ* (Al_2O_3), dan mineral yang memiliki jumlah paling kecil dibawah persentase 5 % adalah *maghemite* (Fe_2O_3), *lime* (CaO), *periclase* (MgO) dan *manganesemanganese-alpha* (Mn) . Dari data tersebut maka diperoleh mineral yang dominasi yaitu *quartz* . *Quartz* adalah senyawa kimia yang terdiri dari satu bagian *silicon* dan dua bagian *oksigen* atau biasa disebut *silikon dioksida* (SiO_2).

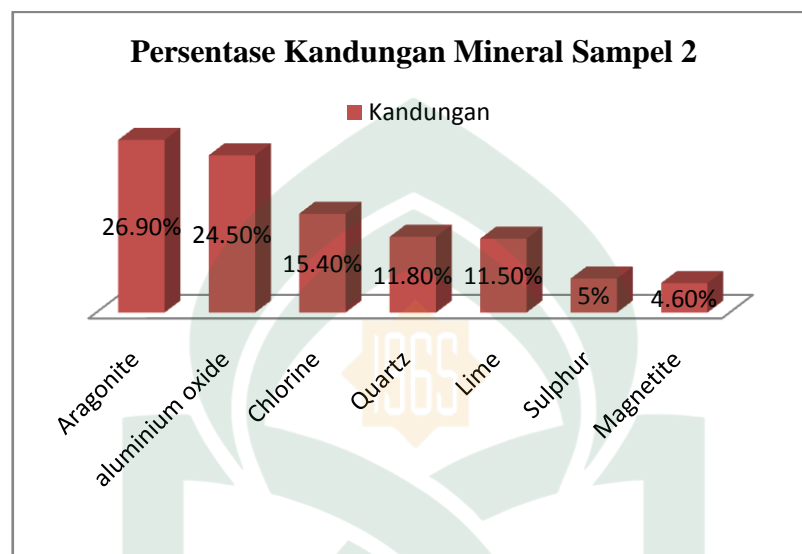
Grafik 4.1 Persentase Kandungan Mineral Sampel 1



Mineral yang memiliki persentase tertinggi SiO_2 . Berdasarkan penelitian terdahulu S. Musi (2010) tentang “*Precipitation Of Amorphous SiO_2 Particles And Their Properties* “ menjelaskan tentang *silikon oksida* atau *quartz* sebagai pengisi di dalam karet, plastik penyerap, mengeringkan bedak, substrate untuk katalisator. Biasanya, *silikon oksida* yang dipercepat dapat diproduksi dengan

pencampuran larutan mengandung air *sodium metasilicate* dan suatu asam mineral SiO_2 dipercepat pada temperature tinggi .

Grafik 4.2 Persentase Kandungan Mineral Sampel 2

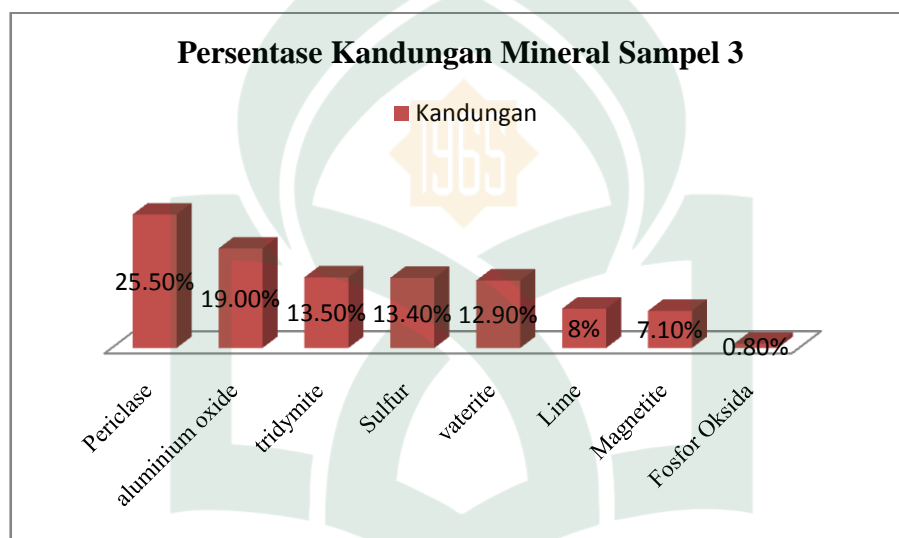


Pada umumnya kandungan mineral sampel 2 bahwa komposisi nominal mineral yaitu *aragonite* ($CCaO_3$) dengan persentase 26,90 % dan *aluminium oxide corundum* (Al_2O_3) memiliki persentase 24,50 %. Kandungan mineral lainnya yang dibawah persentase 20 % yaitu *chlorine* (Cl_2), *quartz* (SiO_2), *lime* (CaO) dengan persentase 15,40 % sampai 11,50 % kemudian *sulphur* (S_6), *maghimite* (Fe_2O_3) memiliki persentase rendah yaitu 5,30 % dan 4,60 %.

Mineral yang memiliki jumlah persentase yang tinggi adalah *aragonite* ($CCaO_3$). Sesuai dengan teori *aragonite* yaitu mineral yang kaya kalsium karbonat terbentuk pada suhu yang tinggi. Dengan kandungan *kalsium* di dalamnya adalah 40,4 %, *karbon* 12 % dan *oksigen* adalah 47,96 % dan bersifat basa. Memiliki kekuatan untuk meningkatkan energi dan kekuatan. Penelitian sebelumnya oleh Sytle M.Anta O (2009) tentang “*He Orthorhombic Structure Of*

CaCO₃, SrCO₃, PbCO₃ and BaCO₃: Linear Structural Trends” yang menjelaskan tentang *aragonite* atau *karbonat* memiliki struktur *orthorhombic* yang paling umum terjadi ketika unsurnya tidak tersusun teratur dari banyak tulang rangka hewan yang tak bertulang punggung dan diperoleh dari sedimen . Juga terjadi sebagai tahap utama di dalam batu karang metamorphic tekanan tinggi.

Grafik 4.3 Persentase Kandungan Mineral Sampel 3



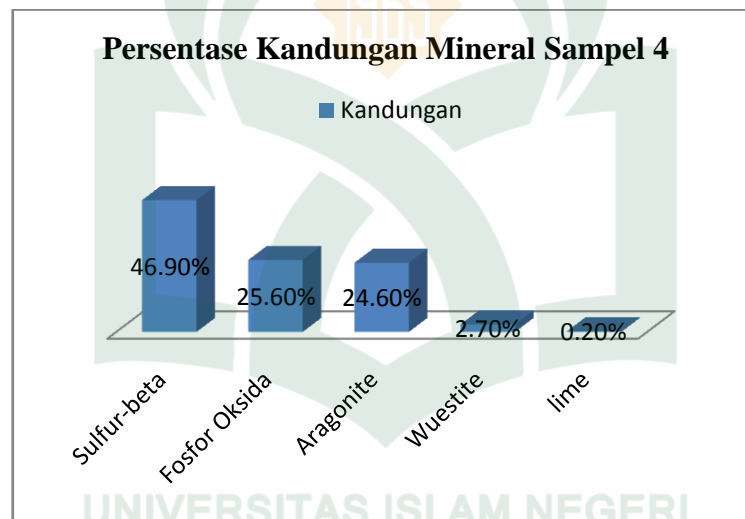
Kandungan mineral sampel 3 bahwa komposisi nominal mineral yaitu *periclase* (*MgO*) dengan persentase 25,50 % . Mineral dengan persentase diatas 10% yaitu *Aluminium oxide* - *-\$-thetat* (*Al₂O₃*), *tridymite* (*SiO₂*) , *sulfur*(*S₈*) dan *vaterite*(*CCaO₃*) . Kandungan mineral lainnya yang dibawah persentase 10% yaitu *lime* (*CaO*) dan *maghemite* (*Fe₂O₃*) dan yang memiliki persentase kandungan mineral yang lebih rendah yaitu *fosfor oksida* (*P₂O₅*) dengan persentase kandungan 0,8 %.

Pada sampel 3 mineral yang mendominasi adalah *periclase* (*MgO*). Sesuai dengan teori *MgO* memiliki manfaat untuk mengoreksi keasamann tanah agar

sesuai dengan pH yang diperlukan tanaman. Meningkatkan efektifitas dan efisiensi penyerapan zat-zat hara yang sudah ada dalam tanah.

Penelitian terdahulu oleh Anggita Maharani (2017) tentang “Pengaruh Penambahan *Periclase* (0,10,15) % terhadap Karakteristik Struktur dan Kekerasan Kordierit” yang menjelaskan tentang *magnesium oksida (MgO)* merupakan logam oksida padatan putih dengan nama mineral *periclase*. Dengan hasil penambahan *MgO* nilai densitas kekerasan kordierit semakin menurun.

Grafik 4.4 Persentase Kandungan Mineral Sampel 4



Persentase kandungan mineral sampel 4 yang didominasi mineral *sulfur-beta* (S_8) dengan persentase 46,90 %. Kemudian mineral yang juga memiliki persentase yang di atas 20 % yaitu *Aluminium oxide- θ* (Al_2O_3) dengan persentase kandungan 25,60 % dan *aroganite* memiliki persentase yang tidak jauh beda dengan *aluminium oxide* yaitu 24,60 %. Kandungan senyawa yang paling kecil yaitu *wuesite* yang memiliki persentase 2,70 % dan *lime* hanya 0,2 %.

Dari data tersebut didapatkan persentase kandungan mineral yang tinggi adalah *sulfur*. Sesuai teori *sulfur* merupakan salah satu unsur kimia non logam

sebagai unsur murni dari *sulfida* dan *sulfat*. *Sulphur* dapat ditemukan dalam meteorit, gunung berapi, sumber air panas. Pemanfaatan dalam bidang pertanian membantu pembentukan klorofil (zat hijau daun), menambah kandungan vitamin dan protein dalam tanaman. Sedangkan dalam bidang industri pemanfaatannya sebagai bahan pembuatan korek api.

Penelitian terdahulu oleh Bambang Sugiarto (2015) tentang “*Pengolahan Potensi Sulfur Alam sebagai Komoditi Industri Siap Jual Guna Membuka Peluang Wirausaha Bagi Warga Kawasan Ijen Bondowoso*” yang menjelaskan tentang *sulfur* atau *belerang* dalam suhu biasa berwarna kuning dengan bentuk kristal *rhombik* dengan kemurnian 98,8 %. *Belerang* memiliki dua bentuk *alotropi* yang stabil yaitu: *Belerang α rhombik* dan *belerang β monoklinik*.

Grafik 4.5 Persentase Kandungan Mineral Sampel 5



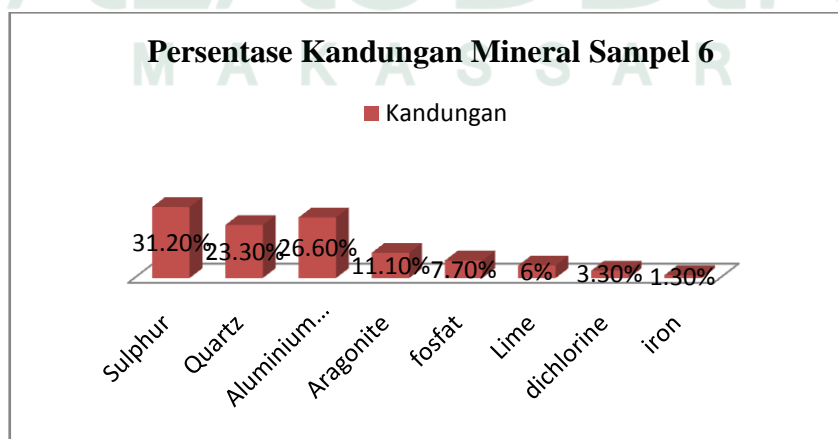
Kandungan mineral sampel 5 seperti pada grafik 4.5 yang mendominasi kandungan mineral yaitu mineral *aluminium oxide- δ -kappa* (Al_2O_3) walaupun tidak memiliki persentase diatas 50 % tetapi mineral inilah yang mendominasi dan memiliki persentase yang lebih tinggi dari mineral lainnya yaitu 26,10 %. Dan

beberapa mineral lainnya yang memiliki persentase di atas 10 % yaitu mineral *stishovite* (SiO_2) dengan persentase 19,50 % kemudian *fosfor oksidat* (P_2O_5) dengan persentase 18,7 % dan *sulphur* (S_8) 17 %. Kandungan senyawa yang memiliki persentase yang kecil yaitu *chiorine* (Cl_2), *aragonite* ($CCaO_3$) dan *iron oxide hematite* (Fe_2O_3).

Pada sampel 5 mineral yang memiliki persentase yang tinggi adalah *aluminium oxide- κ* . Sesuai dengan teori dimana sifat *aluminium oksida* berperan penting dalam ketahanan logal *aluminium* terhadap perkaratan dengan udara. Terdapat dalam bentuk kristal *corundum* batu mulia *rubi* dan *sapphire* yang tersusun atas *corundum*.

Hasil penelitian terdahulu oleh Khairun Nisah (2016) dengan judul “Ekstraksi *Aluminium Oksida* (Al_2O_3) Dari Tanah Liat Dengan Variabel Suhu Dan Konsentrasi Asam Sulfat” yang menjelaskan ketika meningkat waktu pemanasan maka konsentrasi *aluminium oksida* dalam asam *sulfat* akan meningkat pula sehingga akan memperbesar kadar *aluminium oksida* yang dicapai.

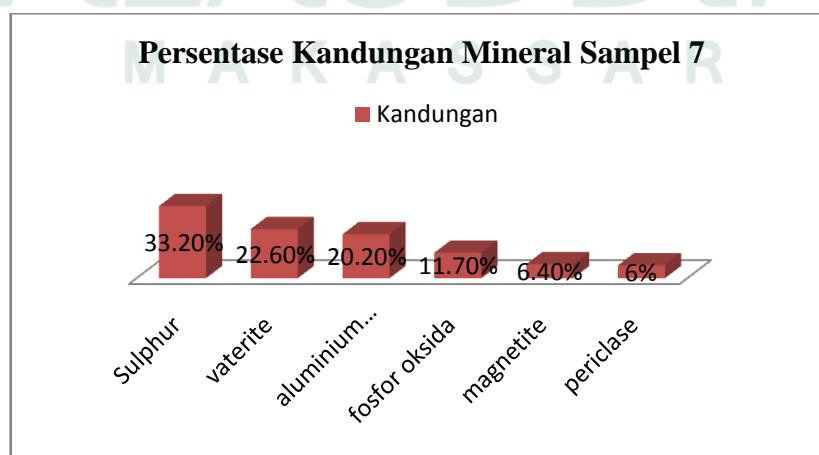
Grafik 4.6 Persentase Kandungan Mineral Sampel 6



Kandungan mineral sampel 6 didominasi mineral *sulfur-(beta)* (S_8) dengan persentase yaitu 31,20 % dan *quartz* (SiO_2) juga memiliki persentase yang lumayan tinggi dari pada mineral lainnya yaitu 23,30 %. Kandungan mineral dibawah persentase 20 % tetapi melebihi dari persentase 10 % yaitu *aluminium oxide- θ* (Al_2O_3) dan *aragonite* ($CCaO_3$) dengan persentase 16,60 % dan 11,10 %. Mineral dengan persentase diatas 5 % yaitu *fosfat* (P_2O_5) dan *lime* (CaO). Dan mineral yang paling terendah dengan persentase dibawah 5 % yaitu *dichlorine* (Cl_2) dan *iron oxide- α hematite* (Fe_2O_3) dengan persentase 3,30 % dan 1,30 %.

Kandungan mineral tertinggi sampel 6 adalah *sulphur* (S_8). Hasil dari penelitian Bambang Sugiarto (2015) tentang “ *Pengolahan Potensi Sulfur Alam sebagai Komoditi Industri Siap Jual Guna Membuka Peluang Wirausaha Bagi Warga Kawasan Ijen Bondowoso* “ yang memberikan penjelasan bahwa *sulfur* atau *belerang* dalam suhu biasa berwarna kuning dengan bentuk kristal *rhombik* dengan kemurnian 98,8 %. Belerang memiliki dua bentuk *alotropi* yang stabil dengan kemurnian 98,8 %. Dan belerang α *rhombik* dan belerang β *monoklinik*.

Grafik 4.7 Persentase Kandungan Mineral Sampel 7

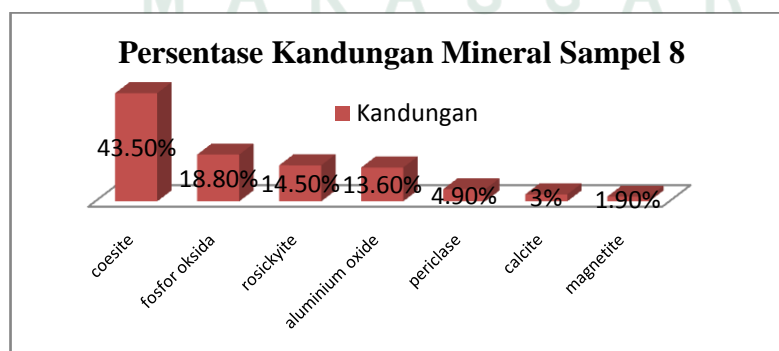


Kandungan mineral pada sampel 7 yaitu didominasi dengan *sulfur-(beta)* (S_8) dengan persentase 33,20 % dan mineral yang memiliki persentase diatas 20 % yaitu *vaterite* ($CCaO_3$) dengan persentase 22,60 % dan *aluminium oxide- θ* (Al_2O_3) yaitu 20,20 %. Persentase diatas 10 % yaitu *aragonite* dengan persentase 11,70 % dan persentase terendah yaitu mineral *magnetite* (Fe_3O_4) dan *periclase* (MgO) yang memiliki persentase mineral yaitu 6,40 % dan 5,90 %.

Kemudian sampel 7 mineral yang memiliki persentase yang tinggi yaitu *sulfur-(beta)* dimana sesuai teori *sulfur* merupakan salah satu unsur kimia non logam sebagai unsur murni dari sulfida dan sulfat. Sulphur dapat ditemukan dalam meteorit, gunung berapi, sumber air panas. Pemanfaatan dalam bidang pertanian membantu pembentukan klorofil (zat hijau daun), menambah kandungan vitamin dan protein dalam tanaman. Sedangkan dalam bidang industry pemanfaatnya sebagai bahan pembuatan korek api.

Penelitian yang dilakukan oleh Sepridawati Siregar (2016) “Analisis dan Pemanfaatan Unsur Belerang dan Salinitas Lumpur Bledug Kuwu di Desa Kuwu, Kecamatan Kradenan, Kabupaten Grobongan Jawa Tengah” dengan hasil bahwa *sulfur* dapat dimanfaatkan sebagai pengobatan dan bahan pembuatan garam.

Grafik 4.8 Persentase Kandungan Mineral Sampel 8



Hasil analisis sampel terakhir yaitu didominasi dengan mineral *coesite* (SiO_2) dengan persentase 43,50 %. Mineral dengan persentase dibawah 20 % dan diatas 10 % yaitu mineral *fosfor oksida* (P_2O_5), *rosickyite* (S_8) dan *aluminium oxide corundum* (Al_2O_3) dan kandungan mineral yang paling rendah adalah *periclase* (MgO), *calcite* ($CCaO_3$) dan *magnetite* (Fe_3O_4) dengan persentase dibawah dari 5 %.

Pada sampel 8 atau sampel terakhir mineral yang memiliki persentase yang tinggi adalah *coesite* (SiO_2) dengan persentase 43,50 % . Sesuai dengan teori *silikon dioksida* juga dikenal sebagai *silika*. *Silika* ini paling sering ditemukan di alam sebagai pasir atau kuarsa. *Silika* digunakan produksi kaca untuk jendela, gelas minum, botol minuman.

Penelitian terdahulu yang menjelaskan tentang *silica oksida* yaitu Nanda Iriawan (2014) yang menjelaskan bahwa nanopartikel SiO_2 bisa digunakan dalam berbagai proses khususnya dapat digunakan sebagai material support yang ideal untuk nanopartikel magnetic, karena sangat mudah dioptimalkan fungsinya.

Dimana kandungan mineral yang sering muncul S1 yaitu *quartz* (SiO_2) , S2 yaitu *aragonitite* ($CCaO_3$), S3 yaitu *periclase* (MgO), S4 yaitu *sulfur-(beta)* (S_8), S5 yaitu *aluminium oxide* (Al_2O_3), S6 yaitu *sulfur-(beta)* (S_8), S7 yaitu *sulfur-(beta)* (S_8) dan S8 yaitu *coesite* (SiO_2).

4.2 Pembahasan

Dari hasil penelitian yang dilakukan di dekat sumber air panas Kalompie dusun Kalompie desa Galung kecamatan Barru kabupaten Barru dari kedelapan sampel yang mendominasi mineral yang terkandung adalah *sulfur* (S) dimana

sesuai teori *sulfur* merupakan salah satu unsur kimia non logam sebagai unsur murni dari sulfida dan sulfat. Sulphur dapat ditemukan dalam meteorit, gunung berapi, sumber air panas. Pemanfaatan dalam bidang pertanian membantu pembentukan klorofil (zat hijau daun), menambah kandungan vitamin dan protein dalam tanaman. Sedangkan dalam bidang industry pemanfaatnya sebagai bahan pembuatan korek api.

Kemudian kandungan mineral lainnya terdapat adalah berdasarkan hasil penelitian terdahulu tentang karakterisasi batuan menggunakan metode XRD maupun metode XRF dihasilkan kandungan yang menominal dalam batuan di sekitar sumber air panas Sulili Kabupaten Pinrang adalah SiO_2 , Al_2O_3 , P_2O_5 , Cl , K_2O , CaO , Ti , Mn , FeO , Ag , MgO (Raiz Tutu, 2015).

Kemudian penelitian berikutnya dihasilkan SiO_2 , Al_2O_3 , Fe_2O_3 , FeO , MnO , MgO , CaO , Na_2O , K_2O , TiO_2 , P_2O_5 (Dientya, 2015). *Aragonite* ($CCaO_3$) senyawa ini terbentuk pada lingkungan suhu yang tinggi (Mughni, 2017). Dikaitkan dengan penelitian terdahulu didapatkan hasil dari penelitian ini dan penelitian terdahulu sama dengan penelitian ini.

Namun pada hasil penelitian dari delapan sampel diperoleh struktur kristal *monoclinic*, *orthorhombic* dan *cubic* dengan komponen mineral yang sama yaitu S_6 , S_8 , $CCaO_3$, Fe_2O_3 , Fe_3O_4 , $FeO.990$, SiO_2 , P_2O_5 , Al_2O_3 , Cl_2 , CaO , Mn , $CCaO_3$. Unsur yang dihasilkan sesuai dengan penelitian terdahulu di kecamatan Barru yang diteliti oleh badan penyelidikan mineral pusat sumber daya geologi. Kandungan mineral pada sampel ini yang didominasi mineral sulfur.

Penelitian yang dilakukan oleh Irwan Muksin dari *Badan Penyelidikan Mineral Pusat Sumber Daya Geologi* yang menjelaskan tentang unsur kandungan mineral yang terkandung di kecamatan Barru yaitu MgO , SiO_2 , Al_2O_3 , Fe_2O_3 , CaO . Sedangkan penelitian oleh Fitriani (2017) yang menjelaskan struktur kristal yang mendominasi adalah *monoclinik*.

Dengan mengetahui kandungan mineral yang dihasilkan dari penelitian ini maka keyakinan kepada Allah dengan percaya kepercayaan kepada Allah. Sehingga mendorong peneliti untuk mengeksplorasi sehingga dapat dipergunakan dikalangan masyarakat. Tercermin perilaku mahasiswa peneliti yang berakhlak, beriman dan beradab dalam menghargai lingkungan, mempergunakan ciptaan Allah SWT sebaik-baiknya. Memberikan informasi kepada masyarakat luas untuk menjaga kelestarian alam dengan berperilaku menghargai ciptaan Allah.

Seperti yang dijelaskan dalam QS A-baqarah/2:74 adalah ayat yang menghubungkan batuan dengan sifat manusia.

ثُمَّ قَسَتْ قُلُوبُكُمْ مِنْ بَعْدِ ذَلِكَ فَهِيَ كَالْحِجَارَةِ أَوْ أَشَدُّ قَسْوَةً وَإِنَّ مِنَ الْحِجَارَةِ
 لَمَا يَتَفَجَّرُ مِنْهُ الْأَنْهَارُ وَإِنَّ مِنْهَا لَمَا يَشَقَّقُ فَيَخْرُجُ مِنْهُ الْمَاءُ وَإِنَّ مِنْهَا لَمَا
 يَهْبِطُ مِنْ خَشْيَةِ اللَّهِ وَمَا اللَّهُ بِغَافِلٍ عَمَّا تَعْمَلُونَ

Terjemahannya:

“Kemudian, setelah itu hati kamu menjadi keras sehingga ia seperti batu, bahkan lebih keras lagi. Padahal di antara batu-batu sungguh ada yang mengalir sungai-sungai darinya dan di antaranya sungguh ada yang terbelah lalu keluarlah mata air darinya dan di antaranya sungguh ada yang meluncur jatuh, karena takut kepada Allah. Dan Allah sekali-kali tidak lengah dari apa yang kamu kerjakan (Kementerian RI: 2015).

Tafsir Al-Mishbah (2002) kata *qaswah* digunakan untuk menyifati benda maupun hati. Kekerasan hati mereka hati telah terjadi jauh sebelumnya ini. Kata *tsumma* di sini dipahami oleh banyak ulama bukan selang waktu yang lama.

Dari ayat ini menjelaskan kekerasan hati manusia lebih keras dari batu. Padahal dari batu-batu ada mengalir sungai-sungai. Sekeras-kerasnya hati manusia mereka memiliki sisi lain untuk melakukan kebaikan . Karena mereka takut kepada Allah karena segala sesuatu apa yang dikerjakan Allah maha mengetahuinya. Sehingga dengan menjaga kelestarian alam dan memanfaatkan segala sesuatu yang ada di alam semesta ini dengan baik. Merupakan salah satu cara mensyukuri ciptaan Allah.



BAB V

PENUTUP

5.1 Kesimpulan

Berdasarkan hasil penelitian di dusun Kalompie desa Galung Kecamatan Barru kabupaten Barru adalah sebagai berikut:

1. Struktur kristal batuan yang di analisis dalam penelitian ini umumnya didominasi dengan struktur *monoclinic*, *orthorhombic* dan *cubic*.
2. Kandungan mineral batuan yang terdapat pada sampel batuan yaitu *Sulfur* (S_6 dan S_8), *Kalium Karbon Oksida* ($CaCO_3$), *Besi Oksida* (Fe_2O_3 , Fe_3O_4 , FeO), *Silikon Oksida* (SiO_2), *Difosfor Oksida* (P_2O_5), *Aluminium Oksida* (Al_2O_3), *Magnesium Oksida* (MgO), *Chlorine* (Cl_2), *Karbon Dioksida* (CaO) dan *Mangan* (Mn) dimana kandungan mineral yang paling mendominasi adalah *Sulfur* yang merupakan mineral yang dapat ditemukan dalam meteorit, gunung berapi, dan sumber air panas.

5.2 Saran

Setelah melakukan penelitian maka untuk peneliti selanjutnya adalah Pengujian dengan metode *Structural Equation Modeling (SEM)* sehingga dapat lebih mengetahui morfologi batuan di desa Galung kecamatan Barru kabupaten Barru dan menggunakan metode *X-Ray Fluorescence (XRF)* sehingga lebih banyak unsur yang terkandung dalam batuan. Selanjutnya yaitu sarannya adalah penelitian berikutnya mengambil sampel dalam satu titik menggabungkan beberapa batuan.

DAFTAR PUSTAKA

- Azwarreda Dientya, Afif Nur'Aini, Mirzam Abdurachman “ *Karakterisasi Batuan Intrusi Gunung Api Slamet Berdasarkan Analisis Petrografi, Unsur Utama, Dan Unsur Jejak Daerah Baturaden Dan Sekitarnya, Kabupaten Banyumas, Provinsi Jawa Tengah*” Proceeding, Seminar Nasional Kebumihan Ke-8 Academia-Industri Linkage, Bandung: 2015
- Anggita Maharani, Simon Sembiring, Bambang Joko “*Pengaruh Penambahan Periclase (0,10,15)% terhadap Karakterisasi Struktur dan Kekerasan Kordierit*” Jurnal Teori dan Aplikasi Fisika, Vol. 5, No.1 (2017): h.77-82
- Bambang Sugiarto, dkk “*Pengolahan Potensi Sulfur Alam Sebagai Komodoti Indutrsi Siap Jual Guna Membuka Peluang Wirausaha Bagi Warga Kawasan Ijen Bondowoso*” *Journal ABDI Vol.1, No.1* (2015): h. 33-39
- Dongeng Blogger (2013) . *Belajar Geologi*. [Http:// Geologi Dasar Jenis-Jenis Batuan dan Definisinya.htm](http://Geologi Dasar Jenis-Jenis Batuan dan Definisinya.htm) (Diakses 10 Juli 2017) .
- Dikin, Moh.(2014). *Makalah Panas Bumi*. <http://Makalah Panas Bumi - Moh Dikin Adiwena.html> (Diakses 1 Desember 2017). Khairun Nisah “*Ekstraksi Alumina Oksida (Al_2O_3) Dari Tanah Liat Dengan Variabel Suhu dan Konsentrasi Asam Sulfat*” Fakultas Sains dan Teknologi UIN Ar-Raniry Banda Aceh, Lantanida Journal, Vol 4 No.1 (2016)
- Fitriani “*Identifikasi Kandungan Mineral Sumber Air Panas di Desa Wotu Toa Kecamatan Marioriwawo*” Skripsi Jurusan Fisika Fakultas SAINTEK UIN Alauddin Makassar, Makassar, 2017.
- Geologi Info, 2016. *Indetifikasi Mineral Dalam Batuan*. [Http:// Geologi Info Indetifikasi Mineral dalam Batuan.html](http://Geologi Info Indetifikasi Mineral dalam Batuan.html) (Diakses 10 Juli 2017).
- Haris Abdul , Bunga Dara Amin, A. Momang Yusuf, Nurhasmi “*Sintesis Dan Karakterisasi Pyrite (Fes_2) Dari Deposit Mineral Kecamatan Bontocani, Kabupaten Bone, Sulawesi Selatan*” Jurusan Fisika FMIPA Universitas Negeri Makassar, Makassar, 2014.
- Kittel, Charles. *Intruduction to Solid State Physics 6th*. USA: John Wiley & Sons, 1991
- Kementrian Energi Dan Sumber Daya Mineral Republik Indonesia.*Potensi Panas Bumi 2017 jilid 2*. ebtke.esdm.go.Id/post/2017/09/25/.../ buku. potensi.panas.bumi.2017
- Kementrian Agama RI. mi. *Al-Qur'an dan Isu-Isu Kontemporer 1 (Tafsir Al-Qur'an Tematik)*. Jakarta: Lajnah Pentashihan Mushaf Al-Qur'an. 2012

- Kementrian Energi Dan Sumber Daya Mineral Republik Indonesia. *Potensi Energi Terbarukan Sulawesi Selatan*. 2008. <http://www3.esdm.go.id/berita/energi-baru-dan-terbarukan/323-energi-baru-dan-terbarukan/5109-potensi-energi-terbarukan-sulawesi-selatan.html> (diakses pada tanggal 11 Februari 2017).
- Muhsin Irwan, Kusdarto, Reza Marza D “*Eksplorasi Umum Batuan Kalium Di Kecamatan Barru, Provinsi Sulawesi Selatan*” Kelompok penyelidikan Mineral, Pusat Sumber Daya Geologi, Barru: 2014.
- M.Quraish Shibab, 2002. *Tafsir Al Misbah*. Vol 9,12,14, Jakarta: Lentera Hati
- M.Antao Sytle. “ *The Orthorhombic Structure Of $CaCO_3$, $SrCO_3$, $PbCO_3$, dan $BaCO_3$: Linear Structural Trends.*” The Canadian Mineralogist Vo. 47, pp. 1245-1255, Department of Geoscience, University of Calgary, Calgary, Alberta T2N 1NA, Canada, 2009.
- Nanda Irawan, Munasir, Triwikantoro “*Sintesis dan Karakterisasi Serbuk SiO_2 dengan Variasi pH dan Molaritas Berbahan Dasar Pasir Bancar, Tuban*” Jurnal Sains dan Seni Pomits Vol. 3, No.1 (2014)
- Ngkoimani, L.O dkk. “ *Analisa Kandungan Mineral Batuan Pada Situs Kontu Kowuna Kabupaten Muna Menggunakan Sinar-X.*” Jurusan Fisika Kimia FMIPA, Universitas Haluoleo, Kendari. JAF, Vol. 6 No. 2 (2010): h. 104-110.
- Nukman. “Analisa Mineral Batubara Tanjung Enim Dengan Perangkat X-Ray Fluorecency (XRF), X-ray Diffraction (XRD), PCPDFWin (Plus Pearson’s Handbook) dan General Structure Analysis System (GSAS).” *Rekayasa Mesin 3*, no. 1 (2001): h. 8-12.
- Noor, Djauhari. *Pengantar Geologi*. Bogor: Universitas Pakuan, 2009.
- Prayuda, Munandar.(2015). *Makalah Energi Panas Bumi*. <http://www.Bangmuvet.com/2016/03/makalah-energi-panas-bumi.html> (Diakses 1 Desember 2017 .
- Siregar Sepridawati, Nora Idiawati Siregar “*Analisis dan Pemanfaatan Unsur Belerang dan Salinitas Lumpur Bledug Kuwu, Kecamatan Kradenan, Kabupaten Grobongan, Jawa Tengah*” *Positron*, Vol. VI, No.1 (2016): h. 40-42
- Setiabudi, Agus dkk. *Karakterisasi Mineral Prinsip Aplikasi Dalam Penelitian Kimia*. Bandung: UPI PRESS, 2012.
- Saptadji, Nenny. *Sekilas Tentang Panas Bumi Pdf*. Bandung: ITB, 2014.

Sukamto. *Peta Geologi Lembar Pangkajene dan Watampone Bagian Barat Sulawesi*. Bandung: Pusat Penelitian dan Pengembangan Geologi, 1982.

S. Musi, N. Filipovic, L.Sekovanic “*Precipitation Of Amorphous SiO₂ Particles and Their Properties*” *Journal of Chemical Engineering Braz. J. Chem. Eng.* Vol.28 No.1 Sao Paulo Jan/Mar (2011)

Sudarningsih, dkk. “*Analisis Struktur dan Minerologi Batuan dari Sungai Aranio Kabupaten Banjar*” *Jurnal Fisika FMIPA Universitas Lambung Mangkurat, Banjarbaru*. Vol. 9, No. 1, (2012): h.42 – 48.

Tutu, Rais dkk. “*Studi Analisis Karakterisasi dan Mikrostruktur Mineral Sedimen Sumber Air Panas Sulili di Kabupaten Pinrang*” *Jurusan Fisika FMIPA Universitas Negeri Makassar, Makassar*.No. 2, (2015):h. 192 – 201.

Trianasari, “*Analisis Dan Karakterisasi Kandungan Silika (SiO₂) Sebagai Hasil Ekstraksi Batu Apung (Pumice)*” *Skripsi Jurusan FMIPA Universitas Lampung, Lampung* (2017): h. 28.

Tolulima.(2012). *Makalah Geothermal*.

<http://tolulima.blogspot.co.id/2012/12/makalah-geothermal.html> (Diakses 1 Desember 2017)



LAMPIRAN-LAMPIRAN

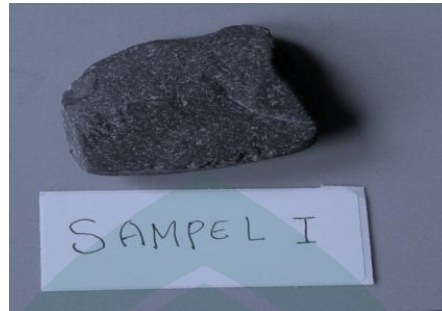
UNIVERSITAS ISLAM NEGERI
ALAUDDIN
M A K A S S A R



Lampiran 1
Hasil Penelitian

UNIVERSITAS ISLAM NEGERI
ALAUDDIN
M A K A S S A R

1. Sampel 1



| | |
|--------------------|---|
| Kordinat | : 4°22'40,04" LS-119°43'2,7" BT |
| Warna Segar | : Hitam ke abu-abuan |
| Warna Lapuk | : Abu-abu gelap |
| Tekstur | : Keras |
| Kedalaman | : 50 cm |
| Keadaan Lingkungan | : Dekat dari sumber air panas |
| Stuktur Kristal | : <i>Monoclinic</i> dan <i>cubic</i> |
| Kandungan Mineral | : <i>Quartz, Rosickyite, Aluminium Oxide, Maghemite</i> |
| Kandungan Kimia | : $SiO_2, S_8, Al_2O_3, Fe_2O_3$ |

2. Sampel 2



| | |
|----------|---------------------------------|
| Kordinat | : 4°22'40,5" LS-119°43'1,54" BT |
|----------|---------------------------------|

| | |
|--------------------|---|
| Warna Segar | : Abu-abu keputihan |
| Warna Lapuk | : Abu-abu |
| Tekstur | : Keras, berkilau |
| Kedalaman | : 50 cm |
| Keadaan Lingkungan | : Berjarak 25 meter dari sampel 1 |
| Stuktur Kristal | : <i>Orthorhombic, Rhombohedral</i> dan |
| Kandungan Mineral | : <i>Quartz, Rosickyite, Aluminium Oxide, Maghemite</i> |
| Kandungan Kimia | : SiO_2 , S_8 , Al_2O_3 , Fe_2O_3 |

3. Sampel 3



| | |
|-------------|-----------------------------------|
| Kordinat | : 4°22'40,39" LS-119°43'2,940" BT |
| Warna Segar | : Abu-abu |
| Warna Lapuk | : kuning kecoklatan |
| Tekstur | : muda lapuk |
| Kedalaman | : 50 cm |

Kedadaan Lingkungan : Berjarak 25 meter dari sampel 2 dengan keadaan sekitar area yaitu berair.

Stuktur Kristal : *Monoclini, Orthorhombic, hexagonal dan cubic*

Kandungan Mineral : *Aluminium Oxide, Tridymite, vaterite, Lime*

Kandungan Kimia : *, Al₂O₃, SiO₂, CCaO₃, CaO*

4. Sampel 4



Kordinat : 4°22'40,954" LS-119°43'2,326" BT

Warna Segar : Kuning Keputih-putihan

Warna Lapuk : kuning

Tekstur : muda lapuk dan berongga

Kedalaman : 50 cm

Kedadaan Lingkungan : Berjarak 25 meter dari sampel 3 dengan keadaan sekitar yaitu area jalan setapak

Stuktur Kristal : *Monoclinic, Orthorhombic*

Kandungan Mineral : *Sulfur-beta, Quartz, Aragonite, Wuestite*

Kandungan Kimia : *, S₈, SiO₂, CCaO₃, FeO, 99O*

5. Sampel 5



- Kordinat : 4°22'41,414" LS-119°43'1,946" BT
- Warna Segar : Kuning Kecoklatan
- Warna Lapuk : kuning
- Tekstur : muda lapuk dan berongga
- Kedalaman : 50 cm
- Kedadaan Lingkungan : Berjarak 25 meter dari sampel 4 dengan lingkungan sekitar berdekatan dengan pohon dan merupakan area semak-semak.
- Stuktur Kristal : *Orthorhombic, Tetragonal*
- Kandungan Mineral : *Fosfor Oksida, Stishovite, Sulphur, chlorine*
- Kandungan Kimia : *,P₂O₅, SiO₂, S₈, Cl₂*

6. Sampel 6



| | |
|--------------------|---|
| Kordinat | : 4°22'40,7" LS-119°43'1,4" BT |
| Warna Segar | : Putih Keabu-abuan |
| Warna Lapuk | : abu-abu keputihan |
| Tekstur | : muda lapuk dan berongga |
| Kedalaman | : 10 cm |
| Keadaan Lingkungan | : Berjarak 25 meter dari sampel 5 dengan lingkungan sekitar adalah area aliran air panas. |
| Stuktur Kristal | : <i>Monoclinic, Triclinic, Monoclinic, orthombic</i> |
| Kandungan Mineral | : <i>Sulfur-beta, Fosfor Oksida, Aluminum Oxide, Arogonite</i> |
| Kandungan Kimia | : S_8 , P_2O_5 , Al_2O_3 , $CCaO_3$ |

7. Sampel 7



| | |
|-------------------|--|
| Kordinat | : 4°22'39" LS-119°43'1,4" BT |
| Warna Segar | : Putih Kecoklatan |
| Warna Lapuk | : Kecoklatan |
| Tekstur | : muda lapuk |
| Kedalaman | : 50 cm |
| Kadaan Lingkungan | : Berjarak 25 meter dari sampel 6 dengan lingkungan berada di atas bukit berada sejajar dengan sumber air panas. |
| Stuktur Kristal | : <i>Cubic, Hexagonal dan Monoclinic</i> |
| Kandungan Mineral | : <i>Magneite, Vaterite, Periclase dan Sulpur</i> |
| Kandungan Kimia | : Fe_3O_4 , $CCaO_3$, MgO , S_8 |

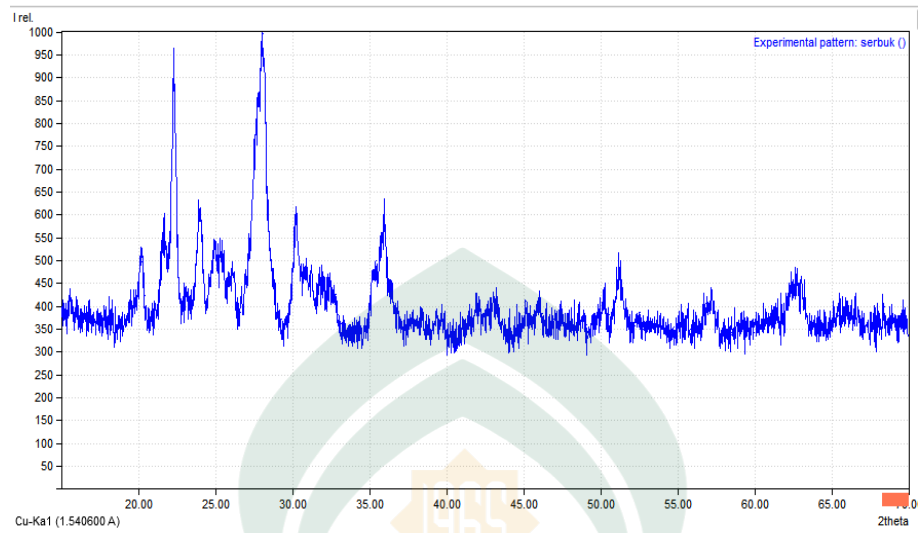
8. Sampel 8



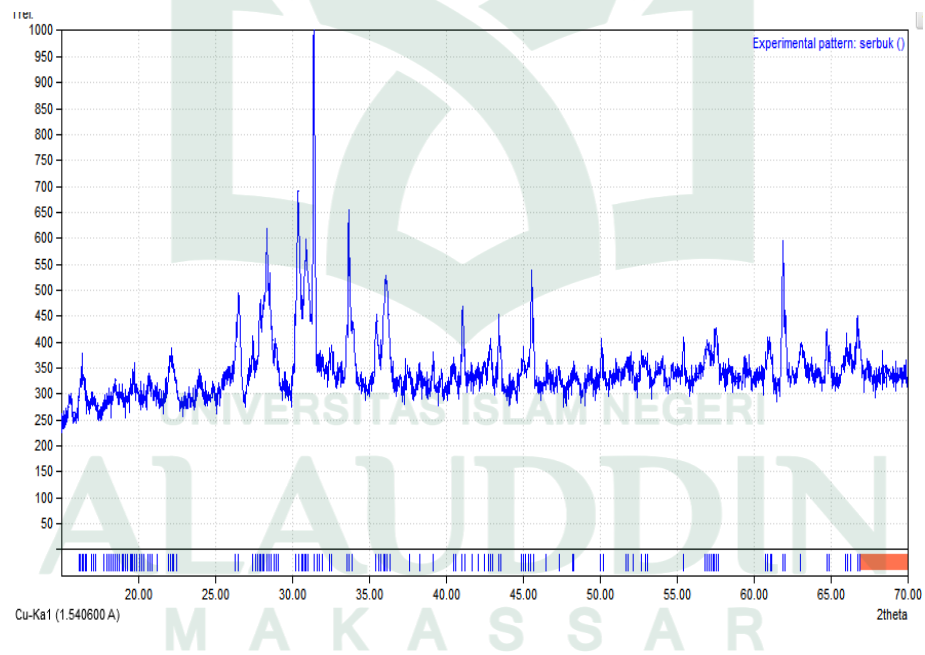
- Kordinat : 4°22'39,75" LS-119°43'2,290" BT
- Warna Segar : Keabu-abuan
- Warna Lapuk : Abu-abu
- Tekstur : muda lapuk
- Kedalaman : 50 cm
- Keadaan Lingkungan : Berjarak 25 meter dari sampel 7 dengan lingkungan berada di atas bukit.
- Stuktur Kristal : *Monoclinic, Orthorhombic dan cubic*
- Kandungan Mineral : *Coesite, Fosfor oksida, Periclase dan Magnitite*
- Kandungan Kimia : SiO_2, P_2O_5, MgO dan Fe_2O_3

Data Mentah

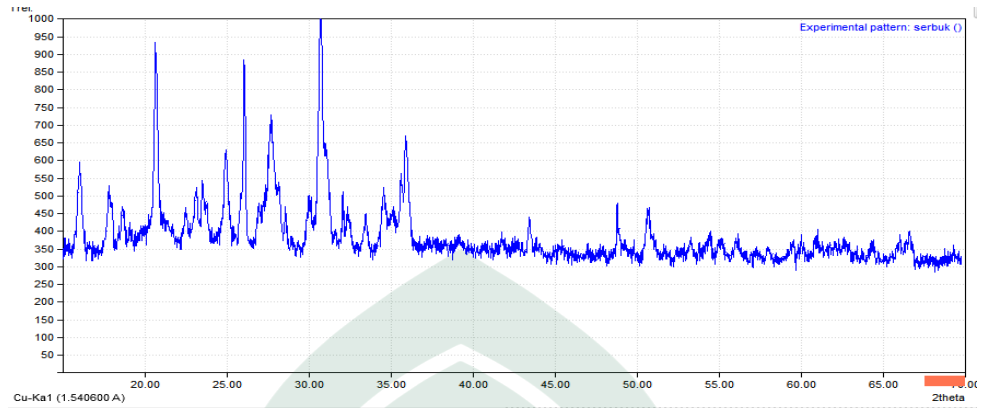
Sampel 1



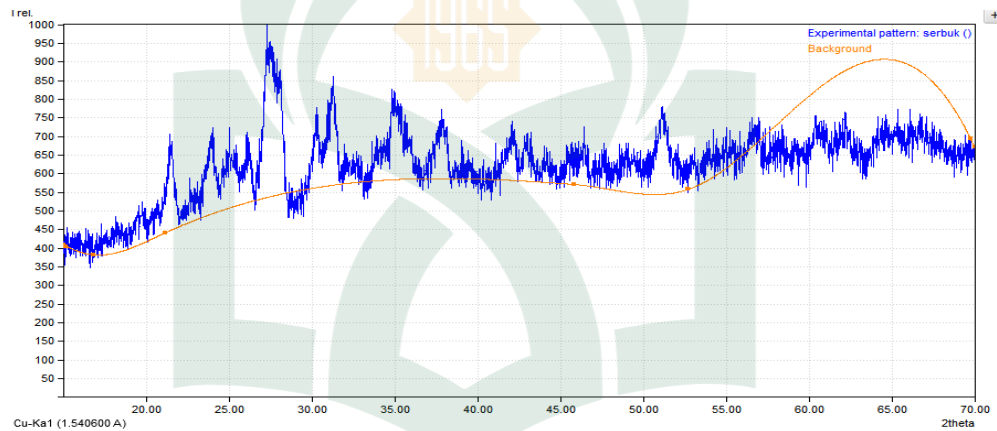
Sampel 2



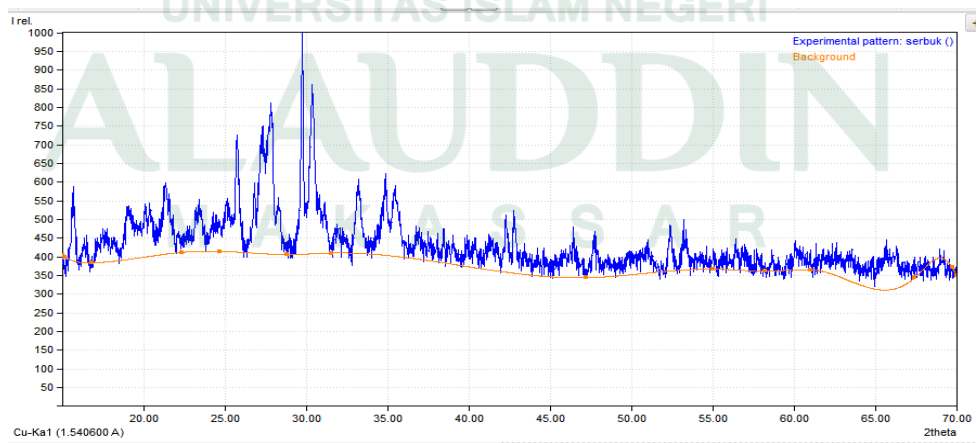
Sampel 3



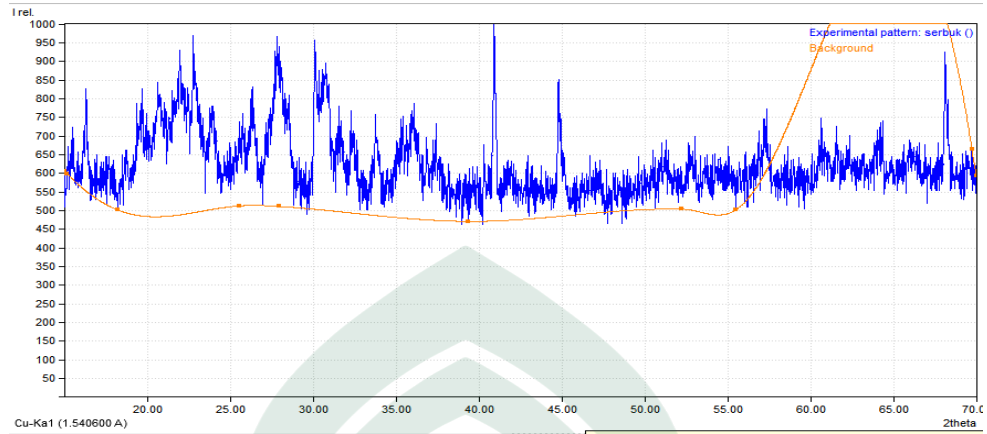
Sampel 4



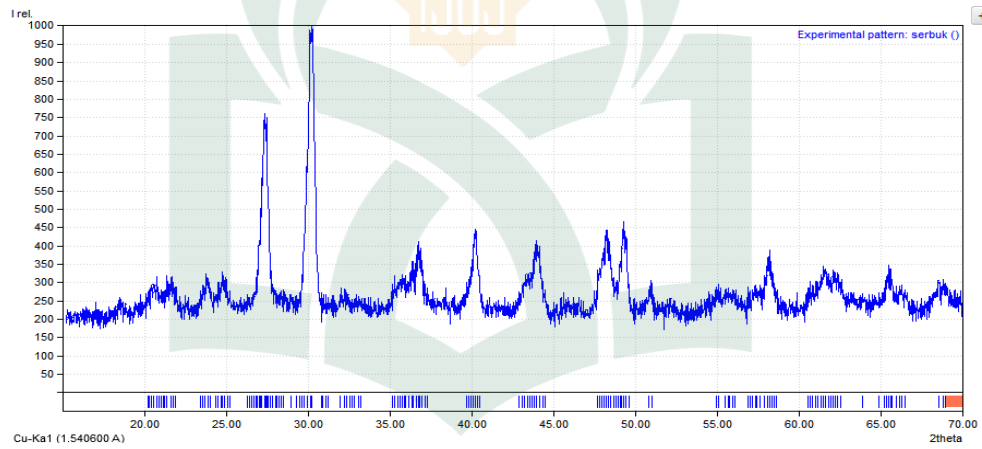
Sampel 5



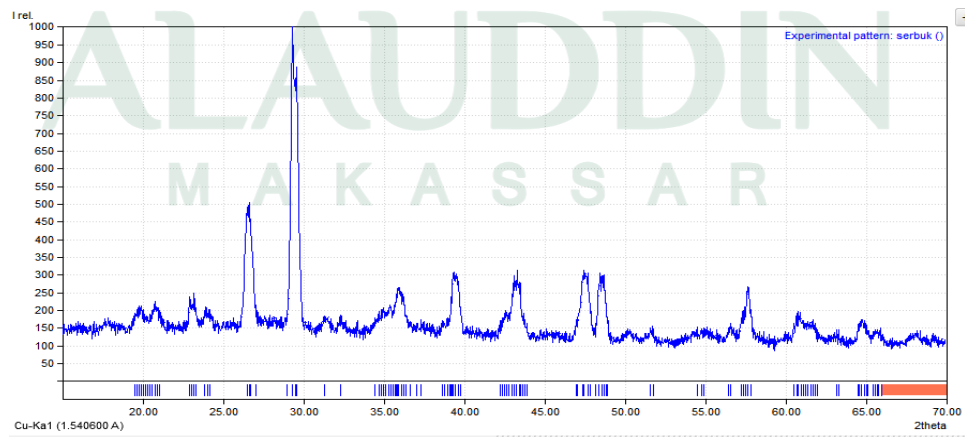
Sampel 6

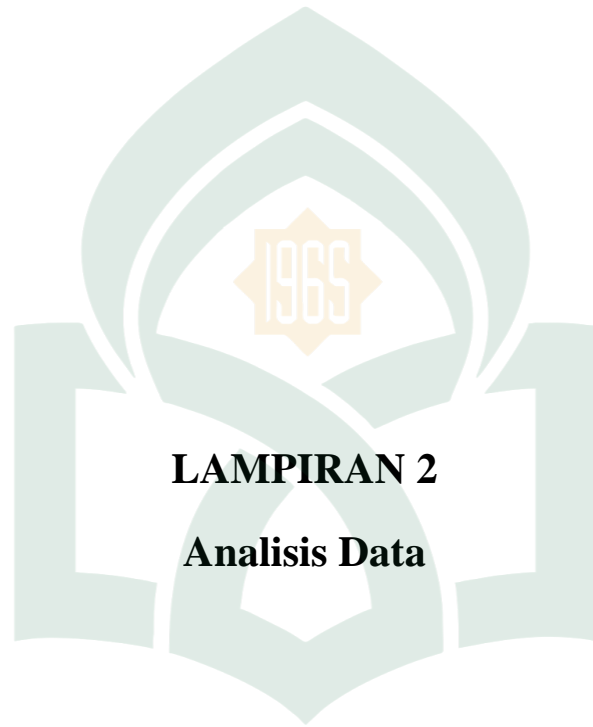


Sampel 7



Sampel 8

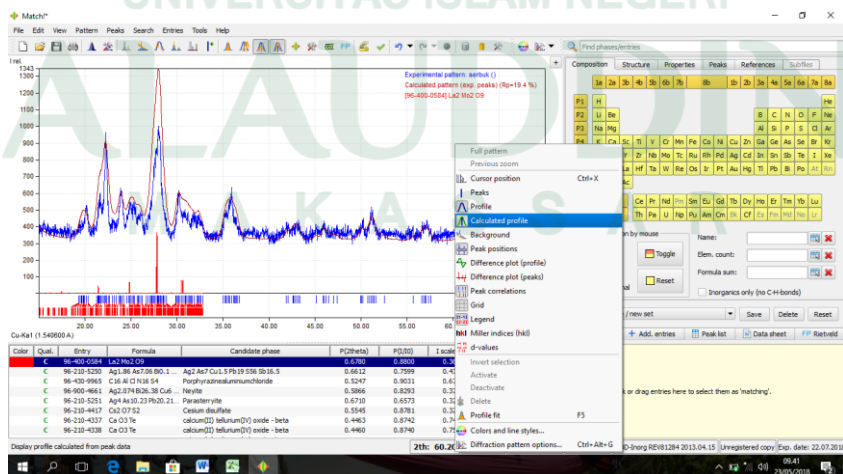
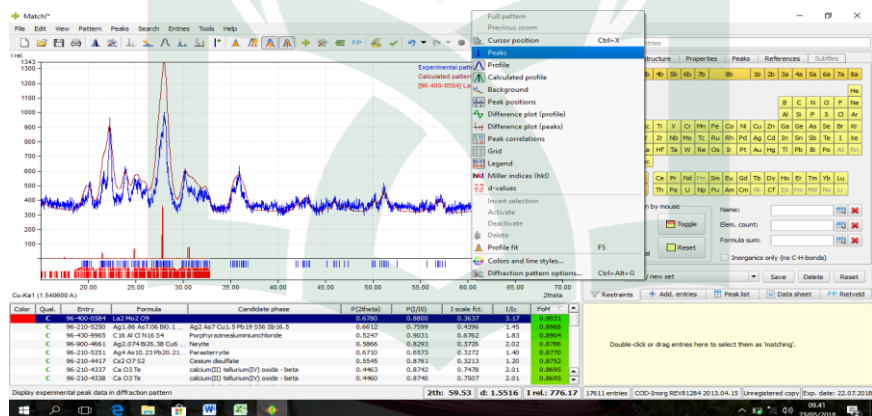
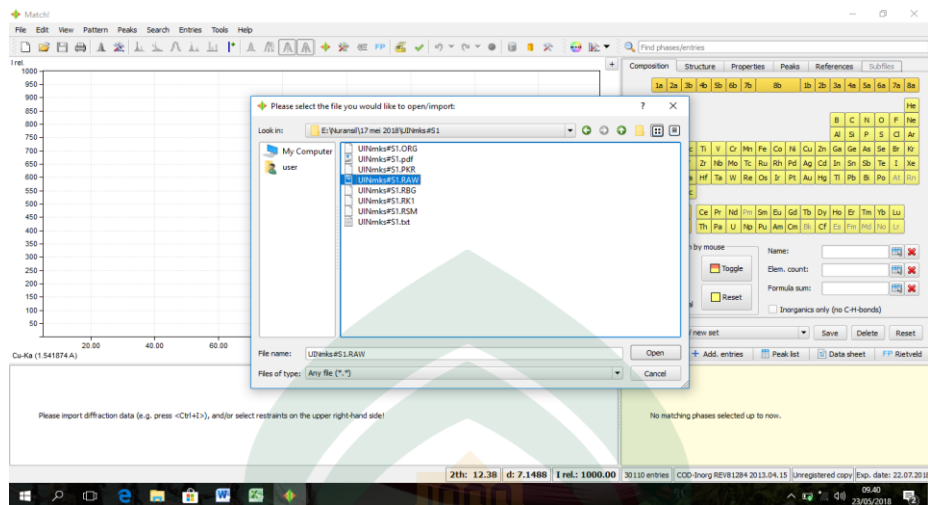


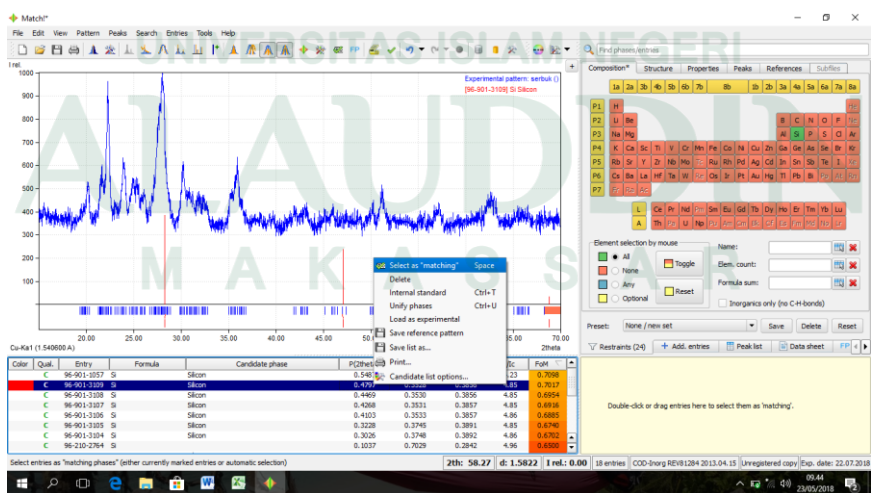
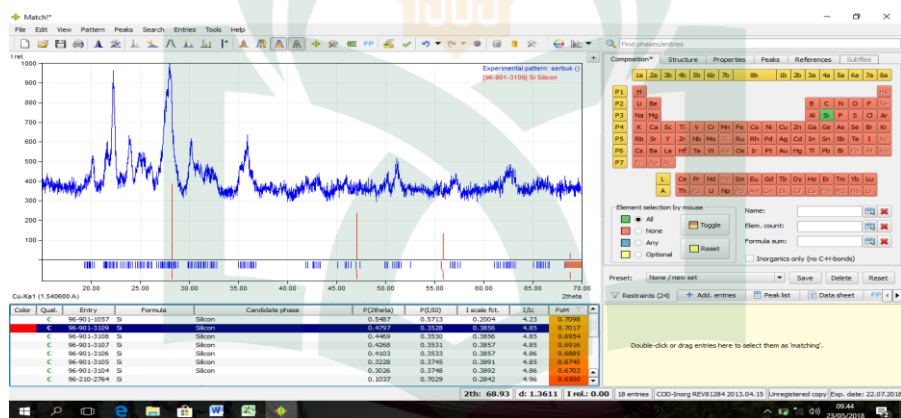
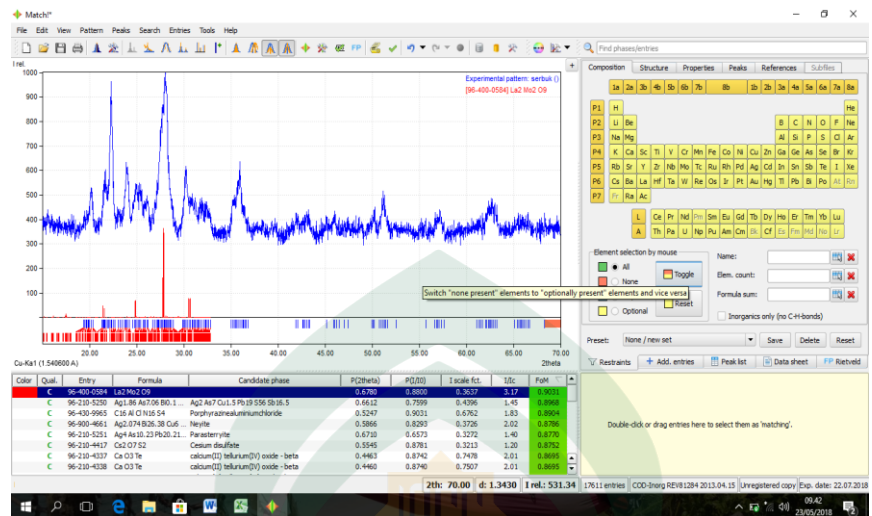


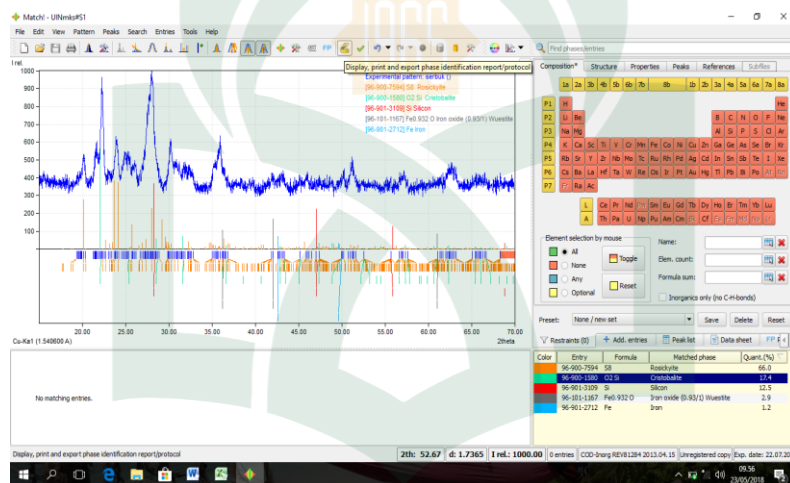
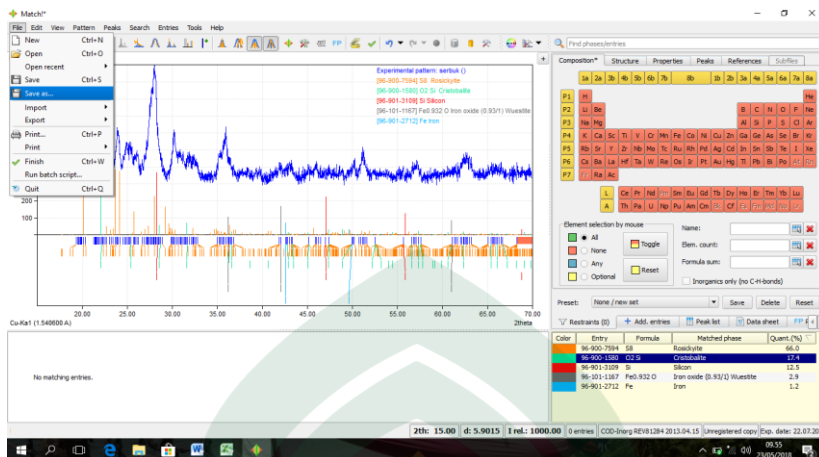
LAMPIRAN 2

Analisis Data

UNIVERSITAS ISLAM NEGERI
ALAUDDIN
M A K A S S A R







Tabel Struktur Kristal Sampel Batuan

| Sampel | Struktur Kristal | Kandungan Mineral | Persentase kandungan Mineral % | Ukuran Kisi Å |
|----------|-------------------|---------------------------------|--------------------------------|-------------------------------------|
| Sampel 1 | <i>Monoclinic</i> | <i>Quartz (SiO₂)</i> | 30.7 | a= 6.6211 b= 7.9963 c= 5.4115 |

| | | | | |
|----------|---------------------|---|------|--------------------------------------|
| | <i>Monoclinic</i> | <i>Rosickyite</i> (S_8) | 28.7 | a= 8.4420 b= 13.0250 c= 9.3560 |
| | <i>Monoclinic</i> | <i>Aluminium oxide - \$\theta\$-theta</i> (Al_2O_3) | 18.9 | a= 11.7950 b= 2.9100 c= 5.6210 |
| | <i>Cubic</i> | <i>Maghemite</i> | 4.0 | a= 8.3300 |
| Sampel 2 | <i>Orthorhombic</i> | <i>Aragonite</i> $CCaO_3$ | 26.9 | a= 4.9616 b= 7.9705 c= 5.7394 |
| | <i>Rhombohedral</i> | <i>Aluminium oxide Corundum</i> (Al_2O_3) | 24.5 | a= 5.1200 |
| | <i>Orthorhombic</i> | <i>Chlorine</i> Cl_2 | 15.4 | a= 6.2929 b= 4.5361 c= 8.1617 |
| | <i>Cubic</i> | <i>Lime</i> (CaO) | 11.5 | a= 4.9730 |
| Sampel 3 | <i>Monoclinic</i> | <i>Aluminium oxide - \$\theta\$-theta</i> Al_2O_3 | 19.0 | a= 11.7950 b= 2.9100 c= 5.6210 |
| | <i>Orthorhombic</i> | <i>Tridymite</i> SiO_2 | 13.8 | a= 26.1753 b= 4.9844 c= 8.2006 |
| | <i>Hexagonal</i> | <i>Vaterite</i> $CCaO_3$ | 12.9 | a= 4.1300 c= 8.4900 |
| | <i>Cubic</i> | <i>Lime</i> CaO | 7.5 | a= 5.0250 |
| Sampel 4 | <i>Monoclinic</i> | <i>Sulfur-(beta)</i> S_8 | 46.9 | a= 10.9260 b= 10.8550 |

| | | | | |
|----------|-----------------------------|---|------|--|
| | | | | c= 10.7900 |
| | <i>Monoclinic</i> | <i>Quartz (SiO₂)</i> | 25.6 | a= 4.1605 b= 4.1294 c= 7.4211 |
| | <i>Orthorhombic</i> | <i>Aragonite (CCaO₃)</i> | 24.6 | a= 4.9616 b= 7.9705 c= 5.7394 |
| | <i>Monoclinic</i> | <i>Wuestite (Fe_{0.99}O)</i> | 2.7 | a= 5.2615 b= 3.0334 c= 3.0602 |
| Sampel 5 | <i>Orthorhombi</i> | <i>Fosfor oksida (P₂O₅)</i> | 18.7 | a= 9.1930 b= 4.8900 c= 7.1620 |
| | <i>Tetragonal</i> | <i>Stishovite (SiO₂)</i> | 19.5 | a= 4.1560 c= 2.6601 |
| | <i>Orthorhombi</i> | <i>Sulphur (S₈)</i> | 17 | a= 10.4670 b= 12.8700 c= 24.4930 |
| | <i>Orthorhombic</i> | <i>Chlorine (Cl₂)</i> | 7.7 | a= 6.1453 b= 4.3954 c= 8.1537 |
| Sampel 6 | <i>Monoclinic</i> | <i>Sulfur-(beta) (S₈)</i> | 31.2 | a= 10.9260 b= 10.8550 c= 10.7900 |
| | <i>Triclinic (Anorthic)</i> | <i>Fosfor oksida (P₂O₅)</i> | 23.3 | a= 5.4515 b= 5.3227 c= 5.8091 |
| | <i>Monoclinic</i> | <i>Aluminium</i> | 16.6 | a= 11.7950 |

| | | | | |
|----------|---------------------|--------------------------------------|------|--------------------------------------|
| | | <i>oxide</i> (Al_2O_3) | | b= 2.9100 c= 5.6210 |
| | <i>Orthorhombic</i> | <i>Aragonite</i> ($CCaO_3$) | 11.1 | a= 4.9606 b= 7.9701 c= 5.7418 |
| Sampel 7 | <i>Cubic</i> | <i>Magnetite</i> (Fe_3O_4) | 6.4 | a= 8.3958 |
| | <i>Hexagonal</i> | <i>Vaterite</i> ($CCaO_3$) | 22.6 | a= 4.1300 c= 8.4900 |
| | <i>Cubic</i> | <i>Periclase</i> (MgO) | 5.9 | a= 4.0960 |
| | <i>Monoclinic</i> | <i>Sulfur</i> (S_8) | 33.2 | a= 8.1310 b= 13.0460 c= 8.3490 |
| Sampel 8 | <i>Monoclinic</i> | <i>Coesite</i> (SiO_2) | 43.5 | a= 6.9897 b= 12.2330 c= 7.1112 |
| | <i>Orthorhombic</i> | <i>Fosfor oksida</i> (P_2O_5) | 18.8 | a= 9.1930 b= 4.8900 c= 7.1620 |
| | <i>Cubic</i> | <i>Periclase</i> (MgO) | 4.9 | a= 4.1801 |
| | <i>Cubic</i> | <i>Magnetite</i> (Fe_3O_4) | 1.9 | a= 8.2634 |

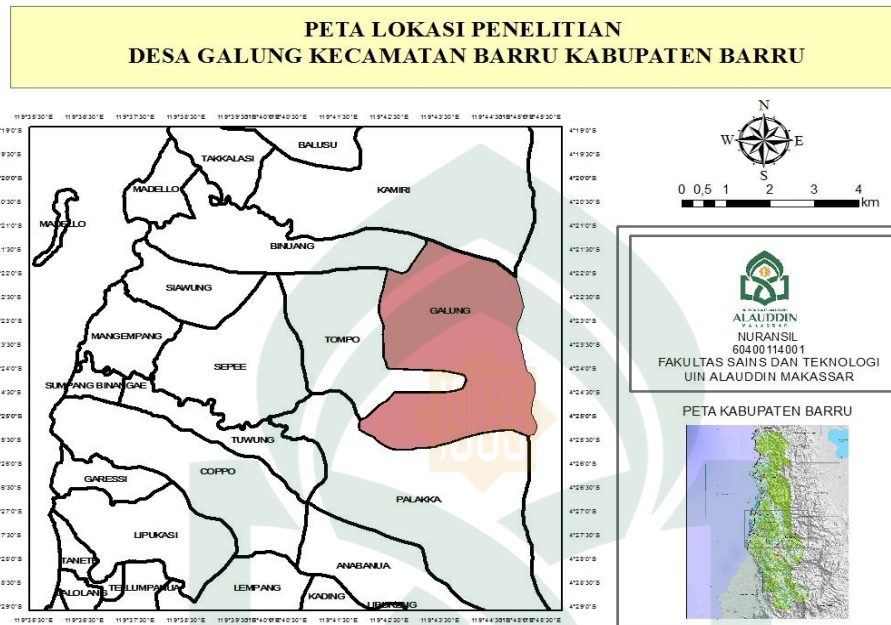


LAMPIRAN 3

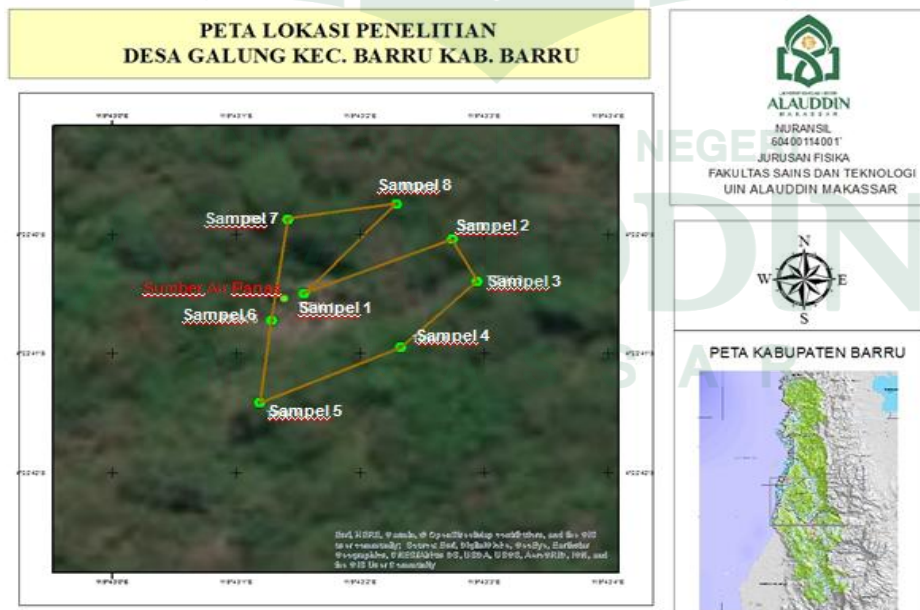
PETA

UNIVERSITAS ISLAM NEGERI
ALAUDDIN
M A K A S S A R

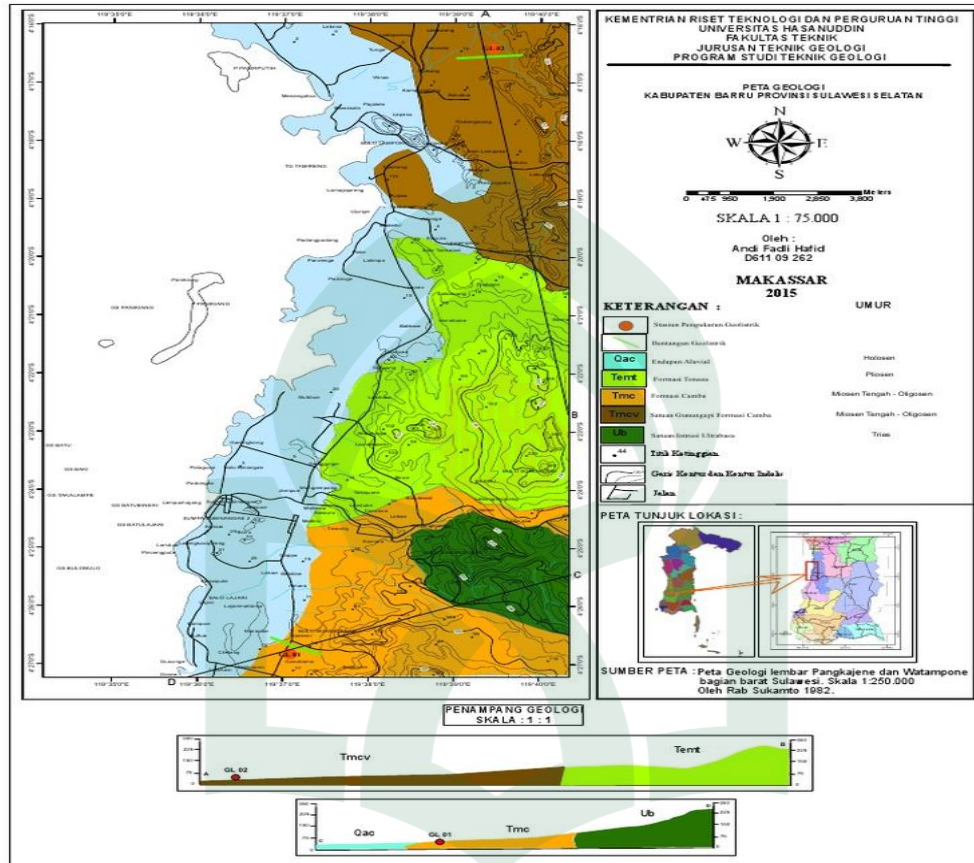
Peta Desa



Peta Titik Lokasi Kordinat



Peta Geologi Kabupaten Barru



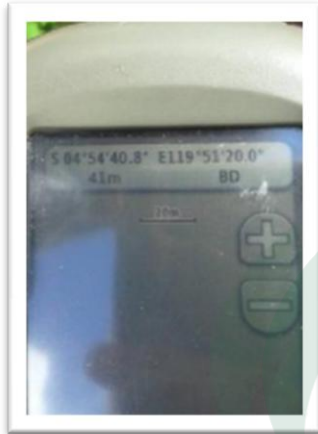


LAMPIRAN

DOKUMENTASI PENELITIAN

UNIVERSITAS ISLAM NEGERI
ALAUDDIN
M A K A S S A R

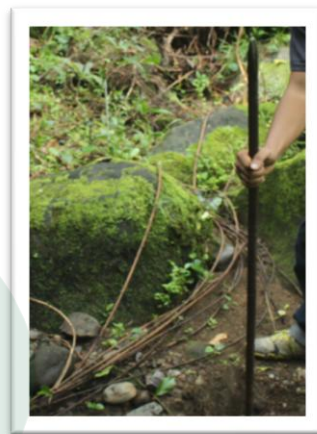
1. Alat dan Bahan



GPS



Cangkul



Linggis



Roll Meter



Wadah Sampel



M A K A S S A R



Tempat ayakan



Mesh



Cawan Petri

2. Survey Lokasi Penelitian



Penentuan Lokasi



Penentuan Titik Kordinat

3. Pengambilan Sampel



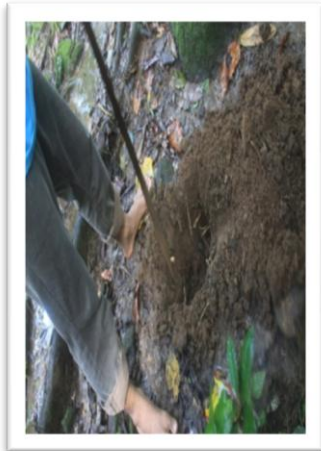
**Penentuan Titik
Pertama**



**Pengukuran
Suhu Ruangan**



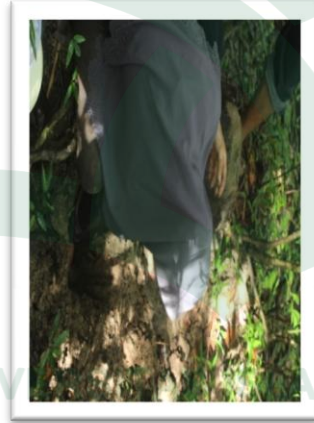
**Mengukur
kedalaman**



Mengali



**Mencatat
Kedalaman**



**Pengambilan
Sampel**

4. Peparasi Sampel



Proses Penghalusan Batuan

Sampel Halus



Proses Pengayakan Sampel

5. Penguji XRD (X-Ray Diffraction)



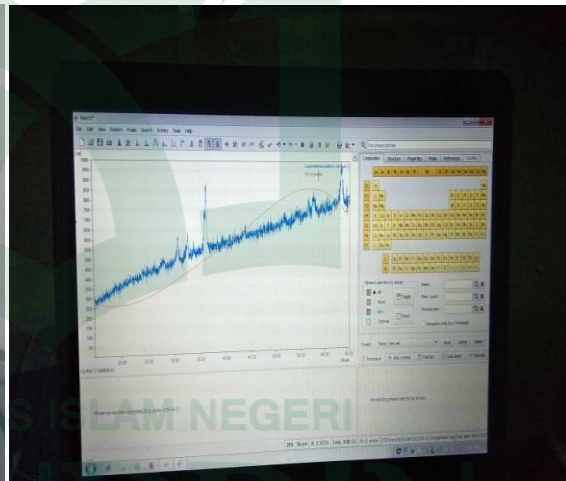
Plat Aluminium



Detektor



Analisis Data



Grafik

ALAUDDIN
MAKASSAR



Lampiran 4

Surat Penelitian dan SK Pembimbing

UNIVERSITAS ISLAM NEGERI
ALAUDDIN
M A K A S S A R



PEMERINTAH KABUPATEN BARRU
DINAS PENANAMAN MODAL, PELAYANAN TERPADU SATU PINTU
DAN TENAGA KERJA

Jl. Sultan Hasanuddin No. 42 Telepon (0427) 21662 , Fax (0427) 21410 Kode Pos 90711

Barru, 16 April 2018

Nomor : 0212/18/BR/IV/2018/DPMPTSP TK
Lampiran : -
Perihal : Izin/Rekomendasi Penelitian

Kepada
Yth. Kepala Desa Galung Kec. Barru
di -
Tempat

Berdasarkan Surat DPMPTSP Provinsi Sulawesi Selatan Nomor : 4014/S.01/PTSP/2018 tanggal 06 April 2018 perihal tersebut di atas, maka Mahasiswa / peneliti / dosen / pegawai di bawah ini :

N a m a : NURANSIL
Nomor Pokok : 60400114001
Program Study : Fisika
Pekerjaan : Mahasiswa (S1)
A l a m a t : Griya Patri Abdullah Permai Lor. 3 Kel. Samata Kec.
Rumampola Kab. Gowa

Diberikan izin untuk melakukan Penelitian/Pengambilan Data di Wilayah/Kantor Saudara yang berlangsung mulai tanggal 20 April 2018 s/d 20 Juni 2018 dalam rangka Penyusunan Skripsi, dengan judul :

STUDI KARAKTERISASI BATUAN DI SEKITAR SUMBER AIR PANAS DESA GALUNG
KABUPATEN BARRU DENGAN MENGGUNAKAN METODE X-RAY DIFFRACTION (XRD)

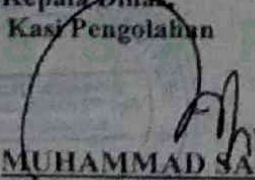
Sehubungan dengan hal tersebut diatas, pada prinsipnya kami menyetujui kegiatan dimaksud dengan ketentuan :

1. Sebelum dan sesudah melaksanakan kegiatan, kepada yang bersangkutan melapor kepada Kepala SKPD (Unit Kerja) / Camat, apabila kegiatan dilaksanakan di SKPD (Unit Kerja) / Kecamatan setempat;
2. Penelitian tidak menyimpang dari Izin yang diberikan;
3. Mentaati semua peraturan perundang-undangan yang berlaku dan mengindahkan adat istiadat setempat;
4. Menyerahkan 1 (satu) eksampelar copy hasil penelitian kepada Bupati Barru Cq. Kepala Dinas Penanaman Modal, Pelayanan Terpadu Satu Pintu Dan Tenaga Kerja Kabupaten Barru;
5. Surat Izin akan dicabut kembali dan dinyatakan tidak berlaku apabila ternyata pemegang surat izin ini tidak mentaati ketentuan tersebut diatas.

Untuk terlaksananya tugas penelitian tersebut dengan baik dan lancar, diminta kepada Saudara untuk memberikan bantuan fasilitasi seperlunya.

Demikian disampaikan untuk dimaklumi dan dipergunakan seperlunya.

a.n. Kepala Dinas
Kasi Pengolahan


MUHAMMAD SAYUTI, S.Sos
Pangkat : Penata ,III/c
NIP. 19600908 199503 1 003

TEMBUSAN : disampaikan Kepada Yth.

1. Bupati Barru (Sebagai Laporan);
2. Kepala Bappeda Kab. Barru;
3. Camat Barru;
4. Dekan Fak. Sains dan Teknologi UIN Alauddin Makassar di Makassar;
5. Mahasiswa yang bersangkutan;
6. Peringgal;



KEMENTERIAN AGAMA
UNIVERSITAS ISLAM NEGERI (UIN) ALAUDDIN MAKASSAR
FAKULTAS SAINS & TEKNOLOGI

Kampus I: Jl. Sultan Alauddin, No. 43, Telp. 084724 (Fax 084723)
Kampus II: Jl. H. M. Yasin Limba No. 24, Panning Palang Gajene, telp. 1500363
(0411)841877 Fax (0411) 8221432

Nomor: 1197/Un.6/PST/PP.00.9/01/2018

Makassar, 01 Maret 2018

Status: Penting

Lampiran:

Hal: Izin Penelitian
Untuk Menyusun Skripsi

Kepada Yth
Gubernur Provinsi Sulawesi Selatan
Cq. Kepala BPKMD Prov. Sulawesi Selatan

Di-
Tempat

Assalamu Alaikum Wr. Wb.

Dengan hormat kami sampaikan, bahwa mahasiswa UIN Alauddin Makassar yang tersebut namanya di bawah ini:

| | |
|------------|---|
| Nama | Nuransil |
| NIM | 60400114001 |
| Semester | VIII (Delapan) |
| Fakultas | Sains & Teknologi UIN Alauddin Makassar |
| Jurusan | Fisika |
| Pembimbing | 1. Muh. Said L., S.Si., M.Pd. 2. Sahara, S.Si., M.Sc., Ph.D. |

Bermaksud melakukan penelitian dalam rangka penyusunan Skripsi berjudul "Studi Karakterisasi Bantuan Disekitar Sumber Air Panas desa Galung Kabupaten Barru Menggunakan Metode X-Ray Diffraction (XRD)".

Untuk maksud tersebut kami mengharapkan kiranya kepada mahasiswa yang bersangkutan diberi izin untuk penelitian di "Desa Galung Kecamatan Barru Kabupaten Barru".

Demikian harapan kami, atas perhatian dan kerjasamanya kami ucapkan terima kasih

Wassalam



Di. H. Anifuddin, M. Ag.
19471205199331001

Tembusan:

1. Ketua Prodi/Jurusan Fisika Fak. Sainstek UIN Alauddin
2. Arsip



KEMENTERIAN AGAMA
UNIVERSITAS ISLAM NEGERI (UIN) ALAUDDIN MAKASSAR
FAKULTAS SAINS & TEKNOLOGI

Kampus I: Jl. Sultan Alauddin No.63 Telp. 864924 | Fax 864923 |
Kampus II: Jl. H. M. Yasin Limpo No.36, Romang Palong-Gowa telp. 1500363
(0411)841879 Fax (0411)-8221400

Nomor : 243/Un.6/FST/PP.00.9/01/2018
Sifat : Penting
Lamp :
Hal : Izin Penelitian
Untuk Menyusun Skripsi

Makassar 23 April 2018

Kepada Yth
Kepala Laboratorium XRD dan XRF FMIPA UNHAS

Di
Tempat

Assalamu Alaikum Wr. Wb.

Dengan hormat kami sampaikan bahwa mahasiswa UIN Alauddin Makassar yang tersebut namanya di bawah ini:

| | |
|------------|--|
| Nama | : Nuransil |
| NIM | : 60400114001 |
| Semester | : VIII (Delapan) |
| Fakultas | : Sains & Teknologi UIN Alauddin Makassar |
| Jurusan | : Fisika |
| Pembimbing | : 1. Muh. Said L.S.Si 2. Sahara, S.Si.,M.Sc.,Ph.D |

Bermaksud melakukan penelitian dalam rangka penyusunan Skripsi berjudul "Studi Karakterisasi Batuan di Sekitar Sumber Air Panas Desa Gaung Kabupaten Barru Menggunakan Metode X-Ray Diffraction (XRD)".

Untuk maksud tersebut kami mengharapkan kiranya kepada mahasiswa yang bersangkutan diberi izin untuk penelitian di "Laboratorium XRD dan XRF FMIPA UNHAS".

Demikian harapan kami, atas perhatian dan kerjasamanya kami ucapkan terima kasih

Wassalam
Dekan

Prof. Dr. H. Arifuddin, M. Ag.
NIP. 19691205 19933 1 001

Tembusan:

Ketua Prodi/Jurusan Fisika (Telp. 864924) UIN Alauddin Makassar
2018



Juli 2018

SURAT KETERANGAN

SB\017\XRDXRF\VII\2018

Dengan surat ini, kami menerangkan bahwa mahasiswa yang ber- :

Nama : Nuransil
NIM : 60400114001
Jumlah sampel : 8 sampel
Jenis pengukuran : XRF/XRD
Jenis sampel : **serbuk**/batuan/cairan/tanah/logam/aspal
Judul Penelitian :

“Studi Karakterisasi Batuan Di sekitar Sumber Air Panas Desa Galung Kabupaten Barru
Menggunakan Metode X-Ray Diffraction (XRD)”

Benar telah melakukan penelitian tugas akhir di laboratorium XRD dan XRF di Science
Building FMIPA Unhas dalam rangka penelitian tugas akhir.

Demikian surat keterangan ini, diharap dapat digunakan sebagaimana mestinya.

Kepala Laboratorium XRD dan XRF
Fakultas Matematika dan Ilmu Pengetahuan Alam

Prof. Dahlang Tahir, Ph.D

NIK : 197509072000031006

UNIVERSITAS ISLAM NEGERI
ALAUDDIN
MAKASSAR



PEMERINTAH KABUPATEN BARRU
KECAMATAN BARRU
DESA GALUNG

SURAT KETERANGAN SELESAI PENELITIAN

Nomor : 519/DG/BR/VI/2018

Berdasarkan Surat DPMPTSPTK Makassar Nomor : 0212/18/BR/IV/2018/DPMPTSPTK
Tanggal 16 April 2018 perihal Izin / Rekomendasi Penelitian dari :

Nama : NURANSIL
Nomor Pokok : 60400114001
Jenis Kelamin : Perempuan
Program Studi : Fisika

Maka dengan ini yang bersangkutan telah selesai mengadakan penelitian dalam rangka
penyusunan Skripsi dengan judul :

“STUDI KARAKTERISASI BATUAN DI SEKITAR SUMBER AIR PANAS DESA GALUNG
KABUPATEN BARRU DENGAN MENGGUNAKAN METODE X-RAY DIFFRACTION (XRD)”

Selama : 20 April 2018 s/d 22 April 2018
Pengikut : Tidak ada
Lokasi Penelitian : Di Desa Galung Kec. Barru Kab. Barru

Demikian Surat Keterangan ini kami buat untuk dipergunakan sebagaimana mestinya.

Dikeluarkan di : Galung
Pada tanggal : 06 Juni 2018



RIWAYAT HIDUP



Nuransil, yang biasa disapa dengan “ dhery “ lahir di Tanuntung Kec. Herlang Kab. Bulukumba pada tanggal 01 Juli 1996 anak pertama dari dua orang bersaudara. Ayah penulis bernama Ansar, P sedangkan Ibu penulis bernama Nursiah.D, S.Pd Aud. Penulis memulai pendidikan pada tahun 2002 – 2008 di SDN 193 Tanuntung, pada tahun 2008 – 2011 di SMP Negeri 5 Herlang, kemudian melanjutkan jenjang pendidikan menengah atas di SMA Negeri 6 Bulukumba 2011-2014. Setelah itu, penulis melanjutkan pendidikan di Perguruan Tinggi Universitas Islam Negeri (UIN) Alauddin Makassar pada Jurusan Fisika, Fakultas Sains dan Teknologi UIN Alauddin Makassar pada tahun 2014 sampai tahun 2018. Pernah menjadi asisten laboratorium fisika dasar tahun 2015-2016. Anggota HMJ-Fisika bidang Humas pada tahun 2015.

UNIVERSITAS ISLAM NEGERI
ALAUDDIN
M A K A S S A R